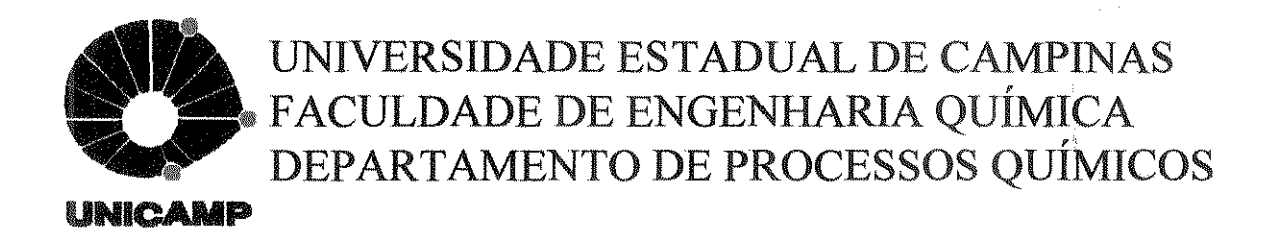


ANÁLISE CINÉTICA DA DECOMPOSIÇÃO CATALÍTICA DA HIDRAZINA: BUSCA DE UM CATALISADOR ÓTIMO

JORGE EDUARDO DE MEDEIROS

Orientador: Prof. Dr. Gustavo Paim Valença

Campinas - São Paulo



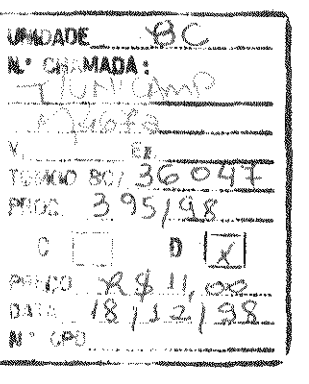
ANÁLISE CINÉTICA DA DECOMPOSIÇÃO CATALÍTICA DA HIDRAZINA: BUSCA DE UM CATALISADOR ÓTIMO

JORGE EDUARDO DE MEDEIROS

Orientador: Prof. Dr. Gustavo Paim Valença

Dissertação de Mestrado apresentada à Faculdade de Engenharia Química da Universidade Estadual de Campinas como parte dos requisitos exigidos para a obtenção do título de Mestre em Engenharia Química.

Campinas - São Paulo



CM-00119563-6

FICHA CATALOGRÁFICA ELABORADA PELA BIBLIOTECA DA ÁREA DE ENGENHARIA - BAE - UNICAMP

M467a

Medeiros, Jorge Eduardo de

Análise cinética da decomposição catalítica da hidrazina: busca de um catalisador ótimo / Jorge Eduardo de Medeiros.--Campinas, SP: [s.n.], 1996.

Orientador: Gustavo Paim Valença. Dissertação (mestrado) - Universidade Estadual de Campinas, Faculdade de Engenharia Química.

1. Catálise heterogênea. 2. Cinética química. 3. Decomposição química. 4. Hidrazina. I. Valença, Gustavo Paim. II. Universidade Estadual de Campinas. Faculdade de Engenharia Química. III. Título.

Dissertação de mestrado defendida e aprovada em 16/09/1996 pelos professores e doutores:

Prof. Dr. Gustavo Paim Valença

Prof. Dr. Rubens Maciel Filho

Dr. Yiu Lau Lam

Esta versão corresponde à redação final da Dissertação de Mestrado em Engenharia Química defendida pelo Engenheiro Jorge Eduardo de Medeiros e aprovada pela Comissão Julgadora em 16 de setembro de 1996.

Prof. Dr. Gustavo Paim Valença

Orientador

AGRADECIMENTOS:

- Aos meus pais, que nunca faltaram com o apoio para a carreira acadêmica.
- Aos meus irmãos, cunhadas e sobrinhos pelo incentivo e alegrias.
- À Luciana, um agradecimento especial, pelo apoio em momentos difíceis, por compartilhar das alegrias e dores e por toda a ajuda que me foi dada sempre.
- À família Garutti Souza pela acolhida.
- Ao Gustavo, pela orientação, incentivo, apoio e amizade durante o cumprimento do trabalho desenvolvido.
- Aos amigos da FEA, FEQ, FEE, Biologia que foram importantes nessa mudança de vida.
- Aos amigos da república P.S., Robinho (que já foi embora), Tchê, Brother, Rubinho, Allon, Turtle e Hosi.
- Ao amigo Hosiberto que esteve presente desde o embarque em Natal, ou melhor desde o primeiro dia de aula em 1989, na graduação e compartilhou os momentos difíceis.
- Ao CNPq pelo incentivo à pesquisa.

Sumário

Índice de Figuras	i
Índice de Tabelas	iii
Lista de Abreviaturas	V
Resumo	vii
Capítulo 1: Introdução e objetivos	1
Capítulo 2: Fundamentação Teórica	4
2.1 - Revisão bibliográfica	5
2.1.1- Hidrazina	5
2.1.2 - Decomposição Catalítica da Hidrazina	7
2.2 - Revisão dos Métodos Teóricos	20
2.2.1 - Histórico	20
2.2.2 - Considerações não-padrões	21
2.2.3 - Métodos Teóricos	21
2.2.3.1 - Justificativa da utilização do método BOC-MP	
("bond-order conservation-Morse potential")	23
2.3 - Conservação da Ordem de Ligação - Potencial de Morse	
(BOC-MP)	24
2.3.1 - Formalismo BOC-MP	24
2.3.1.1 - Considerações do modelo	24
2.3.1.2 - Quimissorção atômica	26
2.3.1.3 - Quimissorção molecular	26
2.3.1.4 - Quimissorção forte	28
2.3.1.5 - Quimissorção intermediária	28
2.3.1.6 - Coordenação paralela a superficie (adsorção	
bidentada)	28
2.3.1.7 - Energia de ativação para reações de dissociação	29

2.3.1.8 - Energia de ativação para reações de recombinação	32
Capítulo 3: Otimização do Processo	34
3.1 - Catalisador ótimo	35
3.2 - Tratamento genérico usando as equações do BOC-MP	39
3.2.1 - Entalpias de adsorção	40
3.3.2 - Energias de ativação	41
3.3 - Etapas para análise cinética	45
Capítulo 4: Aplicação do mathematica [®]	47
Capítulo 5: Resultados e discussão	49
5.1 - Condições para a realização do trabalho	51
5.2 - Avaliação da faixa com menor energia de ativação para cada	
etapa	53
5.2.1 - Conclusões parciais	62
5.3 - Análise da variação de $E \operatorname{com} Q_{\mathrm{N}}$	63
5.3.1 - Conclusões parciais	66
5.4 - Avaliação cinética das etapas	67
5.4.1 - Conclusões parciais	73
5.5 - Análise das rotas	79
Capítulo 6: Conclusões	88
Bibliografia	92
Abstract	99

Índice de Figuras

FIGURA 1.1 -	Perfil de energia, para a fase gasosa, em função da reação				
	superficial [R - reagente TS - estado de transição, P - produto].	2			
FIGURA 2.1 -	Sistema de propulsão de satélites				
FIGURA 2.2 -	Esquema de uma molécula AB perpendicular a superficie				
FIGURA 2.3 -	Diagrama do potencial de Lennard-Jones unidimensional para a				
	quimissorção e dissociação da partícula AB	30			
FIGURA 2.4 -	Diagrama convencional de Lennard-Jones em duas dimensões.				
	As coordenadas de reação são: x que corresponde a distância				
	entre as espécies A-B e y que corresponde a distância da espécie				
	AB e a superficie.	30			
FIGURA 2.5 -	Diagrama potencial multidimensional para o BOC, equivalente				
	ao 2.4.	31			
FIGURA 3.1 -	Prótotipo de um ciclo catalítico. X é o catalisador da reação.	35			
FIGURA 5.1 -	Variação da energia de ativação (em kJmol-1) em função da				
	entalpia de adsorção do metal com o nitrogênio (Q_N em kJmol ⁻¹)				
	para todas as etapas estudadas da decomposição da hidrazina. A				
	entalpia de adsorção entre o metal e o hidrogênio foi tomada				
	como sendo igual a 243 kJmol ⁻¹ .	52			
FIGURA 5.2 -	Influência do Q_H sobre a etapa: $N_2H_4 \rightarrow N_2H_3 + H$.	55			
FIGURA 5.3 -	Influência do Q_H sobre a etapa: $N_2H_3 \rightarrow HN=NH+H$	56			
FIGURA 5.4 -	Influência do Q_H sobre a etapa: $HN=NH \rightarrow N_2H + H$	57			
FIGURA 5.5 -	Influência do Q_H sobre a etapa: $N_2H \rightarrow N_2 + H$	58			
FIGURA 5.6 -	Influência do Q_H sobre a etapa: NH \rightarrow N + H	59			
FIGURA 5.7 -	Influência do Q_H sobre a etapa: NH + H \rightarrow NH ₂	60			
FIGURA 5.8 -	Influência do $Q_{\rm H}$ sobre a etapa: NH ₂ + H \rightarrow NH ₃	61			
FIGURA 5.9 -	Variação da energia para a etapa de recombinação de hidrogênio				
	como função da entalpia de quimissorção metal-hidrogênio.	62			
FIGURA 5.10 -	Etapas de dissociação da hidrazina com $Q_{\rm H}$ igual a 243 kJmol ⁻¹ .	67			

FIGURA 5.11 -	Etapas para a dissociação do N ₂ H ₃ com Q _H igual a 243 kJmol ⁻¹ .	69		
FIGURA 5.12 -	Dissociação do HN=NH com $Q_{\rm H}$ igual a 243 kJmol ⁻¹ .			
FIGURA 5.13 -	Dissociação do N_2H com Q_H igual a 243 kJmol ⁻¹ .			
FIGURA 5.14 -	Avaliação geral	73		
FIGURA 5.15 -	Agrupamento das etapas de recombinação e a etapa de			
	decomposição de NH com $Q_{\rm H}$ igual a 243 kJmol ⁻¹ .	76		
FIGURA 5.16 -	Etapas de recombinação para a formação de H ₂ e N ₂ .	78		
FIGURA 5.17 -	Energia versus Q_N para a primeira rota de reações utilizando-se			
	toda a faixa de estudo (Tabela 5.20) e $Q_{\rm H}$ igual a 243 kJmol ⁻¹ .	79		
FIGURA 5.18 -	Variação da energia como função de $Q_{\rm N}$ para a faixa onde ocorre			
	preferencialmente a rota 1 (Tabela 5.20) ($Q_H = 243 \text{ kJmol}^{-1}$).	80		
FIGURA 5.19 -	Segunda rota de reações ($Q_H = 243 \text{ kJmol}^{-1}$).	81		
FIGURA 5.20 -	Figura para a faixa correspondente a segunda rota de			
	reações $(Q_{\rm H} = 243 \text{ kJmol}^{-1})$.	82		
FIGURA 5.21 -	Reações da terceira rota proposta ($Q_{II} = 243 \text{ kJmol}^{-1}$).	83		
FIGURA 5.22 -	Variação da energia para as etapas mostradas na rota 3 em			
	uma faixa intermediária onde as reações (1) e (2) são			
	concorrentes ($Q_{\rm H} = 243 \text{ kJmol}^{-1}$).	84		
FIGURA 5.23 -	Ampliação para a faixa específica das etapas determinantes da			
	rota 3 ($Q_{\rm H} = 243 \text{ kJmol}^{-1}$).	85		
FIGURA 5.24 -	Agrupamento das etapas em estudo, dentro de uma faixa de $Q_{\rm N}$			
	entre 400 a 600 kJmol ⁻¹ ($Q_H = 243 \text{ kJmol}^{-1}$).	86		

Índice de Tabelas

ΓABELA 2.1 -	Mecanismo de decomposição de hidrazina sobre o paládio	11
rabela 2.2 -	Etapas mais relevantes na decomposição catalítica da hidrazina	17
ГАВЕLA 2.3 -	Enegias de ativação e calor de dissociação para etapas da	
	decomposição catalítica da hidrazina sobre catalisador de irídio.	
	$\Delta E e D em k Jmol^{-1}$	19
ГАВЕLA 2.4 -	Rotas preferenciais para a decomposição sobre o irídio	19
ГАВЕLA 3.1 -	Energia de dissociação e classificação dos fragmentos de	
	decomposição catalítica do N ₂ H ₄ . D(kJ mol ⁻¹).	39
TABELA 5.1 -	Valores de calor de adsorção de alguns suportes catalíticos com o	
	nitrogênio expressos em kJmol ⁻¹ .	50
ГАВЕLA 5,2 -	Faixa para os mínimos de energia da etapa: $N_2H_4 \rightarrow NH_2 + NH_2$	54
TABELA 5.3 -	Faixa para os mínimos de energia da etapa: $N_2H_3 \rightarrow NH + NH_2$	54
TABELA 5.4 -	Faixa para os mínimos de energia da etapa: HN=NH → NH + NH	54
TABELA 5.5 -	Faixa para os mínimos de energia da etapa: $N_2H \rightarrow NH + N$	54
TABELA 5.6 -	Faixa para os mínimos de energia da etapa: $N+N \rightarrow N_2$	54
TABELA 5.7 -	Faixa para os mínimos de energia da etapa: $N_2H_4 \rightarrow N_2H_3 + H$	55
TABELA 5.8 -	Faixa para os mínimos de energia da etapa: $N_2H_3 \rightarrow HN=NH+H$	56
TABELA 5.9 -	Faixa para os mínimos de energia da etapa: $HN=NH \rightarrow N_2H + H$	57
TABELA 5.10 -	Faixa para os mínimos de energia da etapa: $N_2H \rightarrow N_2 + H$	58
TABELA 5.11 -	Faixa para os mínimos de energia da etapa: $NH \rightarrow N + H$	59
TABELA 5.12 -	Faixa para os mínimos de energia da etapa: $NH + H \rightarrow NH_2$	60
TABELA 5.13 -	Faixa para os mínimos de energia da etapa: $NH_2 + H \rightarrow NH_3$	61
TABELA 5.14 -	Faixa de $Q_{\rm H}$ que apresenta os mínimos de energia da etapa:	
	$H + H \rightarrow H_2$	62
TABELA 5.15 -	Avaliação do comportamento de E com Q_N	65
TABELA 5.16 -	Avaliação do comportamento de E com Q_N para o caso em que o	
	reagente encontra-se no estado não quimissorvido	65

TABELA 5.17 -	Avaliação do comportamento de E com Q_N para as reações de	
	recombinação	66
TABELA 5.18 -	Valores de Q_N (kJmol ⁻¹) onde ocorre interseção entre as etapas de	
•	dissociação do N ₂ H ₃ .	69
TABELA 5.19 -	Valores de Q_N (kJmol ⁻¹) onde ocorre interseção entre as etapas de	
	dissociação do N ₂ H.	72
TABELA 5.20 -	Rota 1 cujos produtos formados são H ₂ e N ₂	74
TABELA 5.21 -	Rota 2, formação de amônia	74
TABELA 5.22 -	Rota 3, combinação das reações (1) e (2).	75
TABELA 5.23 -	Ordem de magnitude de fatores pré-exponenciais	77
TABELA 5.24 -	Valor da entalpia de quimissorção $Q_{\rm N}$ onde ocorre a interseção	
	entre duas etapas.	81
TABELA 5.25 -	Valores de Q_N no qual ocorre uma interseção entre as etapas	
	determinantes	83

Lista de abreviaturas

A - Fator pré-exponencial

BOC-MP - Conservação da ordem de ligação-potencial de Morse

D_{AB} - Energia de dissociação da molécula AB

 $D_{\rm Re}$ - Energia de dissociação da reação, obtida através dos calores de formação

dos átomos ou moléculas.

D(X-O) - Energia de dissociação da ligação X-O.

E - Energia de ativação

FCC - Cúbica de face centrada

HREELS - Espectroscopia eletrônica de baixa energia e alta resolução

K - Temperatura em kelvin

k - Constante da taxa

kJmol⁻¹ - quilojoule por mol

LJ - Lennard-Jones

[L] - Concentração total de sítios

ms - milisegundos

MO - Orbital molecular

MMH - Monometilhidrazina

n - Número de coordenação

P_g - Produto na fase gasosa

P_S - Produto no estado quimisorvido

Calor de uma reação elementar

Q - Entalpia de adsorção

Q_A - Entalpia de adsorção da espécie A

 Q_0 - Energia de ligação no equilíbrio (constante de Morse)

 $Q_{\rm H}$ - Entalpia de adsorção do hidrogênio com o metal

Q_N - Entalpia de adsorção do nitrogênio com o metal

 Q_{0N} - Constante de Morse para a entalpia de adsorção do nitrogênio com o

metal

r - Distância entre o adsorbato e a superficie

 r_0 - Distância de equilíbrio entre o adsorbato e a superfície

R - Constante dos gases

R_g - Reagente na fase gasosa

R_S - Reagente no estado quimisorvido

T - Temperatura

TPD - Dessorção a temperatura programada

TS - Estado de Transição

UDMH - Dimetilhidrazina assimétrica

UPS - Espectroscopia fotoeletônica de ultravioleta

Expressão da taxa de reação

x - Ordem de ligação

 x_A - Ordem de ligação da espécie A

[X] - Concentração de sítios vazios

[XO] - Concentração de sítios ocupados pelo átomo de oxigênio

XPS - Espectroscopia fotoeletônica de raios x

Z, X ou * - Sítio ativo

ΔE - Variação de energia de ativação

ΔH - Variação de entalpia

- Espécie adsorvida

(s) - Espécie no estado sólido

(g) - Espécie no estado gasoso

[N₂H₃] - Concentração da espécie N₂H₃.

AUTOR: Jorge Eduardo de Medeiros

TÍTULO: Análise Cinética da Decomposição Catalítica da Hidrazina: Busca de um

Catalisador Ótimo.

ORIENTADOR: Dr. Gustavo Paim Valença

RESUMO

Este trabalho apresenta uma metodologia para a obtenção de um catalisador ótimo utilizando-se de um formalismo teórico denominado *BOC-MP* "bond order conservation-Morse potential" desenvolvido por Evegeny Shustorovich (1984). Esse método é capaz de predizer a entalpia de adsorção entre moléculas e a superficie sólida do catalisador bem como, a energia de ativação para reações catalíticas de dissociação ou recombinação. Os valores obtidos pelo método apresentam ótima correlação quando comparados a valores medidos experimentalmente. A partir da estimativa desses valores é possível o estudo da cinética da reação, através da especificação das etapas determinantes, e por consequência a escolha de um catalisador ótimo.

O sistema escolhido para a aplicação do método é a decomposição catalítica da hidrazina, reação utilizada em tecnologia espacial no controle de atitude de satélites. Reações catalíticas são responsáveis por cerca de 90% da produção química mundial. Especificamente no caso da decomposição da hidrazina há a necessidade da compreensão das etapas de reação de decomposição, que formam, irreversivelmente, compostos de menor peso molecular. A busca de um catalisador ótimo pode representar uma economia ao sistema, visto que o catalisador utilizado hoje para a decomposição da hidrazina consiste em um catalisador de irídio suportado em alumina com 36% em peso de irídio, o que gera um alto custo, pois o irídio possui um valor cerca de dez vezes o do ouro.

O interesse na pesquisa desenvolvida neste trabalho é obter metodologia que auxilie o estudo de reações catalíticas com consequente redução de custos com experimentos. Tal metodologia deverá atender não somente o caso em estudo, mas também deverá ser

extrapolável para outros sistemas pouco conhecidos ou totalmente desconhecidos, ou naqueles em que a realização de experimentos é de difícil execução.

Foi possível avaliar a influência do catalisador na energia de ativação de uma determinada etapa. Bem como, determinar três caminhos possíveis para a decomposição. Um primeiro grupo de catalisadores que favorecem a decomposição da hidrazina em nitrogênio e hidrogênio. O segundo grupo que leva a formação de amônia e nitrogênio e por fim, um que gera uma mistura destes produtos.

Cerca de 90% da produção química mundial envolve processos catalíticos, razão da intensa pesquisa na área. No entanto, o entendimento dos processos catalíticos permanece discreto, pois, para a compreensão dos mecanismos reacionais faz-se necessário o conhecimento dos perfis de energia. Estes perfis tem sido calculados por técnicas de mecânica quântica, com grande avanço para reações em fase gasosa mas, com restrições para reações em superficies. Fundamentalmente, o principal problema é a ausência de uma teoria microscópica de quimissorção que possa ser generalizada, resultando em uma variedade de modelos utilizados para tratar aspectos específicos de quimissorção e de reatividade superficial. Na prática o principal problema é a baixa exatidão no cálculo do calor ou entalpia de adsorção Q. Sem o conhecimento de Q, qualquer perfil de energia torna-se inútil para a projeção da energia de ativação em uma etapa elementar entre espécies adsorvidas (Figura 1.1). Nesta figura é possível verificar a diferença no perfil de energia (energia de ativação) entre uma reação que ocorre em fase gasosa e a mesma reação ocorrendo na superfície de um catalisador. As energias de ativação $\Delta E_{\rm g}^{*}$ e $\Delta E_{\rm s}^{*}$ são diferentes devido as diferenças de entalpias de adsorção dos reagentes Q_R e do estado de transição Q_{TS} .

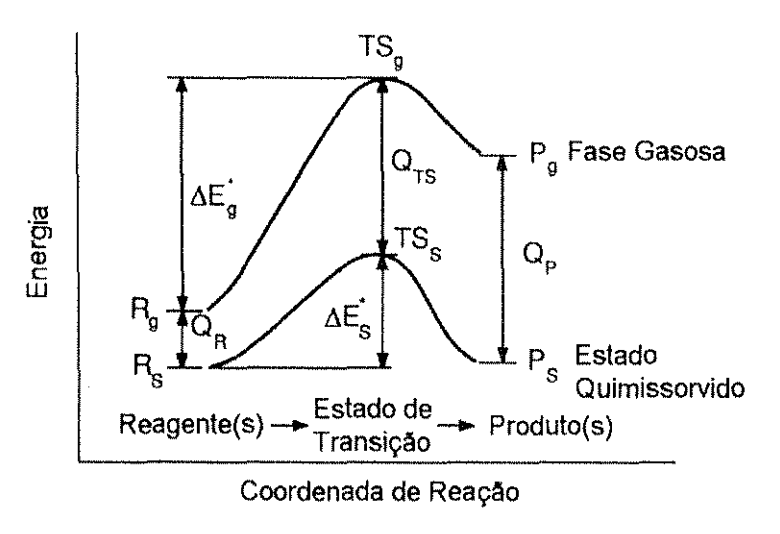


FIGURA 1.1 - Perfil de energia, para a fase gasosa, em função da reação superficial [R - reagente, TS - estado de transição, P - produto].

Enquanto espera-se por uma técnica eficiente de mecânica quântica, deve-se partir para trabalhos alternativos. Como não se dispõe de um modelo microscópico, parte-se para um modelo fenomenológico.

Este trabalho apresenta uma metodologia objetivando a obtenção de um catalisador ótimo. Para tal, utiliza-se de um formalismo teórico denominado BOC-MP "bond order conservation-Morse potential" desenvolvido por Evegeny Shustorovich (1984). Esse método apresenta uma estrutura matemática rigorosa e usa parâmetros bem definidos, obtidos experimentalmente, para calcular o calor de adsorção de adsorbatos atômicos ou poliatômicos na superfície de metais de transição bem como, a energia de ativação para reações catalíticas de dissociação ou recombinação. Os valores obtidos pelo formalismo BOC-MP apresentam ótima correlação quando comparados a valores medidos experimentalmente. A partir da estimativa desses valores é possível o estudo da cinética da reação, através da especificação de possíveis etapas determinantes, e por consequência a escolha de um catalisador ótimo.

O sistema escolhido para a aplicação do método consiste na decomposição catalítica da hidrazina, reação esta que é utilizada em tecnologia espacial no controle de atitude de satélites. Especificamente no caso da decomposição da hidrazina há a necessidade da compreensão das etapas de reação de decomposição, que formam, irreversivelmente, compostos de menor peso molecular. A busca de um catalisador ótimo pode representar uma economia ao sistema, visto que o catalisador utilizado hoje para a decomposição da hidrazina consiste em um catalisador de irídio suportado em alumina com 36% em peso de irídio, um metal cerca de dez vezes mais caro do que ouro.

O interesse no desenvolvimento desta metodologia de análise de reações catalíticas heterogêneas é planejar e a reduzir custos em experimentos e análises. A partir da determinação do catalisador ótimo ou da faixa de catalisadores que tornam o sistema otimizado, pode-se direcionar as experiências realizadas em laboratório. A metodologia aqui desenvolvida deverá atender não somente o caso em estudo, mas também outros sistemas pouco conhecidos ou totalmente desconhecidos, ou ainda, aqueles onde a realização de experimentos é de difícil execução, tais como reações com energia de ativação menos do que 70 kJmol⁻¹.

Capítulo 2: Fundamentação Teórica

2.1 Revisão bibliográfica

2.1.1 Hidrazina

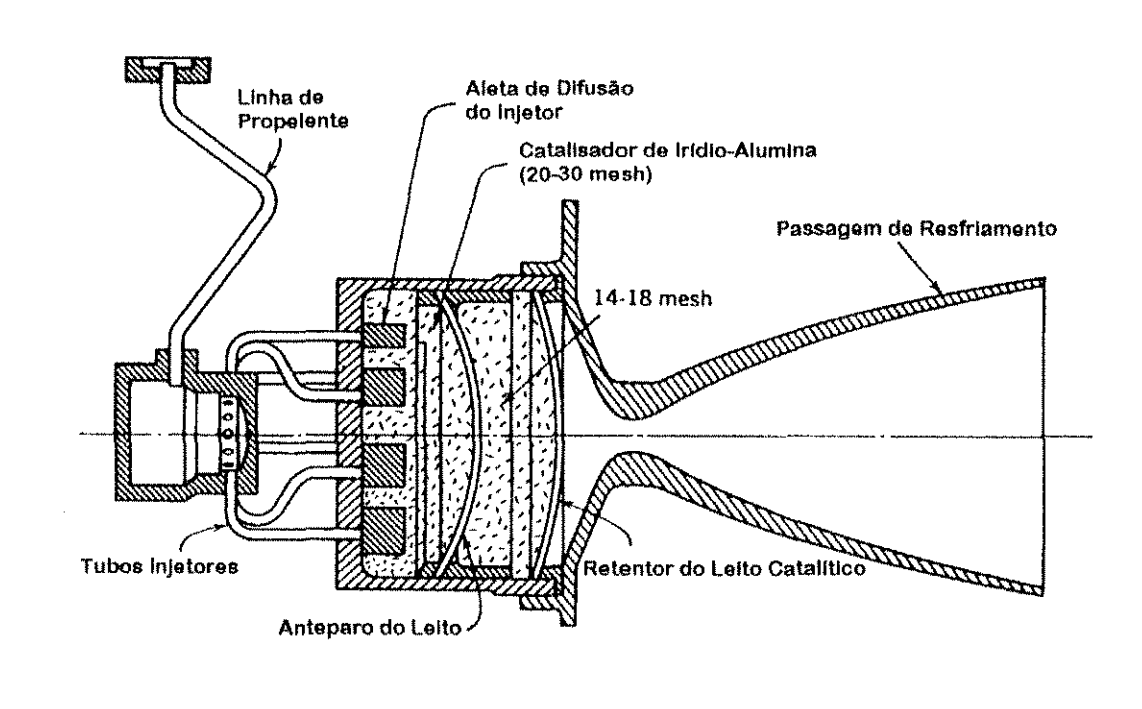
A hidrazina e compostos orgânicos dela derivados, tais como monometilhidrazina (MMH) e dimetilhidrazina assimétrica (UDMH), possuem propriedades físicas e termoquímicas semelhantes. A hidrazina é um líquido tóxico, sem cor e com um elevado ponto de congelamento (274 K). Os três compostos são facilmente solúveis em água (formando hidratos de hidrazina), em álcool e outros compostos orgânicos polares sendo, no entanto, insolúveis em clorofórmio e éter (HAWLEY, 1971).

Hidrazina ignitza-se espontaneamente com ácido nítrico, tetróxido de nitrogênio e peróxido de hidrogênio concentrado. Por ser muito inflamável, seus vapores podem formar misturas explosivas com o ar. A sua auto-ignição ocorre a 543 K. Todos os combustíveis de hidrazina são fortes agentes redutores, fracamente alcalinos e higroscópicos. Hidrazina é caracterizada por um calor de formação positivo e, por essa razão, geralmente apresenta uma boa performance quando comparado com alguns combustíveis comuns. A entalpia de combustão é exotérmica (621,8 kJmol⁻¹).

A hidrazina é, também, um excelente monopropelente quando decomposto por um catalisador adequado, sólido ou líquido. Irídio é um dos melhores catalisadores à temperatura ambiente devido ao seu desempenho catalítico bem como devido à sua elevada resistência mecânica. Acima de 450 K vários materiais decompõem a hidrazina, incluindo ferro, cobalto e níquel. Diferentes catalisadores fazem com que a reação de decomposição gere diferentes produtos, resultando em gases com temperatura e composição variadas.

A hidrazina, como monopropelente, é usada como gerador de gás em controle de atitude para satélites pois, um sistema de alimentação simples pode ser projetado (Figura 2.1.). Neste sistema a hidrazina é dispersada sobre o leito catalítico, onde ocorre

a reação de decomposição formando os gases hidrogênio, nitrogênio e amônia que expandem em função da elevação brusca da temperatura (o sistema varia em 1000 K em menos de 50 milisegundos). A Figura 2.1 também mostra alguns tipos de dispersores utilizados. A hidrazina, misturada a dimetilhidrazina assimétrica juntamente com óxido nítrico é usada como combustível em propulsores bi-propelentes (SUTTON e ROSS, 1976).



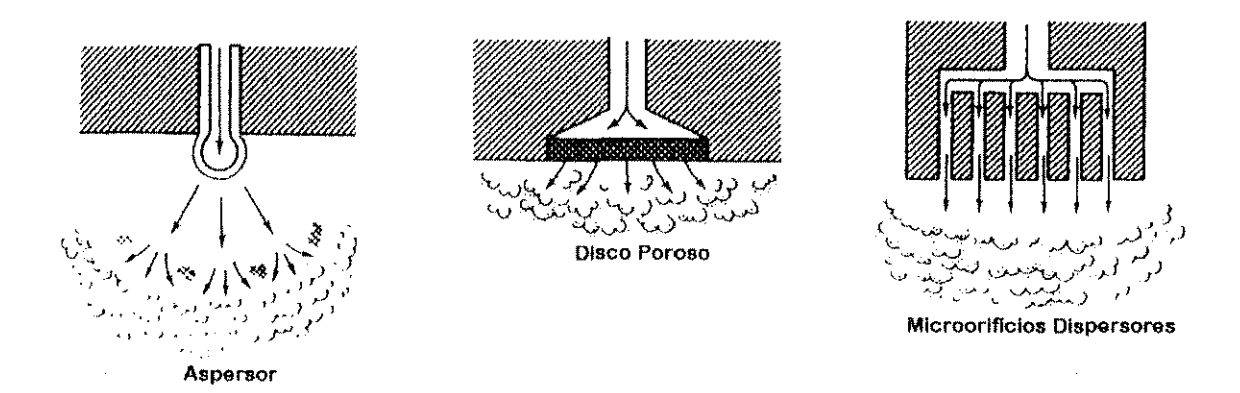


FIGURA 2.1 - Sistema de propulsão de satélites

Hidrazina anidra pura é um líquido estável, podendo ser aquecido com segurança até 530 K. Na presença de impurezas ou em altas temperaturas decompõe-se liberando energia. Sob pressão de choque e a temperatura abaixo de 366 K ocorre a decomposição. Sob algumas condições esta decomposição pode ocorrer com uma violenta detonação e essa causa problemas em passagem de resfriamento de injetores experimentais e câmaras de empuxo. (SUTTON e ROSS, 1976; HAWLEY, 1971).

2.1.2 Decomposição Catalítica da Hidrazina

Duas hipóteses para o mecanismo de decomposição catalítica da hidrazina tem sido mais comumente citadas na literatura.

1. A superposição das reações (1) e (2):

$$N_2H_4 \rightarrow N_2 + 2H_2$$
 (1)

$$3N_2H_4 \rightarrow N_2 + 4NH_3$$
 (2)

2. A existência de uma reação de hidrogenólise na qual o hidrogênio produzido na reação (1) é consumido na reação (3)

$$N_2H_4 \to N_2 + 2H_2$$
 (1)

$$N_2H_4 + H_2 \rightarrow 2NH_3$$
 (3)

nas quais os produtos decomposição de hidrazina na superfície do metal sempre conduz a nitrogênio, hidrogênio e amônia.

Essas hipóteses podem ocorrer segundo várias rotas de reação, que tem sido estudadas e propostas pela literatura, dentre elas pode-se destacar:

- Aquelas onde numa primeira etapa ocorre a quebra da ligação N-N, formando-se a
 espécie NH₂ adsorvida. Essa decompõe-se em N e H, que sob ativação térmica
 recombinam-se para formar N₂ e H₂. Um caminho alternativo propõe a hidrogenação
 do NH₂ formado, gerando NH₃.
- Outra rota propõe sucessivas quebras da ligação N-H, com formação de espécies N₂H₃, N₂H₂, N₂H e N₂. Neste caso N₂ é formado intramolecularmente e não por meio da recombinação de átomos de N.
- Finalmente propõe-se a hidrogenação da hidrazina seguido da quebra da ligação
 N-N e subsequente formação de amônia.

Diferentes combinações destas rotas tem sido relacionadas a superfícies diferentes (ALBERAS *et al.*, 1992). Por exemplo, para o $Fe(111)^1$ ou para folha de Al, somente a primeira rota é relatada. Para o Rh(111), todas as rotas são relatadas dependendo do grau de cobertura². Em folha de Rh, a baixas coberturas, a primeira rota é descrita, ao passo que a altas coberturas, todas as rotas são mencionadas. Já com a Pt(111) a decomposição ocorre via quebra de ligação N-H e não N-N, com formação intramolecular de N_2 .

Poder-se-ia pensar, inicialmente, na quebra da ligação N-N uma vez que a energia de ligação N-N, para a hidrazina em fase gasosa, é de 160,7 kJmol⁻¹, enquanto que a energia de ligação de N-H é de 390,8 kJmol⁻¹. Contudo, o fator determinante para a ocorrência da quebra de ligação entre N-N ou N-H é a energia de ligação entre o nitrogênio e o catalisador. Esta força de ligação pode ser relacionada, indiretamente, com a temperatura de dessorção recombinativa, como no trabalho de ALBERAS *et al.*, 1992, onde pode-se verificar que para a Pt a recombinação de átomos de nitrogênio ocorre entre 450 e 650 K. Comparando-se este resultado com outros metais como:

¹ Os números entre parênteses (hkl) são denominados índices de Miller e representam o plano da superficies exposta. Os valores correspondem aos inversos das distâncias das interseções do plano com os eixos à origem.

² Grau de cobertura é definido como sendo a fração de sítios ocupados em relação ao número total de sítios.

Rh(111) - 670 K, Rh(110) - 775 K, Fe - 800 K é possível afirmar que a energia de ligação do átomo de nitrogênio é menor na superfície da Pt do que na superfície do Rh, que é menor do que na superfície do ferro, N-Pt < N-Rh < N-Fe. Assim na decomposição da hidrazina sobre Pt prevalece a dissociação N-H, já para o Rh, ambas as quebras das ligações N-H e N-N são significantes, e no Fe a dissociação da ligação N-N é dominante. A partir dessas afirmações relaciona-se a ruptura da ligação N-N com o aumento da força de ligação N-metal.

A grande maioria dos artigos encontrados na literatura estudaram as características de decomposição da hidrazina em diferentes catalisadores metálicos, como Ir, Pt, Pd, Rh. A seguir será feito um breve resumo das informações encontradas para alguns desses catalisadores.

O estudo da decomposição catalítica sobre Pt, foi realizado por ALBERAS *et al.* em 1992, onde foi possível concluir que para hidrazina adsorvida a 60 K, a decomposição inicia-se entre 150 e 200 K, ocorrendo preferencialmente a quebra da ligação N-H à quebra da ligação N-N, formando N₂ através de um processo intramolecular que, dessorve em torno de 310 K. A formação da amônia é atribuída à hidrogenação das espécies N₂H₄ ou N₂H₃, utilizando-se hidrogênio produzido pela decomposição da hidrazina.

DOPHEIDE et al. em 1991, realizam um trabalho objetivando determinar a cinética de decomposição de N₂H₄ em catalisadores de Pd(100). Os autores concluíram que a formação das espécies N₂, H₂ e NH₃, originam-se via radicais NH_x e as reações primárias (reações (4), (5) e (6)) tem entalpias de reação muito diferentes das etapas ocorrendo na superfície de Pd (reações (7), (8) e (9)). A energia total liberada pode ser calculada a partir das tabelas termodinâmicas, como mostrado abaixo, dependendo dos produtos formados na reação específica.

$$N_2H_{4 (g)} \to adsorvido \to N_{2 (g)} + 2H_{2 (g)}, \qquad \Delta H = -93,3 \text{ kJmol}^{-1}$$
 (4)

$$3N_2H_{4 (g)} \rightarrow adsorvido \rightarrow N_{2 (g)} + 4NH_{3 (g)}, \qquad \Delta H = -187.9 \text{ kJmol}^{-1}$$
 (5)

$$N_2H_{4(g)} + H_{2(g)} \rightarrow 2NH_{3(g)}, \qquad \Delta H = -184,1 \text{ kJmol}^{-1}$$
 (6)

Comportamento energético diferente, apresentado por DOPHEIDE et al.:

$$N_2H_{4 \text{ (ad)}} \rightarrow N_2H_{2 \text{ (ad)}} + 2H_{\text{ (ad)}}, \qquad \Delta H = +12,6 \text{ kJmol}^{-1} \quad (7)$$

$$\rightarrow NH_{\text{ (ad)}} + NH_{3 \text{ (ad)}}, \qquad \Delta H = -167,4 \text{ a} -188,3 \text{ kJmol}^{-1} \quad (8)$$

$$\rightarrow 2NH_{2 \text{ (ad)}}, \qquad \Delta H = -192,5 \text{ kJmol}^{-1} \quad (9)$$

A reação (7) poderá produzir, predominantemente, nitrogênio e hidrogênio molecular; correspondendo, dessa forma, à reação em fase gasosa (1). DOPHEIDE et al.(1991), afirmam que o simples fato da reação (7) ser endotérmica torna-a menos favorável frente à competição das reações exotérmicas (8) e (9). Assim, não é esperado a ocorrência dessa etapa na decomposição da hidrazina em catalisadores de Pd(100). Também não é observado a existência da etapa (6). Dependendo do valor da energia de ligação entre o Pd e os intermediários, NH e NH₂, a reação (9) poderá ser mais ou menos favorecida que a etapa (8). A etapa subseqüente à etapa (9) é a etapa bimolecular:

$$NH_{2 \text{ (ad)}} + NH_{2 \text{ (ad)}} \rightarrow NH_{3 \text{ (ad)}} + NH_{\text{(ad)}}, \qquad \Delta H = +25 \text{ a } 4,18 \text{ kJmol}^{-1}$$
 (10)

que produz, então, os mesmos produtos da etapa (8). Alternativamente, após a formação de radicais NH₂, a reação superficial deve proceder segundo etapas envolvendo NH₂, N e H de acordo com:

$$3N_2H_{4 \text{ (ad)}} \rightarrow 4NH_{2 \text{ (ad)}} + 2N_{\text{ (ad)}} + 4H_{\text{ (ad)}}, \qquad \Delta H = -251 \text{ kJmol}^{-1} \quad (11)$$

 $\rightarrow 4NH_{3 \text{ (ad)}} + N_2, \qquad \Delta H = +46 \text{ kJmol}^{-1} \quad (12)$

Observa-se nas reações (11) e (12) um ganho de energia, em torno de 205 kJmol⁻¹, sendo ligeiramente maior que a energia ganha nas reações (8) ou (9). Ao mesmo tempo, as reações (11) e (12) requerem a mobilidade de 10 espécies atômicas e moleculares na superfície. Pode-se imaginar então, que a decomposição unimolecular (8) ou a reação

bimolecular (10) ocorrerá com maior probabilidade apesar de ser energeticamente menos favorável que a reação (11) e (12).

Em outro trabalho sobre a decomposição da hidrazina sobre paládio (na forma de folha e de membranas) KHOMENKO e APEL'BAUM (1976), utilizaram um sistema de fluxo-circulante, na faixa de 413 a 493 K e com pressão parcial de hidrazina ($P_{N_2H_4}$), variando entre 0,014-0,13 bar e concluíram que a decomposição da hidrazina ocorre segundo as etapas (1) e (2), onde a razão das taxas dessas etapas depende da natureza do metal. Em alguns metais ocorre a dependência da quantidade de hidrogênio contido na mistura reacional e da temperatura, como no caso do Pd, que apresenta, para uma temperatura em torno de 413 K, o N_2 e H_2 como produtos predominantes. A medida em que eleva-se a temperatura há um crescimento da quantidade de amônia formada.

Como em muitos casos a formação de N₂ na decomposição de hidrazina sobre Ir, Rh, ou Fe depositado em MgO e SiO₂, ocorre sem a ruptura da ligação N-N. KHOMENKO e APEL'BAUM (1976), assumiram que o mesma situação seja válida para o Pd. Já a formação de NH₃ envolve a ruptura dessa ligação. Assim, propuseram o seguinte mecanismo para decomposição de N₂H₄ em paládio:

TABELA 2.1 - Mecanismo de decomposição de hidrazina sobre o paládio

				$N^{(1)}$	N ⁽²⁾
1)	$N_2H_4 + Z_2$	**	$Z_2N_2H_3 + (H)$	1	3
2)	$Z_2N_2H_3$	**	$Z_2N_2H_2 + (H)$	1	1
3)	$Z_2N_2H_2$	=	$Z_2N_2H + (H)$	1	1
4)	Z_2N_2H	#	$Z_2 + N_2 + (H)$	1	1
5)	2 (H)	-	H_2	2	0
6)	$Z_2N_2H_3 + (H)$	=	2ZNH ₂	0	2
7)	$ZNH_2 + (H)$	=	$Z + NH_3$	0	4
	$N^{(1)} N_2H_4$	$=N_2$	+ H ₂		
$N^{(2)} 3N_2H_4 = N_2 + 4NH_3$					

Segundo os autores o sítio Z representa o centro de adsorção da superfície de paládio e contém dois centros ativos. No esquema acima, $Z_2N_2H_3$ e $Z_2N_2H_2$ denotam as espécies N_2H_3 , N_2H_2 , etc., adsorvidas. (H) é um átomo de hidrogênio dissolvido em paládio. Os

números estequiométricos são mostrados à direita das etapas. A coluna com os números estequiométricos definem as rotas de reação $N^{(1)}$ e $N^{(2)}$. O somatório das etapas da rota $N^{(1)}$ coincide com a reação (1) e similarmente o somatório da rota $N^{(2)}$ com a reação (2).

As sequências de etapas de adsorção e de decomposição para o N₂H₄ na nitretação de Si(111) 7x7 foram estudados por BU *et al.* (1992), utilizando-se das técnicas de espectroscopia fotoeletrônica de raios-x (XPS), espectroscopia fotoeletrônica de ultravioleta (UPS) e espectroscopia eletrônica de baixa energia de alta resolução (HREELS). Demonstrou-se que quando a ligação N-N encontra-se paralela à superfície ocorre alguma dissociação N-H, a 120 K, e que a quebra da ligação N-N ocorre à temperatura próxima a 650 K. As reações envolvendo esse processo são apresentadas abaixo:

$$N_2H_4 + Si(111) \rightarrow$$

$$\frac{120 \text{ K}}{\text{H}_{\text{(a)}}} = \frac{\text{600 K}}{\text{H}_{\text{(a)}}} = \frac{\text{600 K}}{\text{MH}_{\text{X}_{\text{(a)}}}} = \frac{\text{650 K}}{\text{MH}_{\text{X}_{\text{(a)}}}} = \frac{\text{650 K}}{\text{MH}_{\text{X}_{\text{(a)}}}} = \frac{\text{650 K}}{\text{MH}_{\text{X}_{\text{(a)}}}} = \frac{\text{610 K}}{\text{MH}_{\text{(a)}}} = \frac{\text{61$$

No estudo realizado por FALCONER e WISE (1976), para a decomposição de hidrazina sobre a superficie de irídio, encontram-se picos de dessorção de N₂, H₂, NH₃ e H₂O, onde a dessorção de água não é gerada pela decomposição da hidrazina, mas sim pela reação de hidrogênio adsorvido com grupos OH da alumina. O valor da energia de ativação para a formação de N₂ está compreendida entre 114,7 e 109,6 kJmol⁻¹. Nota-se, ainda, que abaixo de 573 K a hidrazina decompõe-se formando N₂ e NH₃ (reação (2)) e, que em torno de 873 K ocorre a formação de N₂ e H₂ (reação (1)). Para uma temperatura intermediária ambas as reações ocorrem com obtenção dos produtos N₂, H₂ e NH₃.

Visando a elucidação do mecanismo de decomposição de hidrazina examinou-se as condições de ruptura da ligação, isto é, se a adsorção de hidrazina é dissociativa ou não dissociativa em relação a ligação N-N, a partir de ensaios de decomposição de amônia e verificou-se que abaixo de 573 K a amônia pouco se decompôs. Entretanto, em torno de 873 K toda a amônia se decompõe em N₂ e H₂. Através da comparação com o experimento executado para a amônia, constata-se a semelhança entre o N₂/N₂H₄ e o N₂/NH₃, sugerindo-se que a decomposição da hidrazina ocorra com a ruptura da ligação N-N e, subseqüente formação da amônia intermediária que decompõe-se em H₂ e N₂.

A partir da comparação com os trabalhos de BLOCK e SCHULZ-EKLOFF (1973) e KANT e McMAHON (1960), onde são utilizados isótopos de nitrogênio (15N), para a marcação da hidrazina na reação de decomposição e é comprovado que o N₂ formado não apresenta uma mistura de isótopos, é possível afirmar que na temperatura onde predomina a reação (2) os produtos formam-se sem a quebra da ligação N-N. No entanto, a altas temperaturas N₂ e H₂ tornam-se produtos predominantes, prevalecendo a quebra da ligação N-N.

O mecanismo reacional para o sistema Al₂O₃ suportado em Ir é parecido ao proposto para folha de irídio policristalina, mas com algumas diferenças significativas. Abaixo de 473 K é proposto por FALCONER e WISE que a adsorção, na folha de irídio, ocorra de acordo com:

$$N_2H_4 \rightarrow H-N-N-H+2H^*$$
 (14)

onde o asterisco indica espécie adsorvida. A molécula de N_2H_4 em fase gasosa reage com $N_2H_2^{\ \ \ }$ para formar NH_3 e N_2 .

$$N_2H_2^{\bullet} + N_2H_4 \rightarrow N_2 + 2NH_3$$
 (15)

Esta reação resulta na formação de N_2 sem a ruptura da ligação N-N da molécula da N_2H_4 . Se as reações (14) e (15) são o caminho da decomposição de hidrazina para o catalisador de folha de irídio policristralino, as reações subsequentes diferem para o

catalisador suportado, na decomposição no estado estacionário. Na folha de Ir, segundo FALCONER e WISE, hidrogênio adsorvido recombina-se e dessorve, enquanto que no catalisador suportado, a temperaturas inferiores a 473 K, quase não é formado H₂ gasoso. Contudo, detecta-se, por análise de TPD (Dessorção a Temperatura Programada), a presença de hidrogênio adsorvido na superfície. Então, a estequiometria na equação (14) será satisfeita com a reação:

$$N_2H_4 \to 2NH_2^{*}$$
 (16)
 $NH_2^{*} + H^{*} \to NH_3^{*}$ (17)

Sugerindo-se que a temperaturas abaixo de 473 K, em pequenos cristais de irídio, no catalisador suportado, a reação (17) ocorre preferencialmente à recombinação de átomos de hidrogênio. Essa reação é favorecida devido a maior força de ligação do hidrogênio ao metal no catalisador suportado.

A soma das etapas (14)-(17) corresponde à equação (2), onde ocorre a dessorção da amônia formada. Uma vez que o experimento realizado para a dissociação da amônia apresenta características semelhantes ao da decomposição da hidrazina, e nesse experimento não há a presença do hidrogênio adsorvido (H*), a etapa determinante deve ser uma etapa que precede a formação da amônia intermediária e compreende a dessorção anterior à equação (17).

Verifica-se também, que uma exposição prolongada da hidrazina junto ao catalisador e subsequente TPD não gera os produtos na mesma proporção como observado durante a exposição no estado estacionário de decomposição. Na temperatura ambiente, os produtos são somente N₂ e NH₃. Mas durante a análise de TPD um pico substancial de H₂/N₂H₄, foi observado além dos N₂, H₂ e NH₃. Aparentemente, NH₃ e algum H₂, formado durante a decomposição em estado estacionário, permanecem no irídio superficial da alumina com uma energia de ligação suficientemente alta de forma que não haja a dessorção dessas espécies à temperatura ambiente. Visto que irídio não

quimissorve nitrogênio na forma molecular, o N₂ observado não surge da readsorção da molécula de nitrogênio na superfície do catalisador (FALCONER e WISE, 1976).

Outra comprovação realizada no trabalho de FALCONER e WISE, é que a diminuição da área superficial do catalisador de Ir, reduz a concentração ou "população superficial" das espécies N₂, H₂ e NH₃. Assumindo-se, assim, que os produtos originam-se dos sítios metálicos. Os resultados obtidos por FALCONER e WISE (1976) são similares aos obtidos por CONTOUR e PANNETIER (1972).

Experimentos realizados por BROOKS (1970), com hidrazina adsorvida em fios de Pd, exibe diferenças interessantes quando comparadas ao catalisador de irídio. Sobre o Pd, os produtos N₂/N₂H₄ e H₂/N₂H₄ dessorvem à mesma temperatura, 373 K, não sendo possível observar a dessorção do NH₃. ERTL e TORNAU (1974) postulam a etapa determinante da taxa como sendo a abstração sucessiva de átomos de hidrogênio para formar H₂ e N₂ a partir de N₂H₄, sem a ruptura da ligação N–N. Experimentos de decomposição em estado estacionário com catalisadores de Pd mostram reação completa a 453 K. Porém, similar a folha de irídio, não há uma temperatura na qual a decomposição em estado estacionário apresenta o NH₃ e o N₂ como únicos produtos.

GEORGE *et al.* (1993), estudaram a decomposição da hidrazina sobre irídio, e afirmaram que a reação de decomposição é muito rápida quando comparada com outras reações unimoleculares. Confirmaram que os produtos da decomposição são H₂, N₂ e NH₃ e que a taxa de formação de amônia é igual à da formação de nitrogênio em uma faixa de temperatura de 700-800 K, dependendo da pressão mas, a taxa de formação de amônia rapidamente decresce acima dessa temperatura.

A decomposição da hidrazina ocorre segundo as equações (1) e (3). A hidrogenação de radicais da hidrazina quimissorvida ou, de espécies com nitrogênio parcialmente hidrogenado envolve hidrogênio quimissorvido proveniente da reação (1). Concluindose que N₂ e NH₃ deverão ser produzidos a partir de sucessivas desidrogenações das espécies adsorvidas N₂H_x e NH_x e da hidrogenação da espécie adsorvida NH_x,

respectivamente. Verifica-se que o rápido decréscimo na taxa de formação de NH₃, com o aumento da temperatura, não ocorre devido à decomposição do NH₃, dado que o aumento dessa decomposição, em catalisadores de Pt e Rh, ocorre muito lentamente acima de 800 K. Esse decréscimo provavelmente ocorrerá devido ao processo ser bimolecular. A altas temperaturas as taxas de dessorção de H₂ e N₂ são rápidas e a estabilidade da espécie NH_x deverá ser baixa, levando, assim, ao decréscimo da cobertura superficial pelas espécies NH_x e H_S e subseqüentemente ao decréscimo da taxa de formação de NH₃. A desidrogenação de hidrazina adsorvida para a formação de N₂ deverá ser um processo energeticamente favorável apenas a altas temperaturas.

CONTOUR e PANNETIER (1972) comprovaram que após a adsorção e decomposição da hidrazina a 300 K, em um catalisador de irídio, o nitrogênio encontra-se adsorvido sob a forma atômica na superfície do irídio com uma forte ligação entre o N e o Ir. Os autores sugerem que o primeiro passo da decomposição catalítica é a formação da ligação coordenada entre átomos de nitrogênio da molécula de hidrazina e átomos de irídio da superfície.

A ausência de um pico de dessorção para o hidrogênio adsorvido está de acordo com o que já havia sido proposto pela literatura (SAYER, 1969; KEN-ICHI AIKA *et al.*, 1970). Há a confirmação de que os produtos da decomposição da hidrazina sobre o irídio são em sua essência nitrogênio e amônia. KEN-ICHI AIKA *et al.* (1970) indicam que a reação deve ocorrer via hidrogenólise da hidrazina, consumindo-se o hidrogênio produzido pela decomposição.

$$N_2H_4 \rightarrow N_2 + 2H_2$$
 (1)
 $2N_2H_4 + 2H_2 \rightarrow 4NH_3$ (3)

Conclusões similares foram obtidas por VOLTER e LIETZ (1969) usando catalisadores de cromo, manganês, ferro, tungstênio, rênio e ósmio.

A revisão bibliográfica mostra que ainda há muita especulação sobre a rota ou as rotas reacionais possíveis. A afirmação unânime é que os produtos formados na decomposição da hidrazina são: hidrogênio, nitrogênio e amônia.

O último trabalho que gostaríamos de ressaltar é o desenvolvido por VALENÇA em 1993, onde foi estudada a decomposição catalítica da hidrazina, utilizando-se do modelo BOC-MP (bond-order conservation-Morse potential). Este modelo, desenvolvido por SHUSTOROVICH em 1984, será posteriormente explicado. Este trabalho avaliou a cinética de decomposição da hidrazina em catalisadores de Irídio, Níquel e Platina.

A primeira verificação é que as rotas podem ocorrer através de vários caminhos possíveis, originados pela quebras das ligações N-N e/ou N-H, seguido pela recombinação das espécies intermediárias N₂H₃, N₂H₂, N₂H, NH₃, NH₂, NH, N₂, H₂, N e H, o que torna possível a existência de 74 etapas elementares para a decomposição da hidrazina. A segunda verificação é que analisando estas etapas foi possível identificar as 13 etapas mais relevantes, conforme apresentado na Tabela 2.2.

TABELA 2.2 - Etapas mais relevantes na decomposição catalítica da hidrazina.

N ₂ H ₄	\rightarrow	$NH_2 + NH_2$
N_2H_4	→	$N_2H_3 + H$
N_2H_3	\rightarrow	$NH + NH_2$
N_2H_3	\rightarrow	HN=NH+H
HN=NH	→	NH + NH
HN=NH	→	$N_2H + H$
N_2H	\rightarrow	NH + N
N_2H	\rightarrow	$N_2 + H$
NH	\rightarrow	N + H
NH + H	\rightarrow	NH_2
$NH_2 + H$	\rightarrow	NH_3
H + H	→	H_2
N + N	>	N_2

A avaliação para o catalisador de irídio mostrou a existência de duas possíveis etapas determinantes,

$$N_2H_3 \rightarrow HN=NH+H$$
 (18)

$$N_2H_3 \rightarrow NH + NH_2$$
 (19)

Essa conclusão deve-se ao fato que as etapas são praticamente equivalentes, possuindo as mais altas energias de ativação (Tabela 2.3), cujos valores encontram-se em torno de 71,1 kJmol⁻¹. As rotas possíveis serão dependentes dessas etapas determinantes.

Segundo as reações mostradas na Tabela 2.3, o NH₂ formado na decomposição do N₂H₃ pode decompor-se ou recombinar-se, segundo:

$$NH_2 \rightarrow NH + H$$
 (20)

$$NH_2 + H \rightarrow NH_3$$
 (21)

ao passo que o NH se decompõe conforme:

$$NH \rightarrow N + H$$
 (22)

TABELA 2.3 - Energias de ativação e calor de dissociação para etapas da decomposição catalítica da hidrazina sobre catalisador de irídio. ΔE e D em kJmol⁻¹.

	Rec	ıção	D	ΔΕ
N_2H_4	-	N_2H_3+H	322,0	31,5
N_2H_4	\rightarrow	$NH_2 + NH_2$	301,0	54,5
N_2H_3	\rightarrow	HN=NH+H	230,0	71,0
N_2H_3	\rightarrow	NH+NH ₂	351,5	67,0
HN=NH		$N_2H + H$	251,0	0,0
HN=NH	>	NH + NH	490,0	33,5
N_2H	→	$N_2 + H$	29,0	0,0
N_2H	→	NH+N	577,5	54,5
H_2	\rightarrow	H+H	435,0	25,0
N_2	\rightarrow	N+N	946,0	46,0
NH_2	\rightarrow	NH + H	389,0	58,5
NH	\rightarrow	N + H	322,0	21,0
NH + H	→	NH ₂	389,0	79,5
$NH_2 + H$		NH_3	460,0	0,0
H + H	\rightarrow	H_2	435,0	75,0
N+N	→	N ₂	945,5	163,0

A reação de recombinação para nitrogênio possuí uma energia elevada e desta forma a tendência da reação é o acúmulo de N na superfície do irídio, o que é observado na prática (CONTOUR e PANNETIER, 1972). Assim sendo gera-se as seguintes rotas preferenciais:

TABELA 2.4 - Rotas preferenciais para a decomposição sobre o irídio.

Rota 1	Rota 2
$N_2H_4 \rightarrow N_2H_3 + H$ $N_2H_3 \rightarrow HN=NH + H$ $HN=NH \rightarrow N_2H + H$ $N_2H \rightarrow N_2 + H$	$N_2H_4 \rightarrow N_2H_3 + H$
$N_2H_3 \rightarrow HN=NH+H$	$N_2H_3 \rightarrow NH + NH_2$
$HN=NH \rightarrow N_2H + H$	$NH_2 + H \rightarrow NH_3$
$N_2H \rightarrow N_2 + H$	$NH_2 \rightarrow NH + H$
	$NH \rightarrow N + H$

Neste trabalho procuramos verificar a cinética da decomposição catalítica da hidrazina para qualquer catalisador metálico e ver se é possível obter um catalisador que possa ser

considerado ótimo para esta reação, isto é, cuja taxa de reação por sítio catalítico seja máxima. Para tal, faremos uso de métodos teóricos de pesquisa.

2.2 Revisão dos Métodos Teóricos

2.2.1 Histórico

Um maior interesse pelas taxas das reações químicas coincidem com o desenvolvimento da físico-química após 1850. Antes disso, os fenômenos catalíticos tinham sido qualitativamente descritos por meio de observações. O termo catálise foi sugerido em 1835 por BERZELIUS que reconheceu a natureza comum desses fenômenos.

Estudos quantitativos das taxas de reações homogêneas iniciaram-se com WILHELMY, que em 1850 mediu a taxa de inversão da cana de açúcar, catalisada com ácido. HACOURT (um químico) e ESSON (um matemático), estudaram algumas reações e publicaram uma série de artigos nos quais desenvolvem expressões da taxa para reações de primeira e de segunda ordem. O passo seguinte para o desenvolvimento da catálise foi o artigo publicado por LANGMUIR cujas isotermas derivariam de considerações cinéticas de adsorção-dessorção para monocamadas.

HINSHELWOOD mostrou uma extensa aplicação sistemática das isotermas para a interpretação de dados cinéticos catalíticos, levando, na década de 20, ao uso do termo cinética de LANGMUIR-HINSHELWOOD. Durante esse mesmo período TAYLOR enfatizou os centros ativos, afirmando que a superficie catalítica não deveria ser homogênea e que nem todos os sítios da superficie seriam cataliticamente ativos.

Na engenharia química, o artigo mais influente foi publicado por HOUGEN e WATSON em 1943. A discussão nele presente gira em torno do controle da taxa de

adsorção, do envenenamento, das limitações de transferência de massa nos poros dos catalisadores e da formulação de equações da taxa para reações catalíticas superficiais controladas. Essas equações são equivalentes ao tratamento de LANGMUIR-HINSHELWOOD, exceto à incorporação explícita de um termo para a reação reversa.

Uma extensão bastante útil da consideração de HOUGEN e WATSON, foi feita em 1950 por YANG e HOUGEN, onde é estabelecido um método para escrever a expressão da taxa, com a utilização do conceito de etapa determinante. BOUDART enfatizou o risco de se afirmar que se a conversão é mantida relativamente baixa (5-10%), a operação diferencial é alcançada. A retenção por meio de um produto pode ocorrer em conversões muito baixas. (WELLER, 1992).

2.2.2 Considerações não-padrões

Por grande parte desse século os interessados na cinética de reações catalíticas heterogêneas mediram as taxas de reações com dois objetivos: desenvolver as equações das taxas e estabelecer um mecanismo reacional em escala molecular. A introdução de considerações mais sofisticadas, tais como inserção de isótopos, desempenharam um importante papel na revelação dos mecanismos. Durante a década passada tais considerações proliferaram graças, em parte, à melhoria da instrumentação, ao desenvolvimento da ciência da superfície e à compreensão teórica das interações moleculares, incluindo o progresso na química computacional. Por esses motivos o campo da cinética encontra-se ampliado, mas não fragmentado.

2.2.3 Métodos Teóricos

Em 1987 DUMESIC *et al.* propõem o projeto de catalisadores através da modelagem cinética. Observa-se uma interessante consideração para aproximar a predição de taxas e seletividade de produto em processo de muitos passos. O método consiste na

estimativa de fatores pré-exponenciais e de energias de ativação, a taxa constante. Essa estimativa é realizada por meio de calibração, utilizando-se atividade e seletividade, informações da literatura para o processo em estudo, e ajuste de parâmetros dentro de limites físicos.

Outra consideração para a predição da constante da taxa para reações elementares em superficies metálicas, comparável a DUMESIC, mas diferindo bastante em detalhes foi proposta por SHUSTOROVICH em 1984. A construção fenomenológica usada por SHUSTOROVICH é denominada BOC-MP, como sendo, conservação da ordem da ligação - potencial de Morse.

SHUSTOROVICH comenta: "Enquanto espera-se pelo advento de técnicas eficientes de mecânica quântica, o bom senso requer que sejam procuradas alternativas de trabalho. Se não é permitida uma modelagem microscópica, então que seja fenomenológica. Porque nós estamos interessados nas energias de reação, o modelo fenomenológico deveria ser baseado na termodinâmica. Para ter uma chance de sucesso tal modelo deveria ter uma estrutura matemática rigorosa e fazer uso de parâmetros bem definidos, preferivelmente aqueles observáveis. E, com o objetivo de ter um olho experimentalista, os modelos teóricos deveriam ser simples o suficiente, de forma ideal em um único nível de estrutura bem fundamentada". Ele conclui: "os teóricos são incuráveis otimistas em suas crenças nas quais existe uma ordem compreensível de coisas. O único problema é achar a estrutura na qual os detalhes dos fenômenos reais estão coerentemente relacionadas. Para os fenômenos de quimissorção nas superfícies de metais de transição, incluindo a reatividade da superfície, o modelo BOC-MP aparece para fornecer tal estrutura". A revisão dos métodos teóricos apresentada aqui, encontra-se descrita no artigo de WELLER (1992).

2.2.3.1 Justificativa da utilização do método BOC-MP ("bond-order conservation-Morse potential")

Enquanto outros modelos teóricos necessitam construir, através da mecânica quântica, as espécies a serem adsorvidas bem como, a superficie de adsorção, a partir das equações de onda, para só então modelar-se a adsorção, o que torna os resultados menos exatos e consome um tempo computacional elevado, o modelo BOC-MP parte de valores experimentais para adsorção de átomos sobre a superficie, reduzindo-se o erro e tornando o sistema mais rápido. Além da vantagem de não possuir parâmetros ajustáveis, ou seja, não é necessária a realização de modelagem matemática para a obtenção dos parâmetros do modelo.

A desvantagem do modelo está na inexistência de valores da entalpia de adsorção para todas as espécies atômicas, bem como para os casos em que existem vários tipos de sítios ativos no catalisador, como no caso dos óxidos por exemplo.

O modelo BOC-MP propõe-se ser:

- Um modelo analítico capaz de ser eficiente para o tratamento energético de adsorbatos atômicos e diatômicos na transição em superficies metálicas, particularmente para a entalpia de quimissorção (Q) e para energias de ativação (ΔE) na dissociação e na recombinação .
- Exatidão nos resultados quando comparados com resultados obtidos por intermédio de experimentos frente a outros métodos.
- Mistura de dados simples com algebrismo.

2.3 Conservação da Ordem de Ligação - Potencial de Morse (BOC-MP)

2.3.1 Formalismo BOC-MP

2.3.1.1 Considerações do modelo

O tratamento para a quimissorção em superfícies, de espécies atômicas A, ou diatômicas AB, envolvem algumas considerações.

A adsorção ocorre em metais de superfície de transição, onde as forças das ligações M-M e M-A são consideradas semi-esféricas, de forma a energia total E depende, sobretudo, da distância r (relação entre E e r). A migração e dissociação do adsorbato X envolvem trocas no modo de coordenação M_n -X (n sendo o número de coordenação) e na distância (r) M-X, que é acompanhada pela troca na energia total E.

Segundo as interações quase esféricas, a descrição desse processo parte de um modelo potencial relacionando E como uma função de r. Por exemplo, para 2 centros (M e A) a ordem de ligação x, é definida como

$$x = exp[-(r-r_0)/a]$$
 (23)

e é exponencial em relação a r (distância M-A), sendo r_o e a constantes. O modelo deve incluir forças atrativas e repulsivas para que se reproduza a energia mínima total. O significado físico da ordem de ligação pode ser explicado a partir dos seguintes exemplos: Quando $r = r_o$, a ordem de ligação x = 1, indicando que o átomo A está ligado à superfície (ou sítio M_n). Ao contrário, quando $r = \infty$, x = 0, e não há ligação entre A e a superfície (A está infinitivamente afastado da superfície). Portanto, x varia entre 0 e 1 indicando a razão da ligação devido a interação entre A e o centro M_n .

Para interação entre dois centros é utilizado o modelo geral simplificado do potencial de Morse, fazendo parte apenas os termos quadráticos e lineares para x, segundo:

$$E(x) = -Q(x) = -Q_0 (2x-x^2)$$
 (24)

onde, Q_0 é a energia de ligação de M-A no equilíbrio. A energia total E(x) tem somente um mínimo na distância de equilíbrio r_0 quando a ordem de ligação (x) é igual a 1, por definição.

A justificativa da utilização do potencial de Morse contendo apenas os termos lineares e quadráticos, deve-se ao fato que na região de quimissorção (região próxima ao equilíbrio) a forma da curva potencial é semelhante a uma parábola.

Para descrever interações de vários centros M_n -A (onde n é o número de coordenação), o potencial de Morse utiliza-se da aditividade das contribuições de Q e x para os centros M-A:

$$Q(n) = \sum_{i=1}^{n} Q_i$$
 (25)

$$x(n) = \sum_{i=1}^{n} x_i \quad (26)$$

ou seja, para efetuar-se os cálculos para M_n -A centros faz-se a retenção dos parâmetros (Q_0, r_0, a) e adiciona-se a contribuição de cada M-A, podendo esta ser diferente para cada ordem de ligação. Experimentalmente, verifica-se que o aumento de Q(n) ocorre de forma não linear $(Q_0 < Q(n) < nQ_0)$, confirmando assim que a contribuição das espécies M-A são diferentes. Dessa forma deve-se pensar que os valores de x_i possam assumir valores menores que 1. (se $x_i = 1$, então $Q(n) = nQ_0$).

Uma consideração simples é que a ordem de ligação total não varia com n, assim x é conservado e normalizado para 1.

$$x = \sum_{i=1}^{n} x_i = x_0 = 1 \quad (27)$$

Ao final, é necessário escolher o valor de n para M_n -A. Assume-se para n o valor do número de átomos vizinhos. Por exemplo, em uma estrutura A/fcc(100), o número de coordenação máximo alcançado por um sítio vazio é 4. Em resumo, as regras vistas são:

- 1. Cada 2 centros (por exemplo M e A) são descritos pelo potencial de Morse.
- 2. Para um dado M_n -A, as interações para os *n* pares de centros são aditivas.
- 3. A ordem de ligação é conservada e normalizada.
- 4. Para um dado M_n -A, n é limitado pelo número de vizinhos próximos.

Na utilização do método para reação catalisadas por metais, a forma de Arrhenius, é assumida para a constante da taxa de cada etapa elementar da reação na superfície. As quantidades calculadas pelo método BOC-MP são: a entalpia de adsorção de cada espécie envolvida e a energia de ativação para a etapa elementar em questão.

2.3.1.2 Quimissorção atômica

Seguindo as inter-relações do formalismo BOC-MP, o parâmetro energético básico na constante de Morse (Q_0) corresponde a um máximo ou um mínimo de energia de ligação entre dois centros (M-A) Q_{0A} . O valor de Q_{0A} não é diretamente observado mas, pode ser determinado a partir do valor experimental do calor de quimissorção atômico Q_A (definido abaixo) o qual aumenta monoticamente com n.

$$Q_A = Q(n) = Q_{0A}(2-1/n)$$
 (28)

2.3.1.3 Quimissorção molecular

Para a aplicação do método na quimissorção da molécula AB, os calores de adsorção de A e B separadamente, juntamente com a energia de ligação de AB, são tomadas do experimento. O objetivo é calcular o calor de adsorção de AB. A comparação do valor

calculado pelo método BOC-MP com valores experimentais, em geral, está dentro de uma faixa de 10-15%, acontecendo o mesmo para moléculas poliatômicas.

Para quimissorção molecular o método BOC-MP para M_n-AB é descrito como:

$$\sum_{i=1}^{n} (x_{Ai} + x_{Bi}) + x_{AB} = 1 \quad (29)$$

onde o calor de quimissorção molecular relaciona o calor de quimissorção dos átomos coordenados Q_A , Q_B e, também, a energia de dissociação D_{AB} da molécula A-B na fase gasosa.

O caso mais simples de quimissorção para M_n -AB, corresponde a AB perpendicular à superfície (Figura 2.2), com A mais próximo à superfície. Nesse caso a ordem de ligação de M_n -B pode ser desprezada devido à orientação geométrica ($\eta^1 \mu_I$, onde o subscrito de μ refere-se ao números de átomos metálicos envolvidos),

$$Q_{AB} \le \left(\frac{Q^2_{0A}}{Q_{0A} + D_{AB}}\right) \quad (30)$$

onde o sinal de inequação refere-se a não existência da contribuição ou à contribuição pequena e negativa da interação M-B.



FIGURA 2.2 - Esquema de uma molécula AB perpendicular a superficie

Utilizando-se a mesma aproximação para o sítio n, M_n -AB ($\eta^1 \mu_n$), tem-se

$$Q_{AB,n} \le \left(\frac{Q^2_{0A}}{Q_{0A} + D_{AB}}\right) \quad (31)$$

2.3.1.4 Quimissorção forte

Usando-se termos de grupos efetivos (interações fortes ou quimissorção forte) a equação (29) pode ser reescrita como:

$$x_{\rm A} + x_{\rm B} + x_{\rm AB} = 1$$
 (32)

A diferença prática em se usar uma das duas equações acima é que serão introduzidas diferentes constantes de Morse.

Para a mesma situação de quimissorção para M_n -AB, utilizando-se a equação (32).

$$Q_{AB} = \left(\frac{Q^2_A}{Q_A + D_{AB}}\right) \quad (33)$$

2.3.1.5 Quimissorção intermediária

As expressões (31) e (33) representam valores extremos de entalpia de adsorção devido a uma quimissorção fraca e forte respectivamente. Na prática observam-se valores intermediários de entalpia de quimissorção que podem ser estimadas como sendo a interpolação entre os dois extremos.

$$Q_{AB} = \frac{1}{2} \left(\frac{Q^2_{0A}}{\frac{Q_{0A}}{n} + D_{AB}} + \frac{Q^2_{A}}{Q_{A} + D_{AB}} \right)$$
(34)

2.3.1.6 Coordenação paralela a superfície (adsorção bidentada)

Se a molécula AB encontra-se coordenada paralela à superfície, ou seja, via A e B (protótipo $\eta^2 \mu_2$), a energia de ligação é dada por:

 $Q_{AB} = \frac{ab(a+b) + D_{AB}(a-b)^2}{ab + D_{AB}(a+b)}$ (35)

onde

 $a = \frac{Q_{0A}^2 (Q_{0A} + 2Q_{0B})}{(Q_{0A} + Q_{0B})^2}$

e

$$b = \frac{Q_{0B}^2 (Q_{0B} + 2Q_{0A})}{(Q_{0A} + Q_{0B})^2}$$

Para uma molécula homonuclear A₂ a equação (35) se reduz a:

$$a = b = a_o = (3/4) Q_{0A}$$

e a equação da entalpia torna-se:

$$Q_{A_2} = \frac{(9/2)Q_{0A}^{2}}{3Q_{0A} + 8D_{A_2}} \quad (36)$$

2.3.1.7 Energia de ativação para reações de dissociação

O uso da equação (32) é também peculiar para o tratamento da dissociação AB. Considerando-se a Energia de Ativação ($\Delta E^*_{AB,g}$) para a dissociação $AB_g \rightarrow A_s + B_s$ quando AB aproxima-se da superfície na fase gasosa.

O diagrama tradicional unidimensional para o potencial de Lennard-Jones refere-se a $\Delta E^*_{AB,g}$ para o ponto de intersecção das curvas da aproximação molecular AB e atômica A+B com a superfície, conforme Figura 2.3. O estado de transição (TS) onde ocorre a mudança de configuração corresponde a $x^{TS}_{AB} = 0$, reduzindo a equação (32) a

$$x_A + x_B = 1$$
 (37)

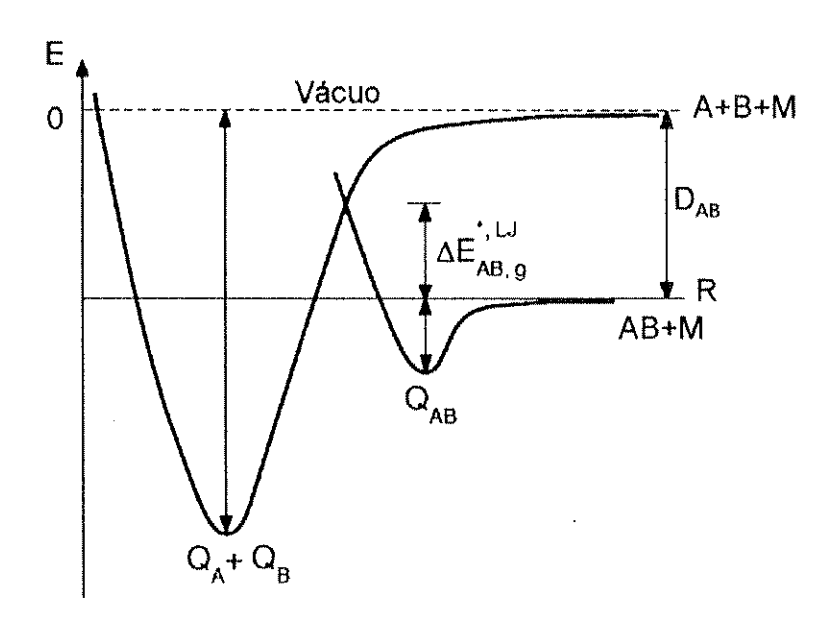


FIGURA 2.3 - Diagrama do potencial de Lennard-Jones unidimensional para a quimissorção e dissociação da partícula AB

O procedimento variacional dado para a energia de ativação $\Delta E^{*,LJ}_{AB,g}$ do método BOC corresponde ao da Figura 2.4.

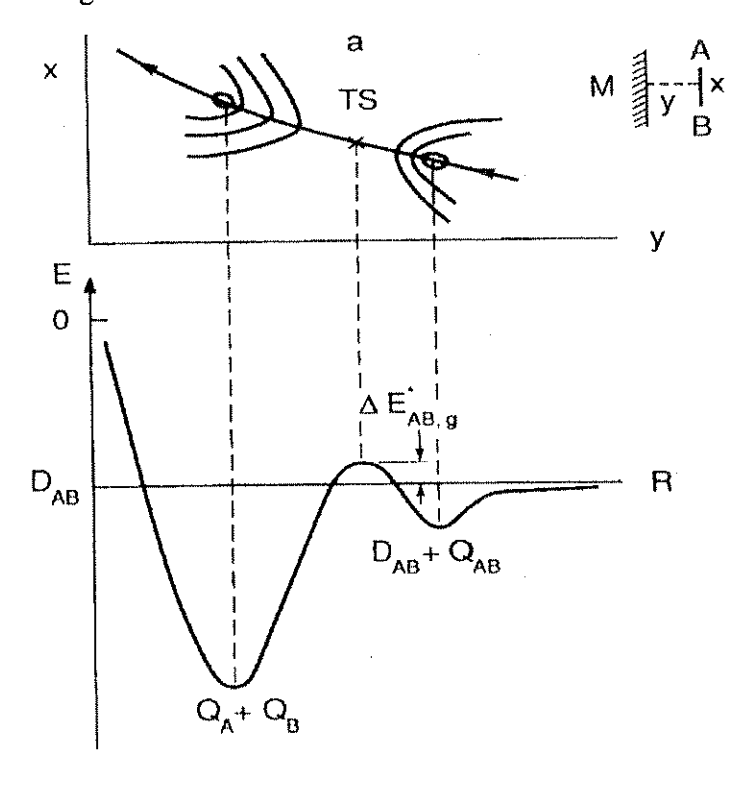


FIGURA 2.4 - Diagrama convencional de Lennard-Jones em duas dimensões. As coordenadas de reação são: x que corresponde a distância entre as espécies A-B e y que corresponde a distância da espécie AB e a superfície.

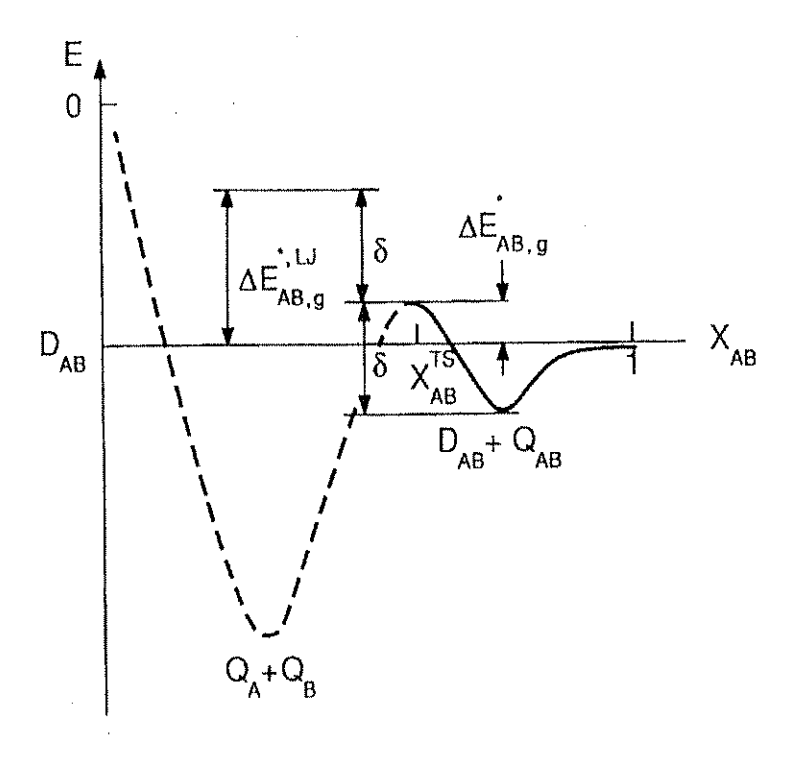


FIGURA 2.5 - Diagrama potencial multidimensional para o BOC, equivalente ao 2.4.

$$\Delta E_{AB,g}^{\bullet,IJ} = D_{AB} - (Q_A + Q_B) + \frac{Q_A Q_B}{(Q_A + Q_B)}$$
 (38)

Para uma dissociação homonuclear $A_2 \rightarrow A + A$, a equação torna-se:

$$\Delta E_{AB,g}^{*,LJ} = D_{AB} - (3/2)Q_A$$
 (39)

Na realidade, não há como pensar em uma intersecção de Lennard-Jones visto que os perfis de energias para AB e A+B são superfícies multidimensionais. A representação mínima adequada é mostrada em duas dimensões, conforme Figura 2.4. É possível encontrar um outro caminho paralelo. Para a exatidão do cálculo de $\Delta E^{\dagger}_{AB,g}$ é preciso conhecer detalhes dos perfis de energia multidimensionais AB_s e A_s + B_s, os quais, em geral, são desconhecidos. A dissociação de AB deverá ocorrer quando a energia total de AB for um intermediário entre o estado quimissorvido e o ponto de dissociação de Lennard-Jones. A simples interpolação põe o ponto de dissociação no meio do intervalo de energia, $Q_{AB} + \Delta E^{*,LJ}_{AB,g}$ (conforme Figura 2.3). Então tem-se:

$$\Delta E^*_{AB,g} = (1/2)(\Delta E^{*,LJ}_{AB,g} - Q_{AB})$$
 (40)

$$\Delta E_{AB,g}^{\bullet} = (1/2) \left(D_{AB} - (Q_{AB} + Q_A + Q_B) + \frac{Q_A Q_B}{(Q_A + Q_B)} \right)$$
 (41)

Essa expressão demonstra como a energia de quimissorção molecular Q_{AB} pode afetar a dissociação AB, o efeito totalizado que falta na figura unidimensional para Lennard-Jones descrito pela Eq. (38).

Em um estado químissorvido, a barreira de dissociação $\Delta E^{*}_{AB,s}$ será maior que $\Delta E^{*}_{AB,g}$ pela quantidade de calor da químissorção Q_{AB}

$$\Delta E_{AB,s}^* = \Delta E_{AB,g}^* + Q_{AB} \quad (42)$$

recombinando-se a equação (41) com a (42),

$$\Delta E_{AB,s}^{*} = (1/2) \left(D_{AB} - (Q_A + Q_B) + Q_{AB} + \frac{Q_A Q_B}{(Q_A + Q_B)} \right)$$
 (43)

2.3.1.8 Energia de ativação para reações de recombinação

A energia de ativação em um diagrama de Lennard-Jones para a reação reversa de recombinação de A e B,

$$\Delta E_{A-B}^{*,I,J} = \frac{Q_A Q_B}{(Q_A + Q_B)} \quad (44)$$

Verifica-se que $\Delta E_{A-B}^{*,LJ}$ não poderá ser menor que $\Delta H = \Delta H_{AB} - \Delta H_{A-B}$, as diferenças entre as entalpias dos reagentes AB_s ($-\Delta H_{AB} = D_{AB} + Q_{AB}$) e os produtos A_s e B_s ($-\Delta H_{A+B} = Q_A + Q_B$). Então , a energia de ativação (BOC) será somente, a mínima energia necessária para recombinação, ou seja:

$$\frac{Q_{\Lambda}Q_{B}}{(Q_{\Lambda}+Q_{B})} \ge \Delta H = Q_{\Lambda} + Q_{B} - D_{AB} - Q_{AB} \quad (45)$$

mas, não suficiente se a entalpia for maior que a relação $Q_AQ_B/(Q_A+Q_B)$.

Em alguns casos, a barreira de recombinação pode ser assumida como a diferença de entalpia, $\Delta E^{*,l,J}_{AB,g} = \Delta H$. Ressaltando-se que para a recombinação de átomos adsorvidos A_s e B_s , formando AB_s quimissorvido, ou formando AB_g em fase gasosa, a energia de ativação $\Delta E^*_{A-B,s}$ pode ser a mesma ou diferente de $\Delta E^*_{A-B,g}$, a depender do sinal da dissociação na fase gasosa. Assim a energia de ativação será:

$$\Delta E^{\dagger}_{A-B,s} = \Delta E^{\dagger}_{A-B,g} \text{ se } \Delta E^{\dagger}_{AB,g} > 0 \qquad \text{e} \qquad \Delta E^{\dagger}_{A-B,s} < \Delta E^{\dagger}_{A-B,g} \text{ se } \Delta E^{\dagger}_{AB,g} < 0 \quad (46)$$

mas, especificamente a expressão pode ser reescrita como:

$$\Delta E^*_{\text{A-B,s}} = \Delta E^*_{\text{A-B,g}} = Q_{\text{A}} + Q_{\text{B}} - D_{\text{AB}} + \Delta E^*_{\text{AB,g}}$$
 (47)

$$\Delta E^{\dagger}_{A-B,s} = \Delta E^{\dagger}_{A-B,g} - \Delta E^{\dagger}_{AB,g} = Q_A + Q_B - D_{AB}$$
 (48)

Capítulo 3:	
Otimização do processo	

3.1 Catalisador ótimo

O análise da cinética de uma reação buscando o catalisador ótimo é descrito por BOUDART (1987). A ilustração utiliza o caso no qual o catalisador é um átomo X (como o cloro, por exemplo) e, a reação catalisada consiste na destruição do ozônio que ocorre na estratosfera. O mecanismo da reação não catalisada consiste na colisão entre o ozônio, O₃, e átomos de oxigênio, O, produzindo duas moléculas de oxigênio molecular O₂, segundo,

$$O + O_3 \rightarrow O_2 + O_2$$
 (49)

As etapas elementares da reação catalisada por um sítio catalítico X é mostrado como segue:

$$X + O_3 \rightarrow O_2 + XO$$
 (50)

$$XO + O \rightarrow O_2 + X$$
 (51)

A soma dos passos (50) e (51), resulta na reação total (49). O ciclo catalítico para a destruição da camada de ozônio a partir do cloro ou flúor, pode ser representado pelo esquema (3.1).

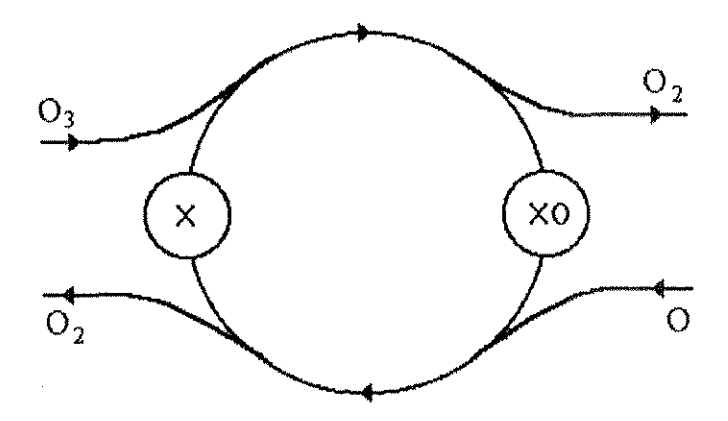


FIGURA 3.1 - Protótipo de um ciclo catalítico. X é o catalisador da reação.

A taxa de reação por sítio ativo ou taxa de giro v_t pode facilmente ser obtida desde que sejam feitas as seguintes observações: no estado estacionário, as taxas v_t e v_2 dos passos (50) e (51) e a taxa v_o da reação total (49) devem ser iguais. A expressão da taxa de cada etapa é dada por:

$$v_0 = v_1 = k_1[X][O_3] = k_2[XO][O] = v_2$$
 (52)

Como a concentração total dos centros ativos, [L], permanece constante, tem-se:

$$[X] + [XO] = [L]$$
 (53)

Agrupando-se as expressões (52) e (53) obtêm-se:

$$v_o = [L] \frac{k_1 k_2 [O_3][O]}{k_1 [O_3] + k_2 [O]}$$
 (54)

Mas, a taxa por sítio v_t , isto é, o número de períodos que o ciclo gira de um lado a outro por segundo, é dado por:

$$v_i = \frac{v_o}{[L]}$$
 (55)

Como esta frequência é o número de todos os atos da reação que ocorrem por segundo, por sítio catalítico, a combinação das duas últimas expressões leva a:

$$v_{1} = \frac{k_{1}k_{2}[O_{3}][O]}{k_{1}[O_{3}] + k_{2}[O]}$$
 (56)

A taxa máxima por sítio para uma determinada temperatura, é obtida diretamente a partir da equação da taxa. Para o caso do ciclo descrito na Figura 3.1, um número de hipóteses não essenciais são assumidas para ilustrar os principais conceitos e os caminhos simples.

Há a necessidade de fornecer informações sobre a constante da taxa, geralmente, na forma de Arrhenius:

$$k_1 = A \exp\left(\frac{-E_1}{RT}\right) \quad (57)$$

$$k_2 = A \exp\left(\frac{-E_2}{RT}\right) \quad (58)$$

onde, os fatores pré-exponenciais são tomados como sendo iguais (BOUDART, 1984). As energias de ativação E_1 e E_2 podem ser expressas em termos da relação proposta por SEMENOV (1954) para reações entre radicais livres e moléculas, como nos passos (50) e (51).

$$E = constante - q/4$$
 (59)

onde q, uma quantidade positiva, é o calor de uma reação elementar na direção exotérmica. Se a reação elementar é endotérmica, a energia de ativação E' poderá ser dada pela equação (59) adicionado o valor de q. Então, E' (etapa endotérmica) > E (etapa exotérmica), desse modo, conclui-se que para maximizar k_1 e k_2 , e consequentemente a taxa por sítio, os dois passos do ciclo deveriam ser exotérmicos.

Os valores de q são obtidos a partir de valores de energia de dissociação D, que são freqüentemente acessíveis no caso de moléculas simples. A energia de dissociação da ligação A-B é denotada por D(A-B). Aplicando-se aos passos (50) e (51), verifica-se:

$$q_1 = D(X-O) - D(O-O_2)$$
 (60)

$$q_2 = D(O-O) - D(X-O)$$
 (61)

a partir de tabelas termoquímicas, têm-se:

$$D(O-O_2) = 105 \text{ kJmol}^{-1}$$

$$D(O-O) = 494 \text{ kJmol}^{-1}$$

As menores energias serão obtidas para valores positivos de q, dessa forma observa-se que:

$$D(O-O_2) \le D(X-O) \le D(O-O)$$
 (62)

Como uma simplificação não essencial para a obtenção do valor ótimo de D(X-O), que corresponde a um máximo da taxa por sítio., assume-se que $[O] = [O_3]$.

$$v_{t} = A[O_{3}] \frac{\exp(-E_{1}/RT)\exp(-E_{2}/RT)}{\exp(-E_{1}/RT) + \exp(-E_{2}/RT)}$$
 (63)

Substituindo-se na expressão (63) os valores das energias apresentadas na equação (59) e essas pelos valores de q_1 e q_2 dados como função das energias de dissociação (60) e (61), é obtida uma função da expressão de v_t como função da variável D(X-O).

$$v_t = v_t[D(X-O)]$$
 (64)

Derivando-se a expressão de v_t (64) em função da variável D(X-O) e tornando-a igual a zero, encontra-se o máximo da expressão, que para o caso específico da decomposição do ozônio corresponde a:

$$(v_t)_{\text{max}} = D(X-O) = \frac{1}{2} [D(O-O_2) + D(O-O)]$$
 (65)

3.2 Tratamento genérico usando as equações do BOC-MP

As equações geradas pelo modelo BOC-MP, para a decomposição da hidrazina, são apresentadas neste capítulo. Inicialmente, serão expostas as equações das entalpias de adsorção para cada espécie envolvida no processo de decomposição em estudo. Para o desenvolvimento destas equações utilizou-se a classificação realizada por VALENÇA (1993), (Tabela 3.1).

TABELA 3.1- Energia de dissociação e classificação dos fragmentos de decomposição catalítica do N₂H₄, D em kJmol⁻¹.

Molécula	D_{total}	D	Adsorção
Н	_	, sur	Forte
N		-	Forte
H_2	435	435	Bidentado
N ₂	946	946	Bidentado
NH	339	339	Forte
NH ₂	711	711	Intermediário
NH_3	1172	1172	Fraco
N_2H	916	512	Intermediário
HN=NH	1167	829	Bidentado
N_2H_3	1398	690	Intermediário
N_2H_4	1720	1013	Bidentado

A classificação quanto a força de adsorção é realizada a partir do números de pares de elétrons disponíveis para a ligação de cada espécie com a superfície. Quando a espécie apresenta um ou mais pares de elétrons disponíveis a adsorção é considerada forte. Para espécies com apenas um elétron disponível a adsorção é intermediária e quando o octeto encontra-se completo a adsorção é classificada como fraca. No caso do irídio, por exemplo, a adsorção fraca corresponde a uma energia em torno de 40 kJmol⁻¹, já a adsorção intermediária possui uma energia de 188 kJmol⁻¹ e a forte da ordem de 335 kJmol⁻¹, mostrando-se, assim, a ordem de grandeza dessas forcas.

3.2.1 - Entalpias de Adsorção

A seguir, apresentaremos as equações obtidas pelo método BOC-MP, para a entalpia de adsorção das espécies mostradas na Tabela 3.1, classificadas de acordo com a força de adsorção.

Adsorção forte, conforme equação (33)

$$Q_{\rm NH} = \left(\frac{Q_{\rm N}^2}{Q_{\rm N} + D_{\rm NH}}\right) \quad (66)$$

Adsorção fraca, conforme equação (31)

$$Q_{\text{NH}_3} = \left(\frac{Q_{0\text{N}}^2}{\frac{Q_{0\text{N}}}{n} + D_{\text{NH}_3}}\right) \quad (67)$$

• Adsorção intermediária, conforme equação (34)

$$Q_{N_2H_3} = \frac{1}{2} \left(\frac{Q_{0N}^2}{Q_{0N} + D_{N_2H_3}} + \frac{Q_N^2}{Q_N + D_{N_2H_3}} \right)$$
(68)

$$Q_{N_2H} = \frac{1}{2} \left(\frac{Q_{0N}^2}{Q_{0N} + D_{N_2H}} + \frac{Q_N^2}{Q_N + D_{N_2H}} \right)$$
(69)

$$Q_{\text{NH}_2} = \frac{1}{2} \left(\frac{Q_{0\text{N}}^2}{\frac{Q_{0\text{N}}}{n} + D_{\text{NH}_2}} + \frac{Q_{\text{N}}^2}{Q_{\text{N}} + D_{\text{NH}_2}} \right)$$
(70)

• Adsorção bidentada, conforme (36)

$$Q_{N_2H_4} = \frac{9}{2} \left(\frac{Q_{0N}^2}{3Q_{0N} + 8D_{N_2H_4}} \right) \quad (71)$$

$$Q_{\text{N}_2\text{H}_2} = \frac{9}{2} \left(\frac{Q_{0\text{N}}^2}{3Q_{0\text{N}} + 8D_{\text{N},\text{H}_2}} \right) \quad (72)$$

$$Q_{N_2} = \frac{9}{2} \left(\frac{Q_{0N}^2}{3Q_{0N} + 8D_{N_2}} \right) \quad (73)$$

e a entalpia de adsorção do metal com o nitrogênio (Q_N) , relaciona-se com a constante de Morse da seguinte forma:

$$Q_{\rm N} = Q_{\rm 0N} \left(2 - \frac{1}{n} \right)$$
 (74)

3.2.2 - Energia de ativação

As equações da energia de ativação para as etapas mais relevantes da decomposição de hidrazina, são mostradas abaixo. As expressões para as reações de dissociação, são baseadas nas equações (41) e (43) para os casos onde a espécie reagente encontra-se no estado gasoso e quimissorvido respectivamente e, na equação (47) para as reações de recombinação.

Por exemplo, para a etapa de adsorção dissociativa

$$N_2H_{4(g)} \rightarrow N_2H_{3(s)} + H_{(s)}$$
 (75)

a energia de ativação é dada por

$$E = \frac{1}{2} \left(D_{\text{Re}} + \frac{Q_{\text{N}_2\text{H}_3} Q_{\text{H}}}{Q_{\text{N}_3\text{H}_3} + Q_{\text{H}}} - Q_{\text{N}_2\text{H}_3} - Q_{\text{H}} - Q_{\text{N}_2\text{H}_4} \right)$$
 (76)

Combinando-se as equações de energia de ativação com as equações das entalpias de adsorção para a reação (75) obtém-se a expressão:

$$E = \frac{1}{2} \left(D_{Re} + \frac{\frac{1}{2} \left(\frac{Q_{\partial N}^{2}}{\frac{Q_{\partial N}}{n} + D_{N_{2}H_{3}}} + \frac{\left(Q_{\partial N}(2 - \frac{1}{n}) \right)^{2}}{Q_{\partial N}(2 - \frac{1}{n}) + D_{N_{2}H_{3}}} \right) Q_{H}}{\frac{1}{2} \left(\frac{Q_{\partial N}^{2}}{\frac{Q_{\partial N}}{n} + D_{N_{2}H_{3}}} + \frac{\left(Q_{\partial N}(2 - \frac{1}{n}) + D_{N_{2}H_{3}} \right)}{Q_{\partial N}(2 - \frac{1}{n}) + D_{N_{2}H_{3}}} \right) + Q_{H}} + \frac{\left(Q_{\partial N}(2 - \frac{1}{n}) \right)^{2}}{Q_{\partial N}(2 - \frac{1}{n}) + D_{N_{2}H_{3}}} - Q_{H} - \frac{9}{2} \left(\frac{Q_{\partial N}^{2}}{3Q_{\partial N} + 8D_{N_{2}H_{3}}} \right) - Q_{H} - \frac{9}{2} \left(\frac{Q_{\partial N}^{2}}{3Q_{\partial N} + 8D_{N_{2}H_{3}}} \right) - Q_{H} - \frac{9}{2} \left(\frac{Q_{\partial N}^{2}}{3Q_{\partial N} + 8D_{N_{2}H_{3}}} \right) - Q_{H} - \frac{9}{2} \left(\frac{Q_{\partial N}^{2}}{3Q_{\partial N} + 8D_{N_{2}H_{3}}} \right) - Q_{H} - \frac{9}{2} \left(\frac{Q_{\partial N}^{2}}{3Q_{\partial N} + 8D_{N_{2}H_{3}}} \right) - Q_{H} - \frac{9}{2} \left(\frac{Q_{\partial N}^{2}}{3Q_{\partial N} + 8D_{N_{2}H_{3}}} \right) - Q_{H} - \frac{9}{2} \left(\frac{Q_{\partial N}^{2}}{3Q_{\partial N} + 8D_{N_{2}H_{3}}} \right) - Q_{H} - \frac{9}{2} \left(\frac{Q_{\partial N}^{2}}{3Q_{\partial N} + 8D_{N_{2}H_{3}}} \right) - Q_{H} - \frac{9}{2} \left(\frac{Q_{\partial N}^{2}}{3Q_{\partial N} + 8D_{N_{2}H_{3}}} \right) - Q_{H} - \frac{9}{2} \left(\frac{Q_{\partial N}^{2}}{3Q_{\partial N} + 8D_{N_{2}H_{3}}} \right) - Q_{H} - \frac{9}{2} \left(\frac{Q_{\partial N}^{2}}{3Q_{\partial N} + 8D_{N_{2}H_{3}}} \right) - Q_{H} - \frac{9}{2} \left(\frac{Q_{\partial N}^{2}}{3Q_{\partial N} + 8D_{N_{2}H_{3}}} \right) - Q_{H} - \frac{9}{2} \left(\frac{Q_{\partial N}^{2}}{3Q_{\partial N} + 8D_{N_{2}H_{3}}} \right) - Q_{H} - \frac{9}{2} \left(\frac{Q_{\partial N}^{2}}{3Q_{\partial N} + 8D_{N_{2}H_{3}}} \right) - Q_{H} - \frac{9}{2} \left(\frac{Q_{\partial N}^{2}}{3Q_{\partial N} + 8D_{N_{2}H_{3}}} \right) - Q_{H} - \frac{9}{2} \left(\frac{Q_{\partial N}^{2}}{3Q_{\partial N} + 8D_{N_{2}H_{3}}} \right) - Q_{H} - \frac{9}{2} \left(\frac{Q_{\partial N}^{2}}{3Q_{\partial N} + 8D_{N_{2}H_{3}}} \right) - Q_{H} - \frac{9}{2} \left(\frac{Q_{\partial N}^{2}}{3Q_{\partial N} + 8D_{N_{2}H_{3}}} \right) - Q_{H} - \frac{9}{2} \left(\frac{Q_{\partial N}^{2}}{3Q_{\partial N} + 8D_{N_{2}H_{3}}} \right) - Q_{H} - \frac{9}{2} \left(\frac{Q_{\partial N}^{2}}{3Q_{\partial N} + 8D_{N_{2}H_{3}}} \right) - Q_{H} - \frac{9}{2} \left(\frac{Q_{\partial N}^{2}}{3Q_{\partial N} + 8D_{N_{2}H_{3}}} \right) - Q_{H} - \frac{9}{2} \left(\frac{Q_{\partial N}^{2}}{3Q_{\partial N} + 8D_{N_{2}H_{3}}} \right) - Q_{H} - \frac{9}{2} \left(\frac{Q_{\partial N}^{2}}{3Q_{\partial N} + 8D_{N_{2}H_{3}}} \right) - Q_{H} - \frac{Q_{\partial N}^{2}}{3Q_{\partial N}^{2}} \right) - Q_{H} - \frac{Q_{\partial N}^{2}}{3Q_{\partial N}^{2}} \right) - Q_{H} - \frac{Q_{\partial$$

Os dados de calor de dissociação necessários a expressão (77) são encontrados nas Tabelas 2.3 e 3.1. Como por exemplo:

N₂H₄ - Bidentado

 $D_{\text{N2H4}} = 1013 \text{ kJmol}^{-1}$

N₂H₃ - Intermediário

 $D_{\text{N2H3}} = 690 \text{ kJmol}^{-1}$

 $D_{\text{Reação}} = 322 \text{ kJmol}^{-1}$

As expressões utilizadas para o cálculo da energia de ativação das demais etapas analisadas neste trabalho são dadas por

$$N_{2}H_{4} \rightarrow NH_{2} + NH_{2} (78)$$

$$E = \frac{1}{2} \left(D_{Re} + \frac{Q_{NH_{2}}Q_{NH_{2}}}{Q_{NH_{2}} + Q_{NH_{2}}} - Q_{NH_{2}} - Q_{NH_{2}} - Q_{N_{2}H_{4}} \right) (79)$$

$$N_{2}H_{3} \rightarrow HN=NH+H (80)$$

$$E = \frac{1}{2} \left(D_{Re} + \frac{Q_{N_{2}H_{2}}Q_{H}}{Q_{N_{1}H_{1}} + Q_{H}} + Q_{N_{2}H_{3}} - Q_{H} - Q_{N_{2}H_{3}} \right) (81)$$

$$N_{2}H_{3} \rightarrow NH + NH_{2} \quad (82)$$

$$E = \frac{1}{2} \left(D_{Re} + \frac{Q_{NH_{2}}Q_{NH}}{Q_{NH_{3}} + Q_{NH}} + Q_{N_{2}H_{3}} - Q_{NH} - Q_{NH_{2}} \right) \quad (83)$$

$$HN=NH \to N_2H + H \quad (84)$$

$$E = \frac{1}{2} \left(D_{Re} + \frac{Q_{N_2H}Q_H}{Q_{N_2H} + Q_H} - Q_{N_2H} - Q_H + Q_{N_2H_2} \right) \quad (85)$$

HN=NH
$$\rightarrow$$
 NH + NH (86)
$$E = \frac{1}{2} \left(D_{Re} + \frac{Q_{NH}Q_{NH}}{Q_{NH} + Q_{NH}} - Q_{NH} - Q_{NH} + Q_{N_2H_2} \right)$$
(87)

que pode ser simplificada a

$$E = \frac{1}{2} \left(D_{\text{Re}} - \frac{3}{2} Q_{\text{NH}} + Q_{\text{N}_2 \text{H}_2} \right)$$
 (88)

$$N_{2}H \rightarrow N_{2} + H \quad (89)$$

$$E = \frac{1}{2} \left(D_{Re} + \frac{Q_{N_{1}}Q_{H}}{Q_{N_{2}} + Q_{H}} - Q_{N_{2}} - Q_{H} + Q_{N_{2}H} \right) \quad (90)$$

$$N_2H \to NH + N$$
 (91)
$$E = \frac{1}{2} \left(D_{Re} + \frac{Q_{NH}Q_N}{Q_{NH} + Q_N} - Q_{NH} - Q_N + Q_{N_2H} \right)$$
 (92)

$$NH \to N + H \quad (93)$$

$$E = \frac{1}{2} \left(D_{Re} + \frac{Q_{N}Q_{H}}{Q_{N} + Q_{H}} - Q_{N} - Q_{H} + Q_{NH} \right) \quad (94)$$

$$NH + H \rightarrow NH_{2} \quad (95)$$

$$E = \frac{1}{2} \left(D_{Re} + \frac{Q_{NH}Q_{H}}{Q_{NH} + Q_{H}} - Q_{NH} - Q_{H} - Q_{NH_{2}} \right) + Q_{NH} + Q_{H} - D_{Re} \quad (96)$$

$$NH_{2} + H \rightarrow NH_{3} \quad (97)$$

$$E = \frac{1}{2} \left(D_{Re} + \frac{Q_{NH_{2}}Q_{H}}{Q_{NH_{2}} + Q_{H}} - Q_{NH_{3}} - Q_{H} - Q_{NH_{2}} \right) + Q_{NH_{2}} + Q_{H} - D_{Re} \quad (98)$$

$$N + N \to N_2 \quad (99)$$

$$E = \frac{1}{2} \left(D_{Re} + \frac{Q_N Q_N}{Q_N + Q_N} - Q_{N_2} - Q_N - Q_N \right) + Q_N + Q_N - D_{Re} \quad (100)$$

Um caso especial é a recombinação do hidrogênio, em que as equações compreendem as equações modificadas para Q_N :

$$H + H \rightarrow H_2$$
 (101)

$$E = \frac{1}{2} \left(D_{Re} + \frac{Q_{H}Q_{H}}{Q_{H} + Q_{H}} - Q_{H_{2}} - Q_{H} - Q_{H} \right) + Q_{H} + Q_{H} - D_{Re} \quad (102)$$

$$Q_{\rm H_2} = \frac{9}{2} \left(\frac{Q_{\rm 0H}^2}{3Q_{\rm 0H} + 8D_{\rm H_2}} \right) \quad (103)$$

$$Q_{\rm H} = Q_{\rm 0H} \left(2 - \frac{1}{n} \right) \quad (104)$$

3.3 - Etapas para a análise cinética

Após apresentadas as equações geradas pelo modelo BOC-MP, mostraremos como pretendemos avaliar a cinética da decomposição catalítica da hidrazina.

Em primeiro lugar, gera-se a equação da taxa para cada uma das etapas em estudo. A equação da taxa será dada, na forma abaixo, em função da espécie adsorvida, aqui representada por A*, de cada etapa.

$$v_o = k [A*] (105)$$

onde,

$$[*] + [A*] = [L]$$
 (106)

e a taxa por sítio formulada da seguinte maneira:

$$v_t = v_o / [L]$$
 (107)

Na expressão (105) a constante da taxa é substituída por sua equivalente na equação de Arrhenius:

$$k = A \exp(-E/RT)$$
 (108)

Nesta, a expressão da energia de ativação corresponderá à formulada pelo método BOC-MP, de forma que podemos relacionar a expressão da taxa com a entalpia de adsorção Q_{0N} ou Q_{N} .

Os zeros para a derivada da função acima, corresponderão aos pontos de máximo ou de mínimo da taxa. Esta derivação será efetuada em relação a entalpia de adsorção do átomo de nitrogênio com o metal $Q_{\rm N}$.

Como etapa seguinte, a avaliação dos resultados deve ser realizada de forma a obter-se os pontos de máxima taxa, que correspondem a um mínimo de energia para a reação.

A sequência para obtenção dos máximos da taxa, baseia-se no modelo apresentado no capítulo 3, fazendo uso do método BOC-MP.

•	
Capítulo 4:	
Capitulo 4.	
Aplicação do mathematica®	
Apricação do mamematica	
	······································

Realizou-se a aplicação da metodologia descrita acima para as equações geradas pelo modelo BOC-MP a partir de softwares computacionais. Inicialmente tentou-se utilizar o software *Derive*, porém esse software demonstrou não possuir suporte matemático e de memória para o agrupamento e resolução das equações. Posteriormente testou-se, com sucesso, a utilização do software *Mathematica*, desenvolvido por WOLFRAN (1991). Mesmo com elevada capacidade computacional, foi apresentado por esse software, um tempo computacional considerável, para a realização dos cálculos, principalmente quando exigia-se que fosse encontradas raízes para o sistema. Os resultados obtidos a partir da utilização do *Mathematica* são apresentados no capítulo resultados e discussões.

Capítulo 5: Resultados e discussão A partir do tratamento genérico usando as equações do formalismo BOC-MP pôde ser gerada a Figura 5.1 para as etapas de decomposição da hidrazina. Esta mostra a variação da energia de ativação (E) como função da entalpia de adsorção metal-nitrogênio (Q_N). Relaciona-se, dessa forma, a energia de ativação de cada etapa com um catalisador pois, cada valor de entalpia de adsorção metal-nitrogênio corresponde a um metal diferente conforme os exemplos mostrados na Tabela 5.1.

TABELA 5.1 - Valores de calor de adsorção de alguns suportes catalíticos com o nitrogênio expressos em kJmol⁻¹.

Elemento	Q_{N}	Ref.
Fe (110)	585,8	a
Ni (111)	565	a
Pd (111)	544	a
W (110)	648,6	a
Ir (111)	531,4	a
Ru(001)	565	b
Re(001)	594	b
Pt (111)	485	С

a Rhodhin, T. N. & Ertl, G. - The Nature of the Surface Chemical Bond

O estudo realizado pelo presente trabalho buscou encontrar pontos de mínimos para a energia de ativação como função de Q_N , de forma a se determinar o catalisador ótimo. As condições de trabalho adotadas para se encontrar esses mínimos são apresentadas e justificadas abaixo.

b Shustrorovich - Surf. Sci, 259 (1991) L791-L796.

c Shustrorovich - Adv. Cat., 37 (1990) 101-163.

5.1 Condições para a realização do trabalho

A partir dos valores tabelados para a entalpia de adsorção, entre o metal e o nitrogênio (Tabela 5.1), estipulou-se uma faixa de estudo correspondente a cerca do dobro da maior entalpia de adsorção encontrada na literatura. Por conseguinte, essa faixa compreende uma entalpia entre 0 e 1250 kJmol⁻¹. Essa superestimação garante a inclusão de todos os metais existentes.

Para a variação da entalpia de adsorção do metal com o hidrogênio $(Q_{\rm H})$, estabeleceu-se uma pequena variação do valor médio encontrado na literatura. Essa variação foi suficiente para que fosse mostrada a influência do $Q_{\rm H}$ no comportamento das curvas, que será descrito mais adiante.

Tomou-se o número de coordenação igual a 3 e para o cálculo da função -E/RT estipulou-se uma temperatura de 300 K, já que acima de 410 K a hidrazina decompõese termicamente sem necessidade de um catalisador. (MAUREL et al., 1973).

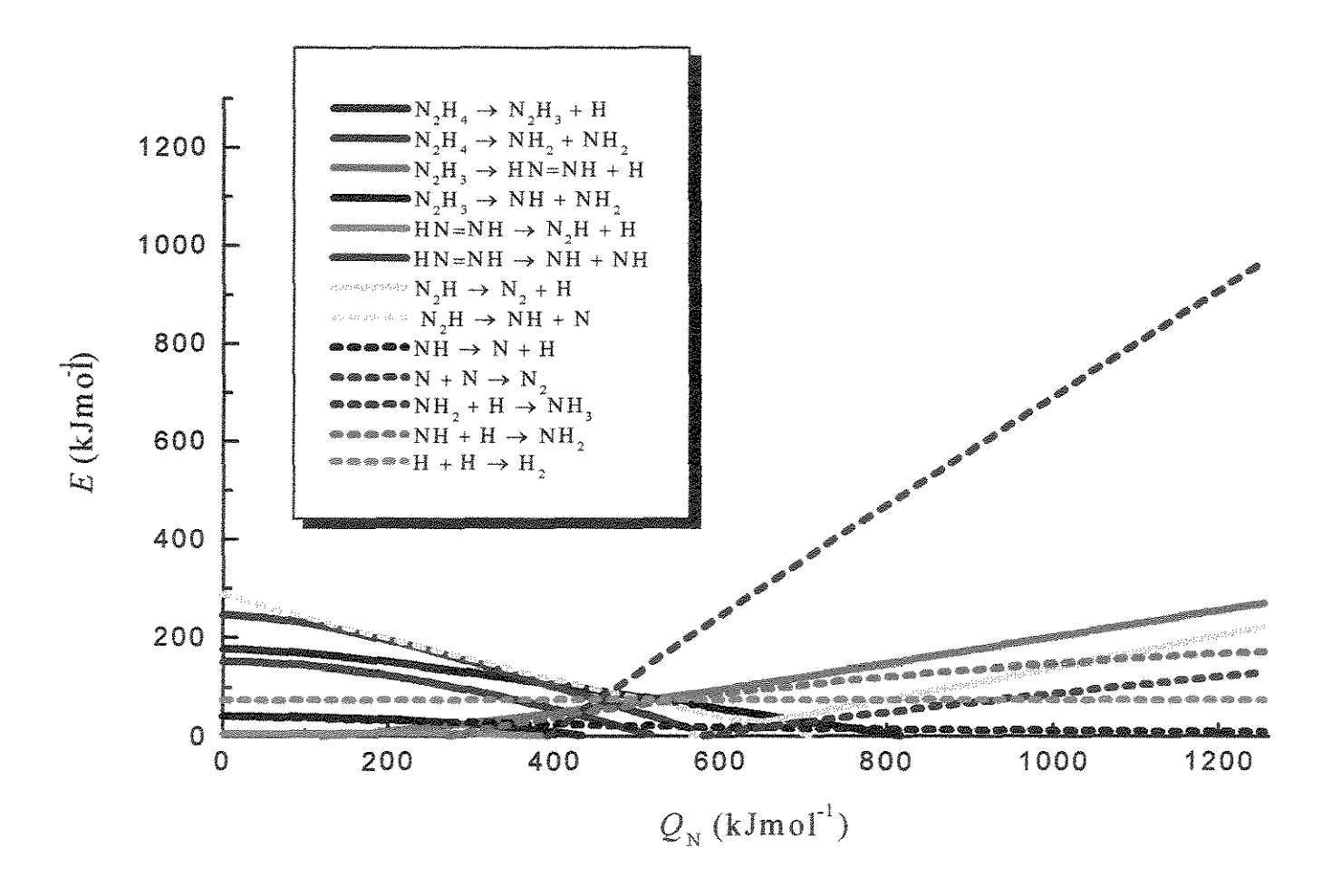


FIGURA 5.1 - Variação da energia de ativação (em kJmol⁻¹) em função da entalpia de adsorção do metal com o nitrogênio (Q_N em kJmol⁻¹) para todas as etapas estudadas da decomposição da hidrazina. A entalpia de adsorção entre o metal e o hidrogênio foi tomada como sendo igual a 243 kJmol⁻¹.

Após a aplicação da metodologia, descrita no capítulo anterior, a primeira verificação que se pode fazer é que a maioria das etapas em estudo não apresentam zero, ou zeros, para a sua derivada (conforme Tabelas abaixo), ou seja, não apresentam um ponto de máximo ou mínimo para a expressão da taxa. Tal verificação pode ser confirmada visualizando-se a Figura 5.1, onde é possível observar que a energia de ativação, em função de Q_N , é estritamente crescente ou decrescente. Assim sendo decidiu-se analisar o intervalo de entalpia de adsorção metal-nitrogênio, para cada etapa, na qual encontravam-se os menores valores da energia de ativação. Pois as reações são favorecidas a medida que possuírem mínima energia. Deve-se ressaltar a consideração física de que a energia de ativação não assume valores negativos de forma que quando as expressões do BOC-MP fornecem valores de energia negativos estes são substituídos por zero.

5.2 - Avaliação da faixa com menor energia de ativação para cada etapa

Para a realização desta avaliação as etapas foram dividas em dois grupos, o primeiro constituídos de reações onde ocorre a quebra da ligação N-N e o segundo onde estão presentes as reações com quebra das ligações N-H. Essa divisão se faz necessária pois, para o segundo grupo a energia de ativação é função tanto de Q_N quanto de Q_H sendo portando necessário avaliar a influência das duas variáveis.

As Tabelas abaixo descrevem a faixa de valores de Q_N que apresentam a mínima energia de ativação como também, os valores Q_N que fornecem os zeros da derivada de -E/RT em relação a Q_N . Os dados fornecidos nas Tabelas encontram-se em kJmol⁻¹. Por exemplo, para a etapa elementar de dissociação da hidrazina onde o produto gerado é unicamente o intermediário NH₂, a energia de ativação assume o valor zero para qualquer valor de Q_N superior a 518,6 kJmol⁻¹. No entanto não é verificada zero para derivada da função.

TABELA 5.2 - Faixa para os mínimos de energia da etapa: $N_2H_4 \rightarrow NH_2 + NH_2$

mínimo de E	∂ (-E/RT)/∂ Q _N
$Q_{\rm N} \ge 518,6$,

TABELA 5.3 - Faixa para os mínimos de energia da etapa: $N_2H_3 \rightarrow NH + NH_2$

mínimo de E	∂ (-E/RT)/∂ Q _N
$Q_{\rm N} \ge 818,1$	

TABELA 5.4 - Faixa para os mínimos de energia da etapa: HN=NH → NH + NH

mínimo de
$$E$$
 $\partial (-E/RT)/\partial Q_N$
 $Q_N \ge 590,8$

TABELA 5.5 - Faixa para os mínimos de energia da etapa: $N_2H \rightarrow NH + N$

mínimo de
$$E$$
 $\partial (-E/RT)/\partial Q_N$
 $Q_N \ge 715,6$ —

TABELA 5.6 - Faixa para os mínimos de energia da etapa: $N + N \rightarrow N_2$

mínimo de
$$E$$
 $\partial (-E/RT)/\partial Q_N$
 $0 \le Q_N \le 390,2$

O segundo caso são envolvidas as reações em que há quebra da ligação N–H. Neste caso, E é função de $Q_{\rm N}$ e $Q_{\rm H}$. No entanto, a variação de $Q_{\rm H}$ entre diversos metais é pelo menos quatro vezes menor que a variação de $Q_{\rm N}$. Resultados preliminares indicaram que a variação em $Q_{\rm H}$ de 25 kJmol⁻¹ (variação em $Q_{\rm N}$ de 100 kJmol⁻¹) resulta em uma variação em E inferior a 10 kJmol⁻¹, isto é, dentro do limite de precisão do método BOC-MP. De forma que poder-se-ia considerar $Q_{\rm H}$ constante e igual ao valor médio encontrado na literatura, mas decidiu-se investigar a variação de $Q_{\rm H}$ entre 243 e 263 kJmol⁻¹ de forma a avaliar a sua influência sobre a variação da faixa de catalisadores que fornecem o mínimo de energia.

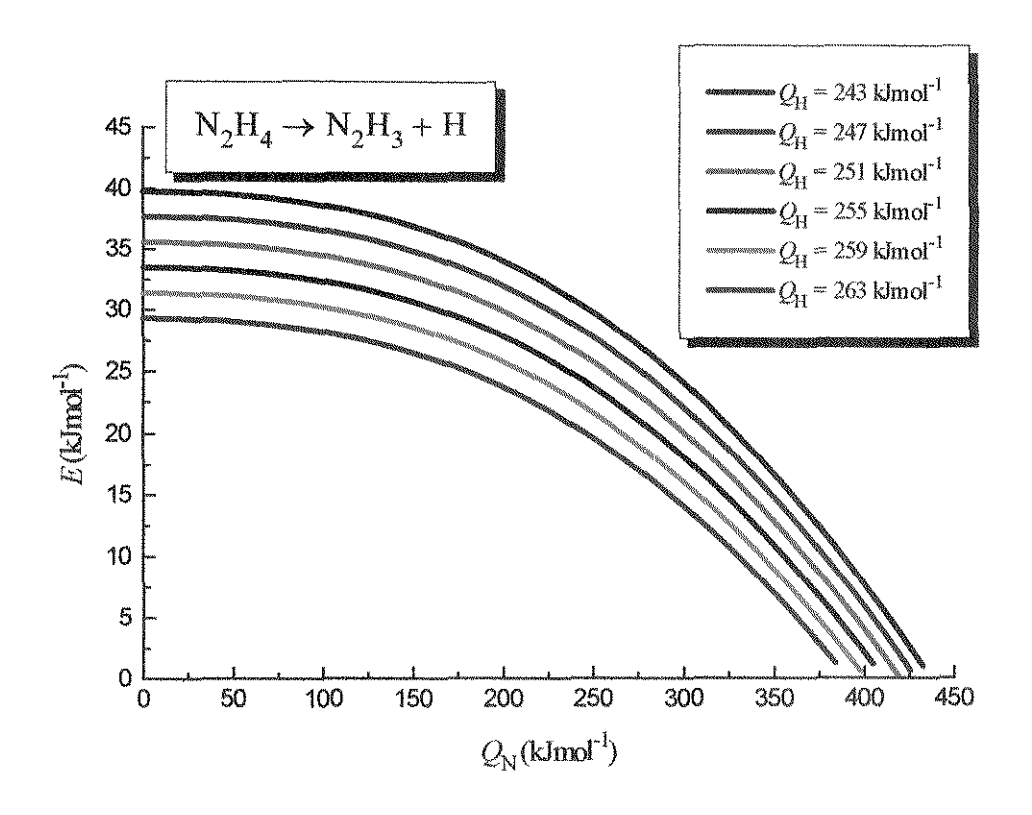


FIGURA 5.2 - Influência do Q_H sobre a etapa: $N_2H_4 \rightarrow N_2H_3 + H$.

TABELA 5.7 - Faixa para os mínimos de energia da etapa: $N_2H_4 \rightarrow N_2H_3 + H$.

Q_{H}	mínimo de E	$\partial (-E/RT)/\partial Q_N$
243	$Q_{\rm N} \ge 437,0$	ARR-40-AR
247	$Q_{\rm N} \ge 428,5$	***********
251	$Q_{\rm N} \ge 419,6$	WHATAIA
255	$Q_{\rm N} \ge 410,3$	No month or a
259	$Q_{\rm N} \ge 400,7$	Ahabhar's to
263	$Q_{\rm N} \ge 390,5$	
Média	$O_N \geq 414.5$	DNASamesty eta potas popular co zazata eta karen 1400 eta

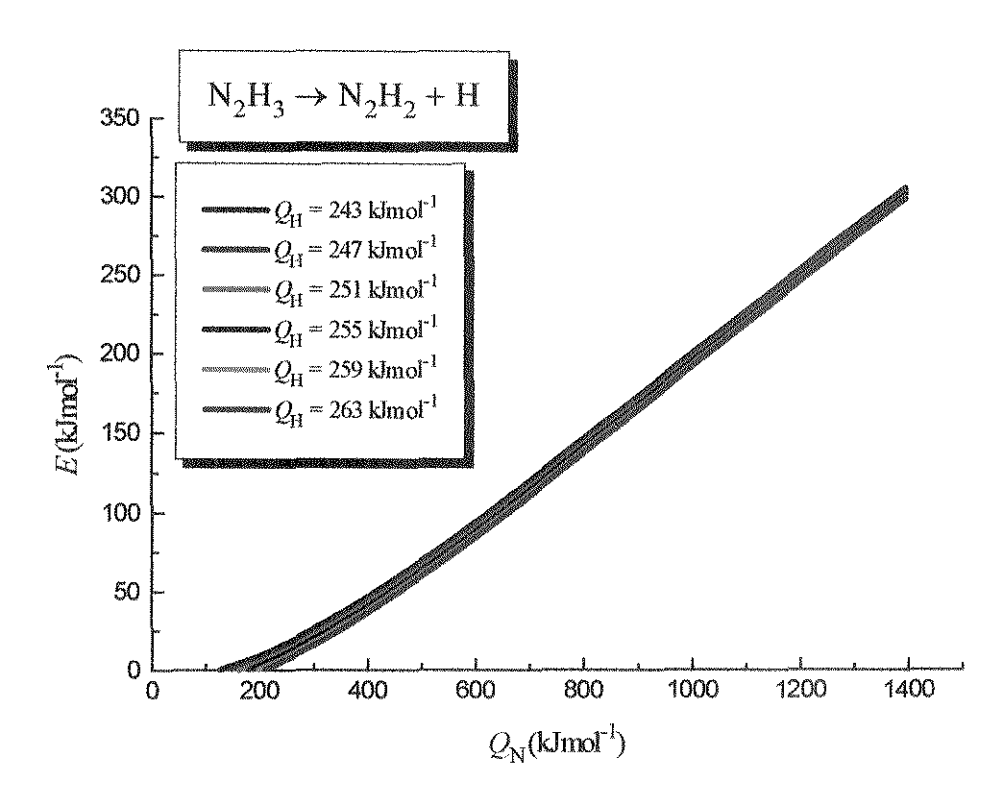


FIGURA 5.3 - Influência do $Q_{\rm H}$ sobre a etapa: $N_2H_3 \rightarrow HN=NH+H$

TABELA 5.8 - Faixa para os mínimos de energia da etapa: $N_2H_3 \rightarrow HN=NH+H$

\mathcal{Q}_{H}	mínimo de E	∂ (-E/RT)/∂ Q _N
243	$0 \le Q_{\rm N} \le 120,5$	din AAA Abada
247	$0 \le Q_{\rm N} \le 140,5$	
251	$0 \le Q_{\rm N} \le 158,5$	same S. Bardon
255	$0 \le Q_{\rm N} \le 175,0$	
259	$0 \le Q_{\rm N} \le 190,5$	MATCH PRINT
263	$0 \le Q_{\rm N} \le 205,0$	ANAVOR
Média	$0 \le Q_{\rm N} \le 165,0$	+PRINTERIONALISSASSASSASSASSASSASSASSASSASSASSASSASSA

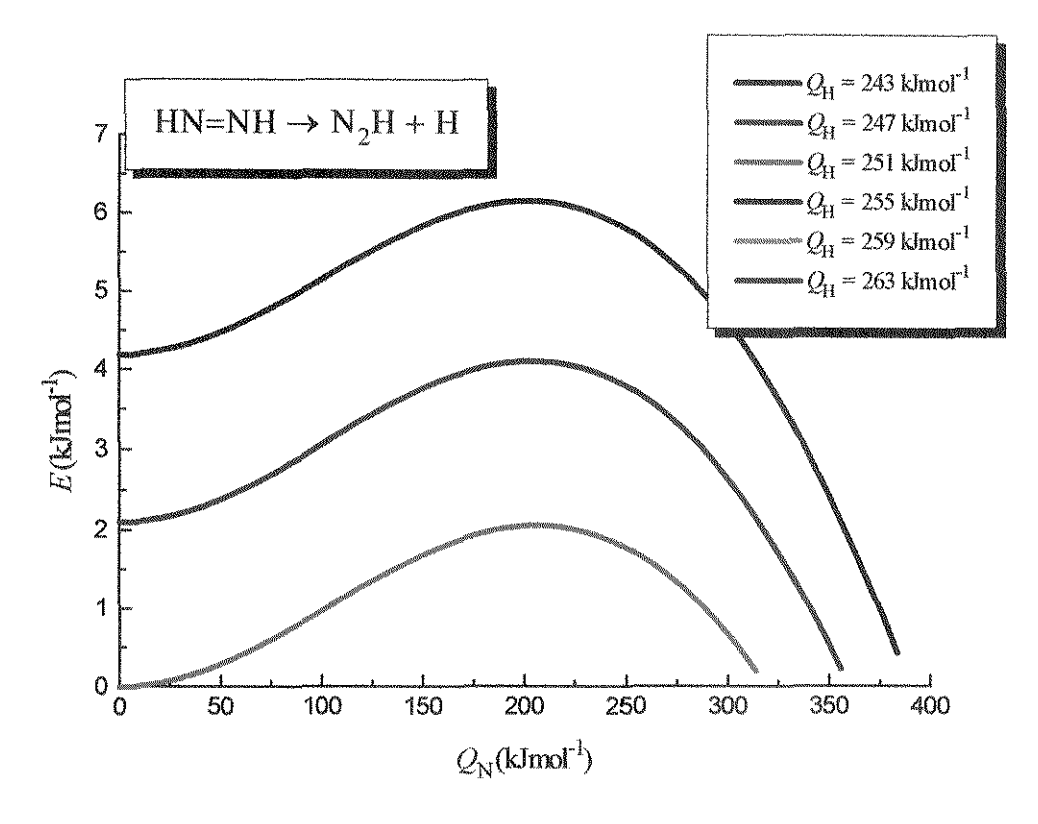


FIGURA 5.4 - Influência do $Q_{\rm H}$ sobre a etapa: HN=NH \rightarrow N₂H + H

TABELA 5.9 - Faixa para os mínimos de energia da etapa: $HN=NH \rightarrow N_2H + H$

$Q_{ m H}$	mínimo de E	$\partial (-E/RT)/\partial Q_{\rm N}$
243	$Q_{\rm N} \ge 389,8$	202,1
247	$Q_{\rm N} \ge 359,7$	204,4
251	$Q_{\rm N} \ge 318,9$	206,6
255	$Q_{\rm N} \le 204,6 {\rm e}Q_{\rm N} \ge 213,1$	208,9
259	棒	211,1
263		213,4

^{*} toda a faixa é possivel valor médio ~ 319, 3 kJmol⁻¹.

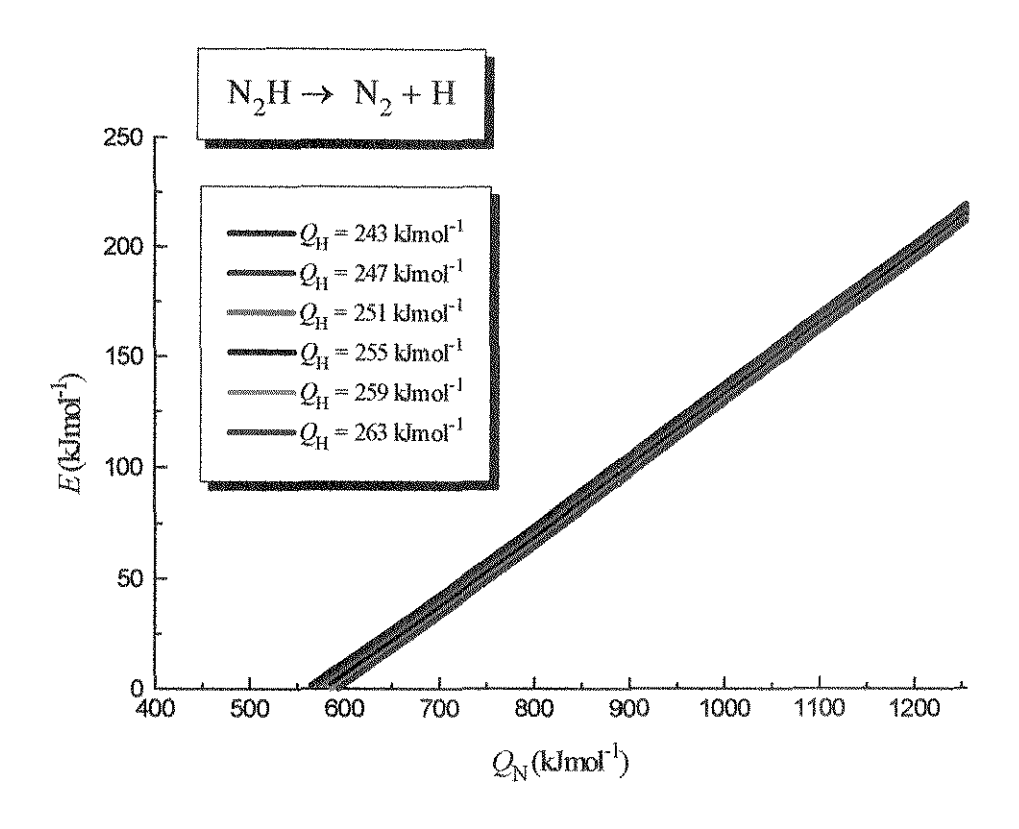


FIGURA 5.5 - Influência do $Q_{\rm H}$ sobre a etapa: $N_2 H \rightarrow N_2 + H$

TABELA 5.10 - Faixa para os mínimos de energia da etapa: $N_2H \rightarrow N_2 + H$

$Q_{\rm H}$	mínimo de E	∂ (- E/RT) $I\partial$ Q_N
243	$0 \le Q_{\rm N} \le 558,5$	
247	$0 \le Q_{N} \le 565,4$	A North Add A Mile
251	$0 \le Q_{\rm N} \le 572,2$	repositive v
255	$0 \le Q_{\rm N} \le 579,0$	Nacional Adv
259	$0 \le Q_{\rm N} \le 585,8$	indicated dates
263	$0 \le Q_{\rm N} \le 592,5$	********
Média	$0 \le Q_N \le 575.5$	(educat puntul maior sent et para comment monation as Selecte con monotoholo as an international constituent a

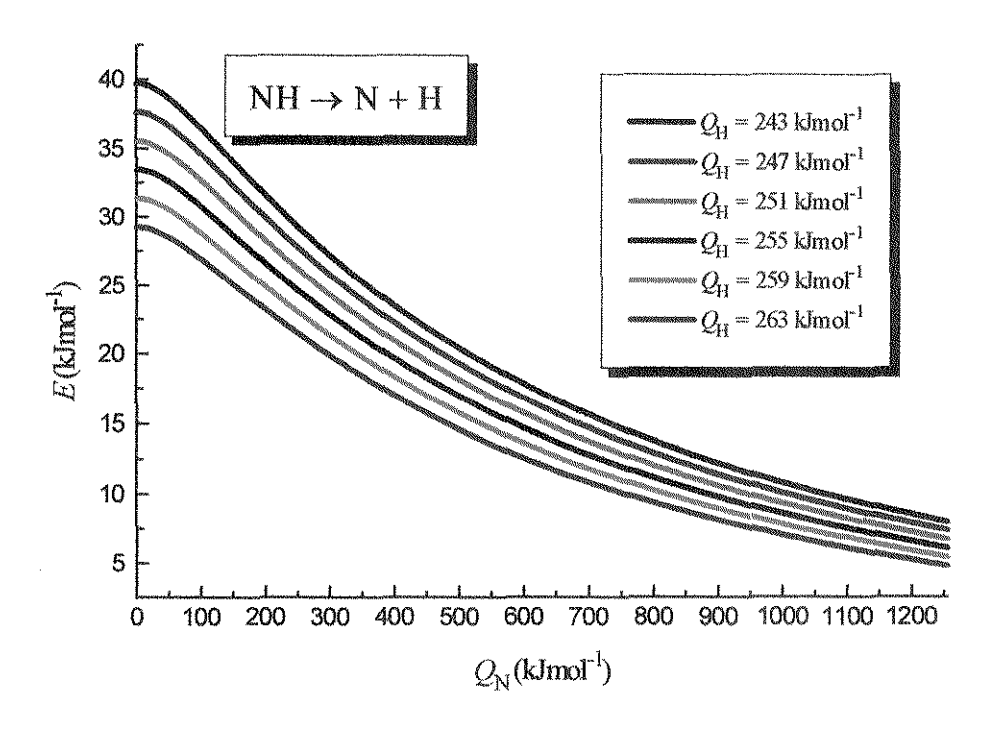


FIGURA 5.6 - Influência do $Q_{\rm H}$ sobre a etapa: NH $\,\rightarrow$ N + H

TABELA 5.11 - Faixa para os mínimos de energia da etapa: $NH \rightarrow N + H$

Q_{H}	mínimo de E	$\partial (-E/RT)/\partial Q_{\rm N}$
243	$Q_{\rm N} \ge 2897,7$	Abadia
247	$Q_{\rm N} \ge 2772,1$	
251	$Q_{\rm N} \ge 2644,3$	Akadedie /
255	$Q_{\rm N} \ge 2514,4$	Associations
259	$Q_{\rm N} \ge 2382,4$	- Americanista
263	$Q_{\rm N} \ge 2248,1$	AND THE RESIDENCE OF THE SECOND SECON

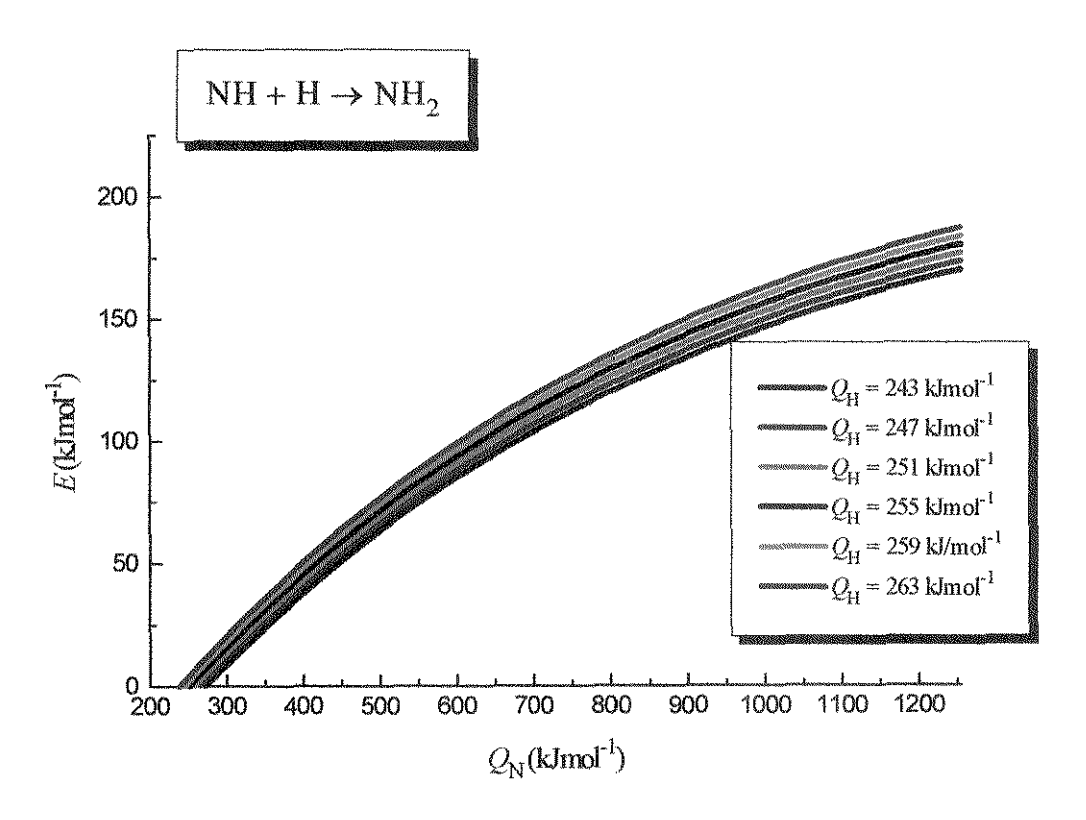


FIGURA 5.7 - Influência do $Q_{\rm H}$ sobre a etapa: NH + H \rightarrow NH₂

TABELA 5.12 - Faixa para os mínimos de energia da etapa: $NH + H \rightarrow NH_2$

Q_{H}	mínimo de E	∂ (-E/RT)/∂ Q _N
243	$0 \le Q_{\rm N} \le 186,9$	Washington
247	$0 \le Q_{\rm N} \le 183,3$	*11 M Topic *12
251	$0 \le Q_{\rm N} \le 179,7$	APPROXIMA.
255	$0 \le Q_{\rm N} \le 176,1$	- majoratory,
259	$0 \le Q_{\rm N} \le 172,5$	ay to keen ay yest
263	$0 \le Q_{\rm N} \le 168,9$	erenten er
Média	$0 \le Q_{\rm N} \le 178.0$	ENTER ERROCKER ERROCHTSCHOOLSTAN GEBRUIKSCHOOLSTAN GEBRUIK

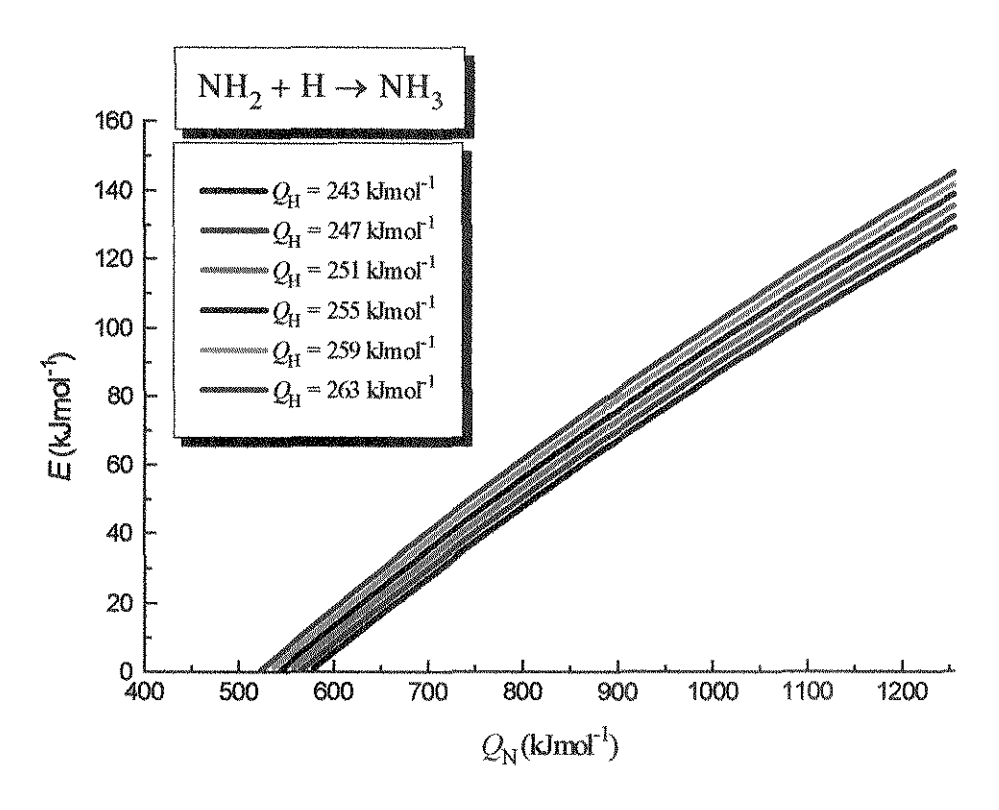


FIGURA 5.8 - Influência do $Q_{\rm H}$ sobre a etapa: NH₂ + H \rightarrow NH₃

TABELA 5.13 - Faixa para os mínimos de energia da etapa: NH₂ + H → NH₃

	mínimo de E	$\partial (-E/RT)/\partial O_{NI}$
<u> </u>		was a second and the
243	$0 \le Q_{\rm N} \le 574,5$	4419,6
247	$0 \le Q_{\rm N} \le 563,3$	4421,4
251	$0 \le Q_{\rm N} \le 552,4$	4423,3
255	$0 \le Q_{\rm N} \le 541,6$	4425,2
259	$0 \le Q_{\rm N} \le 531,1$	4427,1
263	$0 \le Q_{\rm N} \le 520,7$	4429,1
Média	$0 \le Q_{\rm N} \le 574,3$	

Um tratamento diferente é dado a reação de recombinação do hidrogênio, cujas equações são descritas no capítulo otimização do processo, gerando-se para esse caso a seguinte Figura:

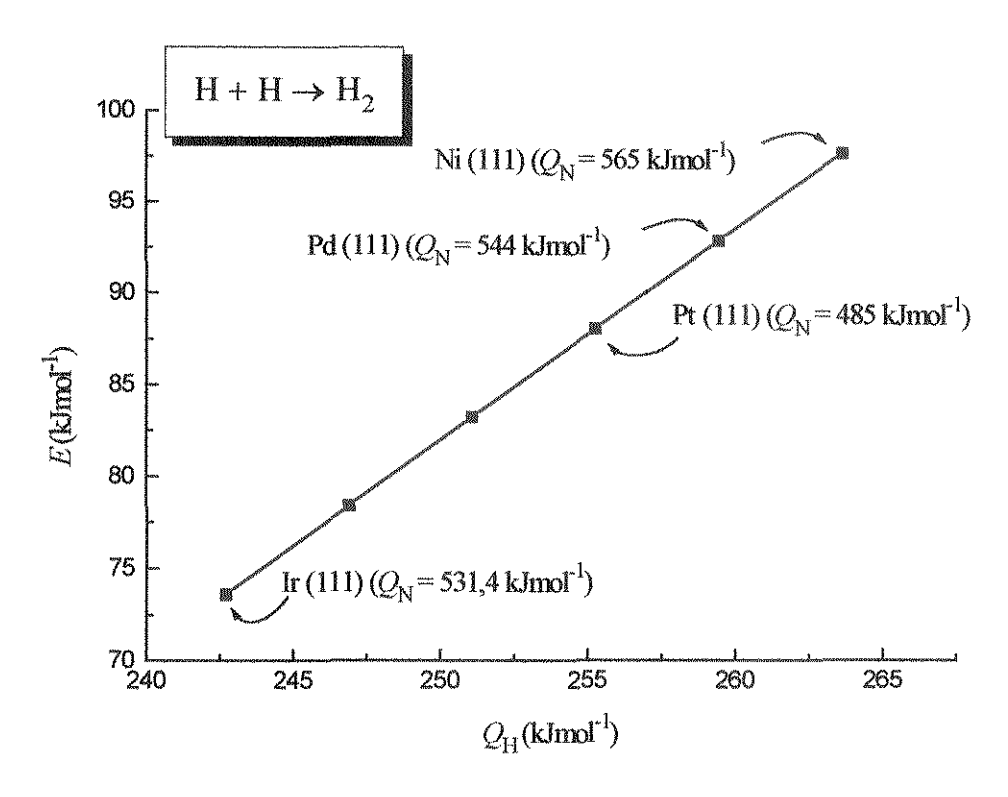


FIGURA 5.9 - Variação da energia para a etapa de recombinação de hidrogênio como função da entalpia de quimissorção metal-hidrogênio.

TABELA 5.14 - Faixa de $Q_{\rm H}$ que apresenta os mínimos de energia da etapa: ${\rm H} + {\rm H} \rightarrow {\rm H}_2$

mínimo de E	$\partial (-E/RT)/\partial Q_N$
$0 \le Q_N \le 179,6$	TO STREET OUT THE STREET OF TH

5.2.1 Conclusões parciais

Após apresentação destes resultados é possível realizar as seguintes avaliações:

— Elevados valores de Q_N resultam em reações em que há a quebra da ligação N-N com baixa energia de ativação. Essa afirmação concorda com o trabalho de ALBERAS et al. (1992), onde o favorecimento à ruptura da ligação N-N está relacionada ao aumento da força de ligação N-metal.

— Para o caso das reações em que o hidrogênio encontra-se adsorvido, verifica-se que para as reações de dissociação um acréscimo no valor de $Q_{\rm H}$ resulta em um decréscimo no valor da energia de ativação. Enquanto que, para as reações de recombinação, um acréscimo na entalpia de quimissorção metal-hidrogênio leva a um acréscimo da energia de ativação. No entanto, o comportamento da variação de E com $Q_{\rm N}$ parece não obedecer a nenhum critério. De forma que, para poder justificar esses comportamentos precisamos avaliar as equações de energia de ativação.

5.3 Análise da variação de E com Q_N .

Considerando-se o caso da reação química na superficie sólida, $AB_{(s)} \rightarrow A_{(s)} + B_{(s)}$ a equação da energia é dada por:

$$E = \frac{1}{2} \left(D_{Re} + Q_{AB} + \frac{Q_{A}Q_{B}}{Q_{A} + Q_{B}} - (Q_{A} + Q_{B}) \right)$$
 (109)

e agrupando-se os dois últimos termos da equação, encontra-se:

$$E = \frac{1}{2} \left(D_{Re} + Q_{AB} - \frac{Q_A^2 + Q_A Q_B + Q_B^2}{Q_A + Q_B} \right)$$
 (110)

Se,

$$f = \frac{Q_{A}^{2} + Q_{A}Q_{B} + Q_{B}^{2}}{Q_{A} + Q_{B}} : f < Q_{A} + Q_{B}$$
 (111)

a expressão da energia pode ser aproximada a:

$$E = \frac{1}{2} (D_{Re} + Q_{AB} - (Q_A + Q_B))$$
 (112)

Com essa expressão é possível justificar o comportamento das curvas de energia. Como Q_A , Q_B , Q_{AB} são sempre maiores que zero, é necessário avaliar a influência de cada termo na expressão (112) e como eles variam com Q_N . Por exemplo, para o caso da reação $N_2H_3 \rightarrow NH + NH_2$ sabemos que os intermediários N_2H_3 e NH_2 possuem uma força de adsorção intermediária, enquanto que o NH adsorve fortemente. A expressão (112) poderia ser escrita da seguinte forma:

$$E = \frac{1}{2} \left(D_{\text{Re}} + Q_{\text{INTERMEDIARIA}} - \left(Q_{\text{INTERMEDIARIA}} + Q_{\text{FORTE}} \right) \right)$$
 (113)

As forças intermediárias se anulariam, pois possuem a mesma ordem de grandeza, e a equação sofreria sempre uma influência negativa do termo relativo à quimissorção forte. Um acréscimo no valor de $Q_{\rm N}$ leva a um incremento nos valores das entalpias de adsorção fraca, forte e intermediária. Mesmo que a proporção não seja a mesma, em valores absolutos, o crescimento da entalpia forte será sempre maior que a intermediária que por sua vez, será maior que a fraca. De forma que, com o aumento de $Q_{\rm N}$ haverá um acréscimo no valor de $Q_{\rm FORTE}$ gerando uma redução na energia. Pode-se, então, afirmar que a medida que $Q_{\rm N}$ cresce haverá um decréscimo no valor da energia para o exemplo acima. De maneira análoga, verifica-se o comportamento para todas as outras reações.

TABELA 5.15 - Avaliação do comportamento de E com Q_N .

Reação / classificação da adsorção				Energia	
N_2H_3	\rightarrow	NH	+	NH_2	
intermed		forte		intermed	decresce
N_2H_3		HN=NH	-4	H	
intermed		fraco bid		constante	cresce
HN=NH	 →	NH	+	NH	
fraco bid		forte		forte	decresce
HN=NH	\rightarrow	N_2H	+	H	
fraco bid		intermed		constante	decresce
N ₂ H	\rightarrow	NH	+	N	
intermed		forte		forte	decresce
N ₂ H	→	N ₂	+	Н	
intermed		fraco bid		constante	decresce
NH	\rightarrow	N	+	H	
forte		forte		constante	decresce

Para as reações em que o reagente encontra-se no estado não adsorvido, o termo de Q_{AB} , na equação (112) recebe sinal negativo, de forma que sempre haverá um decréscimo da energia.

TABELA 5.16 - Avaliação do comportamento de E com Q_N para o caso em que o reagente encontra-se no estado não quimissorvido.

Reação / classificação da adsorção				Energia	
N_2H_4	→	NH ₂	+	NH ₂	
fraco bid		intermed		intermed	decresce
N ₂ H ₄	>	N_2H_3	+	F-I	
fraco bid		intermed		constante	decresce

Para o caso das reações de recombinação, do tipo $A + B \rightarrow AB$, a expressão da energia é dada por:

$$E = \frac{1}{2} \left(D_{Re} - Q_{AB} + \frac{Q_A Q_B}{Q_A + Q_B} - (Q_A + Q_B) \right) + Q_A + Q_B - D_{Re}$$
 (114)

e reagrupando-se os termos de maneira similar ao caso anterior, chega-se a:

$$E = \frac{1}{2} \left(-D_{Re} - Q_{AB} + Q_A + Q_B \right)$$
 (115)

TABELA 5.17 - Avaliação do comportamento de E com Q_N para as reações de recombinação

Reação / classificação da adsorção					Energia
NH	+	Н	\rightarrow	NH_2	
forte		constante		intermed	cresce
NH ₂	+	Н	→	NH ₃	
intermed		constante		fraco	cresce

5.3.1 - Conclusões parciais

É possível concluir que:

- Para as reações de dissociação, com o reagente adsorvido
- Se um dos produtos possui calor de adsorção com a mesma ordem de grandeza que o reagente, a energia sempre decrescerá. Ex.: N₂H₃ → NH + NH₂
- Quando os produtos apresentam maior calor de adsorção que o reagente a energia de ativação também sofrerá um decréscimo, e esse decréscimo será tão acentuado, quanto maior for essa diferença entre o calor de adsorção de produtos e reagentes.
 Principalmente se levarmos em consideração que a contribuição dos calores de adsorção dos produtos são somados.
- Se o reagente apresenta um calor de adsorção maior que os produtos, haverá um acréscimo na energia de ativação.
- Nos casos onde o hidrogênio participa da reação sua influência é pequena pois praticamente não varia com Q_N .
- Já quando o nitrogênio participa da reação a influência é bastante grande, sendo seu calor de adsorção maior que a entalpia de adsorção forte.
- Para as reações de dissociação, com o reagente não adsorvido, a energia sempre decrescerá com o aumento de Q_N .

Com esta análise, realizada até o momento, é possível avaliar se a troca de um catalisador favorecerá a uma determinada etapa, pois saberemos se a energia de ativação diminuirá. No entanto, a maneira como as avaliações foram realizadas até agora, não nos permite conclusões mais detalhadas a respeito dos caminhos que devem ser seguidos, no caso da substituição de um catalisador por um outro com uma entalpia de adsorção metal-nitrogênio diferente. Para tal, faremos uma avaliação de cada caminho possível, para cada uma das espécies. Só dessa maneira, poderemos avaliar em que situação, ou situações, as etapas ocorrem de maneira preferencial e dessa forma traçar a cinética da reação.

5.4 - Avaliação cinética das etapas

Como primeira etapa, no processo de decomposição, a dissociação do N₂H₄ pode ocorrer segundo duas etapas:

$$N_2H_{4 (g)} \rightarrow N_2H_3 + H (116)$$

 $N_2H_{4 (g)} \rightarrow NH_2 + NH_2 (117)$

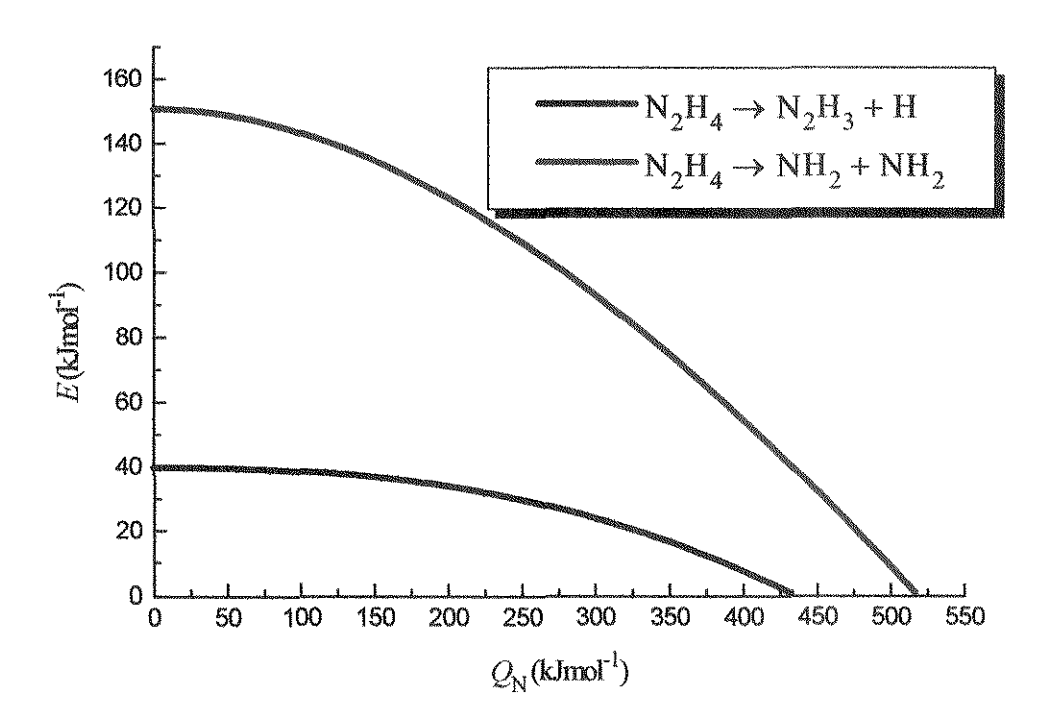


FIGURA 5.10 - Etapas de dissociação da hidrazina com $Q_{\rm H}$ igual a 243 kJmol⁻¹.

A Figura 5.10 mostra que as etapas de dissociação exibem uma grande diferença de energia para catalisadores que possuem uma entalpia de quimissorção metal-nitrogênio (Q_N) até um valor em torno de 518,6 kJmol⁻¹ (conforme Tabela 5.2). Assim os catalisadores que apresentam uma entalpia de quimissorção (Q_N) até esse valor terão como etapa preferencial a reação (116). Os metais em que Q_N é maior que 518,6 kJmol⁻¹ não possuirão preferência por nenhuma das duas etapas citadas, havendo dessa forma uma concorrência entre elas.

Vale ressaltar que quando há a possibilidade de uma etapa cujos produtos são NH₂ e NH, como a etapa (117), um dos produtos encontrados na decomposição da hidrazina será a amônia, pois, segundo a literatura, o intermediário NH₂ é hidrogenado segundo a reação:

$$NH_2 + H \rightarrow NH_3$$
 (118)

É o que ocorre com o irídio (111), por exemplo, para o qual Q_N é igual a 531,4 kJmol⁻¹, que apresenta uma seletividade similar entre as reações (1) e (2).

$$N_2H_4 \rightarrow N_2 + 2H_2(1)$$

$$3N_2H_4 \rightarrow N_2 + 4NH_3(2)$$

Por outro lado a decomposição da hidrazina sobre catalisadores de Pt, com Q_N igual a 485 kJmol⁻¹, forma essencialmente os produtos da reação (1). No entanto não se pode afirmar que todos os catalisadores com Q_N inferior a 518,6 kJmol⁻¹ apresentem unicamente H_2 e N_2 como produtos. É necessário analisar-se o comportamento da dissociação do N_2H_3 que constitui o produto formado na etapa preferencial nestes catalisadores.

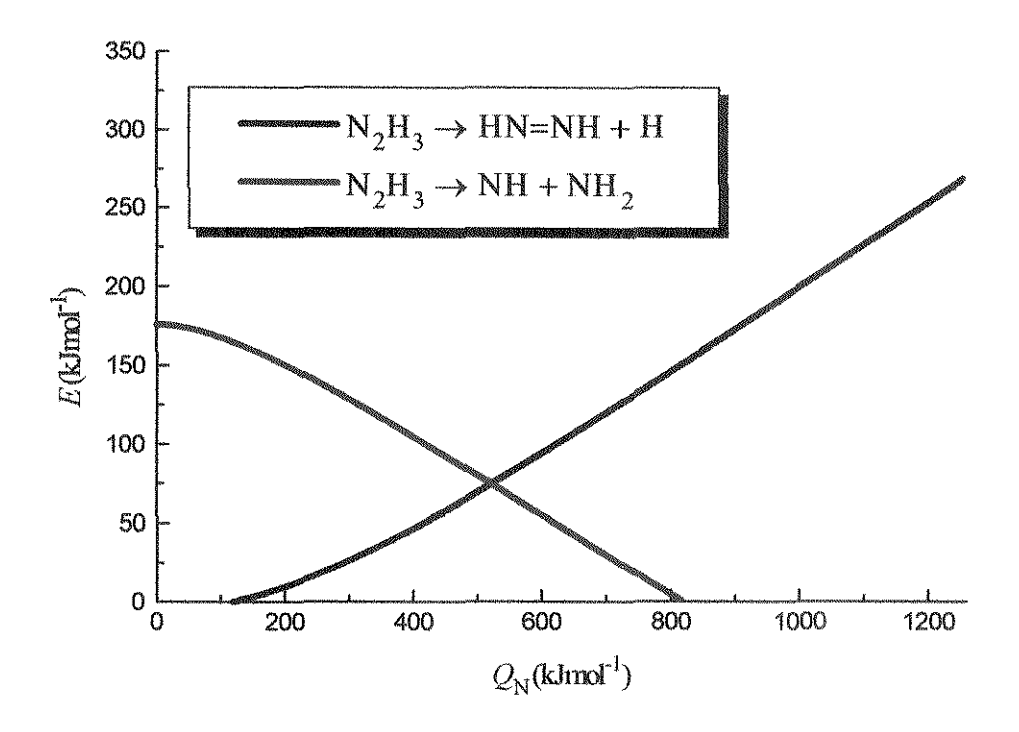


FIGURA 5.11 - Etapas para a dissociação do N₂H₃ com Q_H igual a 243 kJmol⁻¹.

Analisando-se os caminhos possíveis para a dissociação do intermediário, N_2H_3 , formado na reação (116), verifica-se a existência de um ponto de interseção onde há a mudança da etapa preferencial (Figura 5.11). A Tabela 5.18 exibe a variação desse ponto para os diferentes valores de Q_H .

TABELA 5.18 - Valores de Q_N (kJmol⁻¹) onde ocorre interseção entre as etapas de dissociação do N_2H_3 .

TATALOG PARTICIPATION OF THE PARTY OF THE PA	AND SECOND PROPERTY OF THE PRO
Q_{H}	$Q_{ m N}$
243	521,1
247	525,2
251	529,3
255	533,3
259	537,4
263	541,4
Média	531,3
and the state of t	COMPANY CONTROL CONTRO

A etapa preferencial para catalisadores com Q_N superior a esses valores é a dissociação em NH₂ e NH. Já para o caso dos catalisadores com Q_N inferior a 531,3 kJmol⁻¹, a etapa de desidrogenação do N₂H₃ torna-se preferencial.

Associando-se esses resultados com os obtidos para a dissociação da hidrazina verificase que os catalisadores com Q_N inferior a 518,6 kJmol⁻¹ exibem como etapas
preferenciais as desidrogenações sucessivas do N_2H_4 formando N_2H_3 e N_2H_2 . Já um
catalisador com um valor de Q_N acima de 531,3 (tomando-se esse valor como uma
média), embora apresente as duas etapas possíveis para a dissociação da hidrazina,
mostra um favorecimento a formação do NH_2 e NH para a etapa de dissociação do N_2H_3 , o que por consequência, leva a formação de amônia. Os catalisadores de Ni, por
exemplo, com Q_N igual a 565 kJmol⁻¹, mostram essa característica. Ressalta-se aqui que
esses valores citados são os valores onde ocorre a mudança da influência de uma etapa
sobre outra, em valores muito próximos a esses pode-se pensar em uma coexistência
entre as etapas possíveis e, a medida em que há um distanciamento desses valores essas
afirmações tornam-se mais evidentes. Para uma melhor ilustração será realizado uma
análise simplificada para as equações da taxa.

Considerando-se a reação (a) como sendo a dissociação em N_2H_3 em N_2H_2 e H e a reação (b) como a dissociação em NH e NH₂. A equação da taxa para ambas as reações será uma função do tipo:

$$v = k \exp(-E/RT) [N_2H_3]$$
 (119)

Sendo: v_a a taxa para a reação (a) com energia de ativação E_a . v_b a taxa para a reação (b) com energia de ativação E_b .

Para que a taxa da reação (b) seja cerca de 10 vezes maior que a taxa da reação (a), tomando-se a constante dos gases como sendo $8,314 \text{ Jmol}^{-1}\text{K}^{-1}$ e a temperatura igual a 300 K, a diferença entre as energias de ativação entre as etapas (a) e (b) deve ser de $5,7 \text{ kJmol}^{-1}$, o que é atingido, para a Figura 5.11, à um Q_N em torno de 565 kJmol^{-1} .

Dando-se continuidade a avaliação das outras etapas poder-se-a fazer afirmações mais concretas.

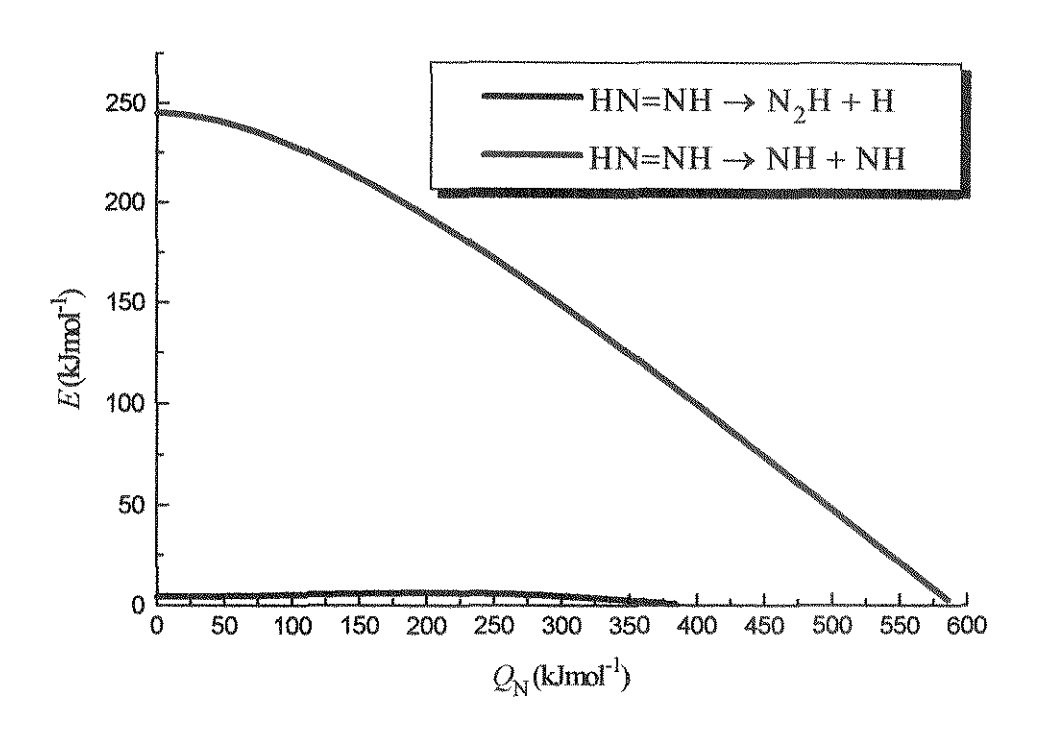


FIGURA 5.12 - Dissociação do HN=NH com $Q_{\rm H}$ igual a 243 kJmol⁻¹.

As etapas de dissociação do HN=NH assemelham-se com a etapa da dissociação da hidrazina, onde a etapa preferencial será a desidrogenação até um valor de $Q_{\rm N}$ próximo a 590,8 kJmol⁻¹ (conforme Tabela 5.4). Acima desse valor as duas etapas são concorrentes. A medida em que há um aumento no valor de $Q_{\rm H}$ a curva de dissociação em N_2H e H é deslocada para baixo (ver Figura 5.4) tornando a diferença entre as energias das duas etapas ainda maior.

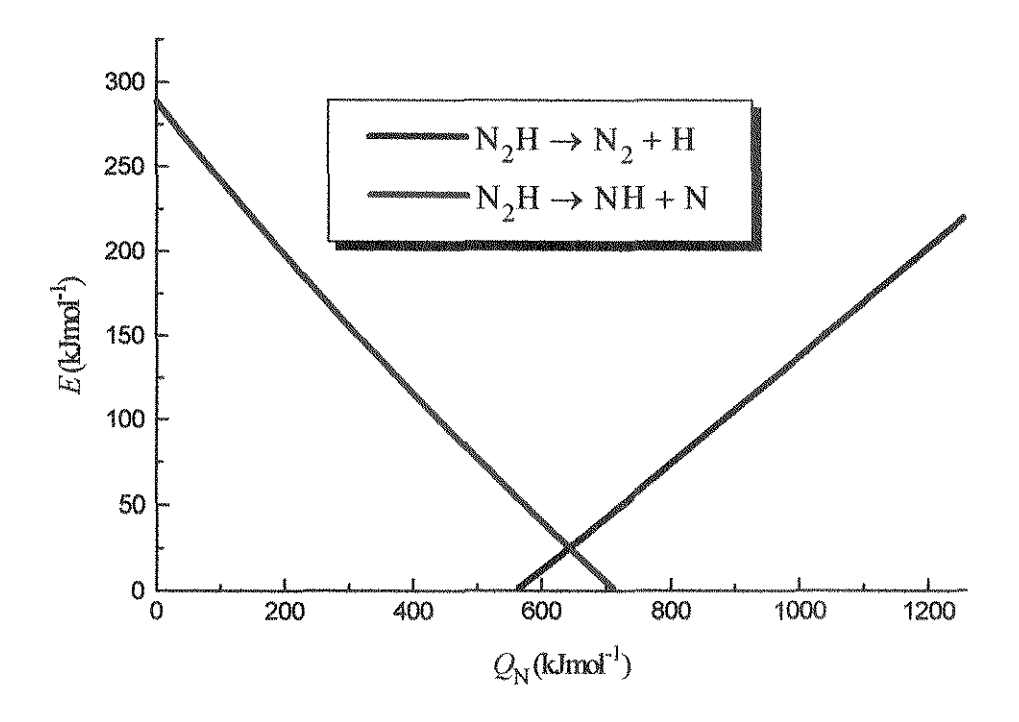


FIGURA 5.13 - Dissociação do N₂H com Q_H igual a 243 kJmol⁻¹.

Finalizando as etapas de dissociação estuda-se o caso do N₂H onde também ocorre uma interseção (Tabela 5.19).

TABELA 5.19 - Valores de $Q_{\rm N}$ (kJmol $^{-1}$) onde ocorre interseção entre as etapas de dissociação do ${\rm N}_2{\rm H}$.

opposite the same of the same	
$Q_{ m H}$	$Q_{\rm N}$
243	642,8
247	645,8
251	648,8
255	651,8
259	654,8
263	657,9
Média	650,3

Catalisadores com entalpia de quimissorção inferior a um valor médio de 650,3 kJmol⁻¹ apresentam como etapa preferencial a seguinte reação:

$$N_2H \rightarrow N_2 + H$$
 (120)

Acima desse valor ocorre a mudança da etapa preferencial para a etapa:

$$N_2H \rightarrow NH + N$$
 (121)

5.4.1 - Conclusões parciais

É necessário nesse momento, uma avaliação conclusiva para dar-se sequência ao processo de análise dos resultados. O agrupamento das avaliações, realizadas até agora, (Figura 5.14) mostra que para os catalisadores que possuem uma entalpia de quimissorção inferior a 518,6 kJmol⁻¹ as etapas de desidrogenação são favorecidas em relação as outras, gerando-se assim um caminho preferencial, que foi denominado rota 1 (Tabela 5.20), cujo somatório das etapas corresponde a reação (1). Essa afirmação confirma o que havia sido exposto após a etapa de dissociação da hidrazina, mostrando que os catalisadores que possuem uma entalpia de quimissorção metal-nitrogênio inferior a 518,6 kJmol⁻¹ apresentam unicamente a formação de H₂ e N₂ conforme a reação (1).

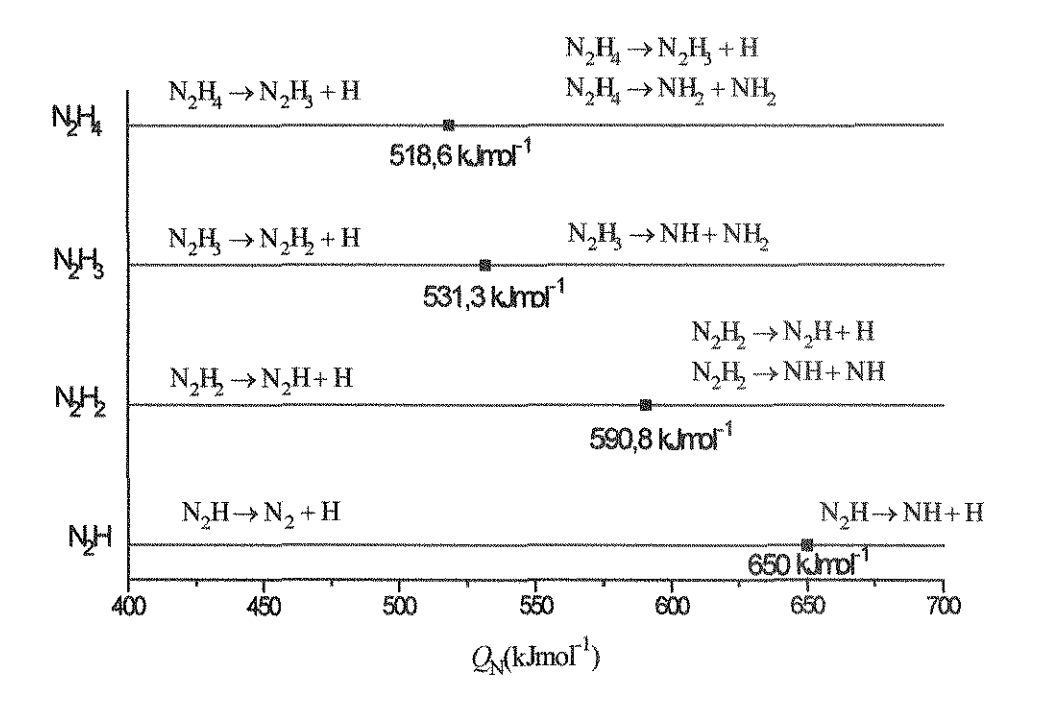


FIGURA 5.14 - Avaliação geral

TABELA 5.20 - Rota 1 cujos produtos formados são H₂ e N₂

$$\begin{array}{cccc} N_2H_4 & \rightarrow & N_2H_3 + H \\ N_2H_3 & \rightarrow & HN=NH+H \\ HN=NH & \rightarrow & N_2H+H \\ N_2H & \rightarrow & N_2+H \\ H+H & \rightarrow & H_2 \\ \hline N_2H_4 & \rightarrow & N_2+H_2 \end{array}$$

Para catalisadores com Q_N acima de 531,3 kJmol⁻¹ haverá um favorecimento a formação de amônia. Essa afirmação justifica-se pelo fato que embora a etapa de dissociação da hidrazina não apresenta preferência de formação entre as duas etapas, a etapa de dissociação do N_2H_3 produz essencialmente NH_2 e NH. A Tabela abaixo mostra as etapas possíveis para esses catalisadores, gerando-se assim uma nova rota.

TABELA 5.21 - Rota 2, formação de amônia

$$\begin{array}{ccc} N_2H_4 & \rightarrow & N_2H_3 + H \\ N_2H_4 & \rightarrow & NH_2 + NH \\ N_2H_3 & \rightarrow & NH_2 + NH \end{array}$$

Abaixo é mostrado a sequência de etapas para a formação da amônia,

$$\begin{array}{ccc} NH & \rightarrow & N+H \\ NH+H & \rightarrow & NH_2 \\ NH_2+H & \rightarrow & NH_3 \end{array}$$

E, para catalisadores com Q_N intermediário a 518,6 e 531,1 kJmol⁻¹, ou seja, em torno de 520 e 530 kJmol⁻¹, deve-se pensar em uma combinação de etapas para formação dos produtos fornecidos nas reações (1) e (2).

TABELA 5.22 - Rota 3, combinação das reações (1) e (2).

N ₂ H ₄	→	$N_2H_3 + H$
N_2H_4	\rightarrow	$NH_2 + NH$
N_2H_3	\rightarrow	HN=NH+H
N_2H_3	\rightarrow	$NH_2 + NH$
HN=NH	\rightarrow	$N_2H + H$
N_2H	\rightarrow	$N_2 + H$
NH	\rightarrow	N + H
NH + H	\rightarrow	NH ₂
$NH_2 + H$	\rightarrow	NH_3
H+H	>	H ₂

Outra verificação para as etapas de dissociação é que quando o reagente adsorve de maneira bidentada (molécula simétrica) não ocorre interseção entre as etapas na faixa onde as energias de ativação são diferentes de zero. Para àquelas onde há a interseção observa-se um crescimento no valor de Q_N (ponto de interseção) à medida em que a reação avança, ou seja, comparando-se o valor obtido para as etapas envolvendo a espécie N_2H_X em relação a N_2H_{X-1} .

As etapas abaixo relacionadas estão graficadas para uma melhor visualização do comportamento entre as etapas de recombinação e a etapa de decomposição de NH e NH₂ (Figura 5.15). Agrupou-se também as etapas de recombinação para a formação do H₂ e N₂ (Figura 5.16).

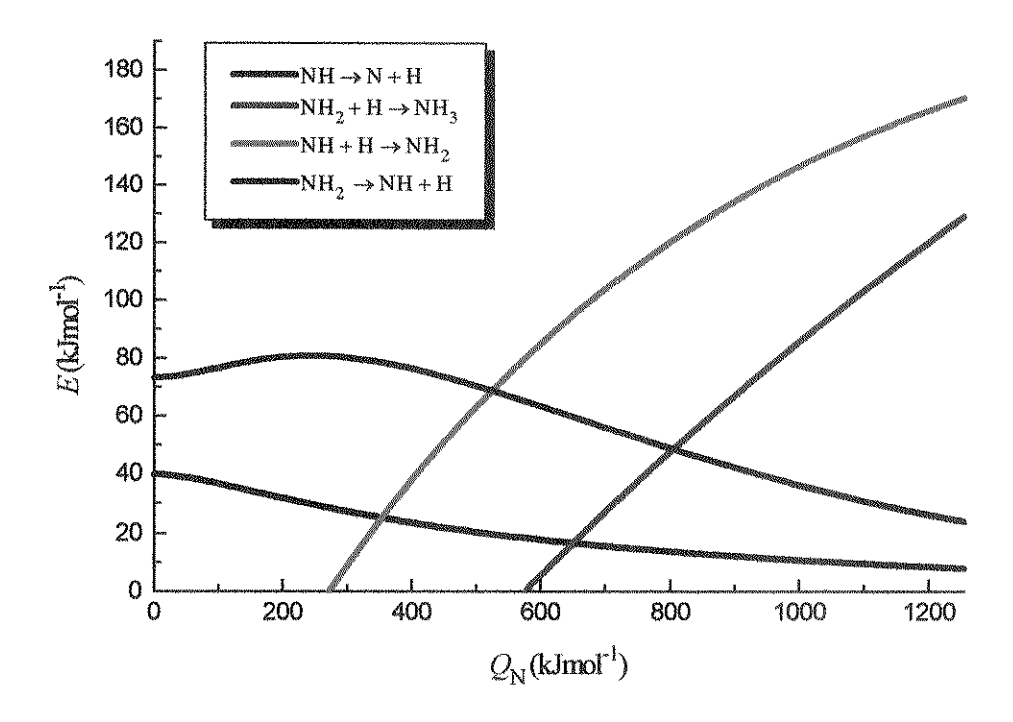


FIGURA 5.15 - Agrupamento das etapas de recombinação e a etapa de decomposição de NH com $Q_{\rm H}$ igual a 243 kJmol $^{-1}$.

Existem duas possibilidades da ocorrência da reação com o intermediário NH. A primeira seria a dissociação em N e H denominada aqui de reação (a), e a segunda seria a hidrogenação desse intermediário a NH₂ (reação b). As equações da taxa para essas duas etapas correspondem a:

$$v_a = 10^{13} \exp(-E_a/RT) \text{ [NH]}$$
 (122)

$$v_b = 10^{-2} exp(-E_b/RT) [NH][H]$$
 (123)

onde os valores 10^{13} e 10^{-2} correspondem a ordem de magnitude dos fatores préexponenciais, dados por BOUDART e DJÉGA-MARIADASSOU (1984), conforme Tabela (5.23).

TABELA 5.23 - Ordem de magnitude de fatores pré-exponenciais

Passo							Valor de A
adsorção dessorção o	ou reação unim	olec	ular				$10^4 \mathrm{cm \ s^{-1}} $ $10^{13} \mathrm{s^{-1}}$
	bimolecular			elementar	de	Lanmuir-	$10^{-2} \text{ cm}^2 \text{ s}^{-1}$

A razão entre as taxas será dada por:

$$\frac{v_b}{v_a} = 10^{-15} [\text{H}] exp \left(\frac{-1}{RT} (E_b - E_a) \right)$$
 (124)

Para um Q_N superior ao ponto de interseção entre essas etapas tem-se $E_b > E_a$. Tomando-se um ponto onde a diferença de energia esteja em torno de 25 kJmol⁻¹, com a constante dos gases igual a 8,314 kJmol⁻¹ e a temperatura de 300 K, a razão das taxas será dada por:

$$\frac{\mathbf{v_b}}{\mathbf{v_a}} = 4.436 \times 10^{-20} [H] \qquad (125)$$

Para que as taxas sejam iguais é necessário uma concentração de hidrogênio da ordem de 2,25×10¹⁹ átomos/cm², o que representa uma concentração muito alta, já que o máximo que atingi-se é 10¹⁵ átomos/cm². Dessa forma pode-se afirmar que a taxa da reação de dissociação do NH é sempre maior que a da etapa de recombinação.

Já para as etapas envolvendo NH₂, uma análise similar é realizada, onde para uma faixa de Q_N até um valor em torno de 580 kJmol⁻¹, há uma diferença de energia entre as etapas de cerca de 75 kJmol⁻¹. Considerando-se a etapa (a) como a de dissociação e a etapa (b) como a da recombinação, $E_b - E_a = -75$ kJmol⁻¹, tem-se

$$\frac{V_b}{V_a} = 1.15 \times 10^{-2} [H] \qquad (126)$$

Então para que a taxa da reação de recombinação (r_b) seja superior a taxa de dissociação (r_a) é necessário uma concentração de hidrogênio extremamente baixa, da ordem de 87 átomos/cm². Dessa forma a reação de formação da amônia (b) será favorecida nessa faixa de Q_N que inclui a maioria dos catalisadores.

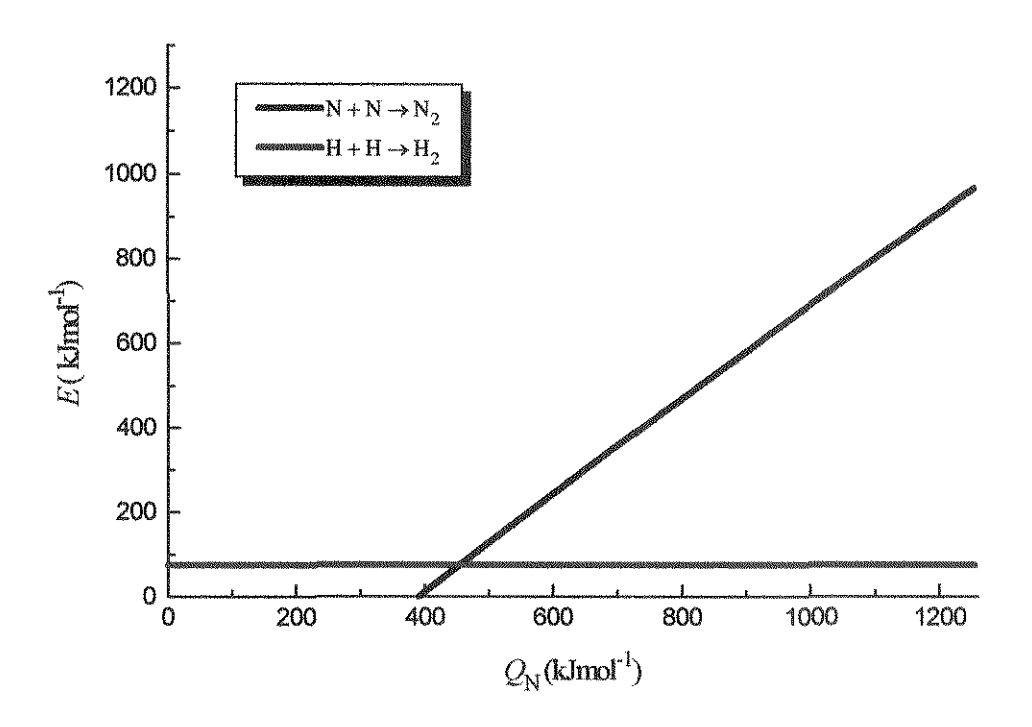


FIGURA 5.16 - Etapas de recombinação para a formação de H₂ e N₂.

Outra análise é realizada para a reação de formação do hidrogênio a partir da espécie atômica. A energia de ativação para a etapa de formação do H_2 , para um metal com Q_H igual a 243 kJmol⁻¹, encontra-se em torno de 73,6 kJmol⁻¹ e a reação reversa em torno de 23,4 kJmol⁻¹.

A razão entre as taxas será dado por:

$$\frac{v_{H+H\to H_2}}{v_{H_2\to H+H}} = 1.8 \times 10^{-15} \frac{[H]^2}{[H_2]}$$
 (127)

É possível então, utilizando uma estimativa de concentração da espécie [H], da ordem de 10¹⁵ átomos/cm², verificar-se que as taxas das reações provavelmente devem estar em equilíbrio.

5.5 - Análise das rotas

A seguir será analisado o comportamento das três possíveis rotas. De maneira a determinar-se qual a etapa determinante para cada uma das rotas, bem como qual valor ou, qual faixa de valores, de entalpia de quimissorção metal-nitrogênio fornecem os menores valores de energia, ou seja, qual o catalisador ótimo para a rota em questão.

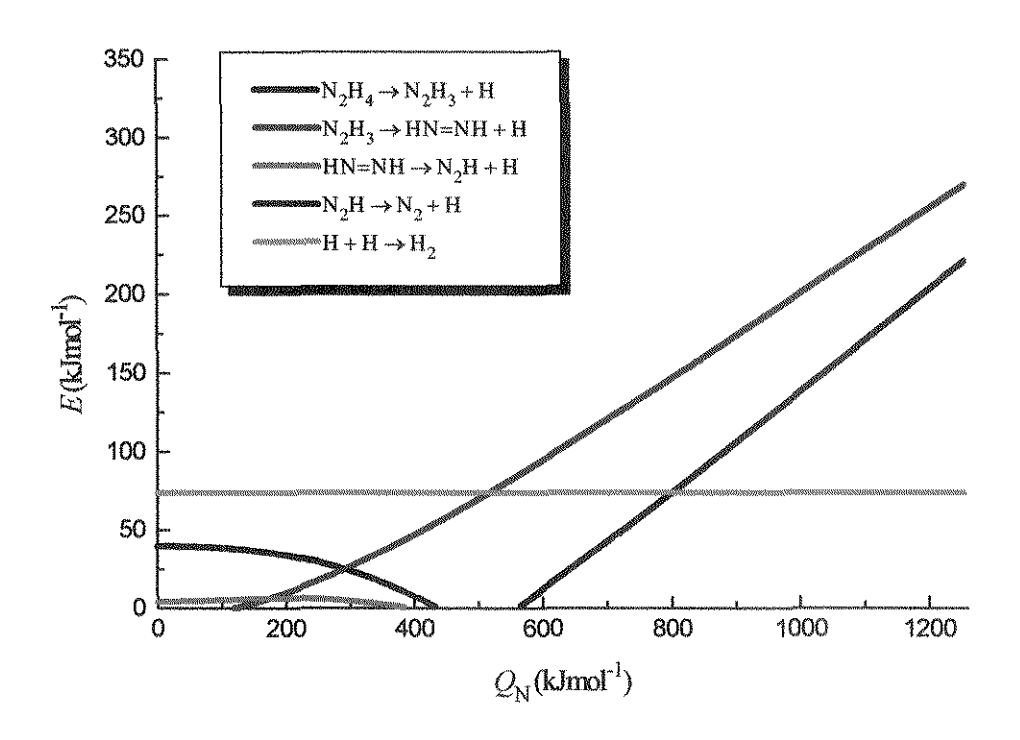


FIGURA 5.17 - Energia versus Q_N para a primeira rota de reações (Tabela 5.20) e Q_H igual a 243 kJmol⁻¹.

Como essa rota foi gerada para valores de entalpia de quimissorção metal-nitrogênio até um valor em torno de 518,6 kJmol⁻¹, a Figura será ampliada nessa faixa.

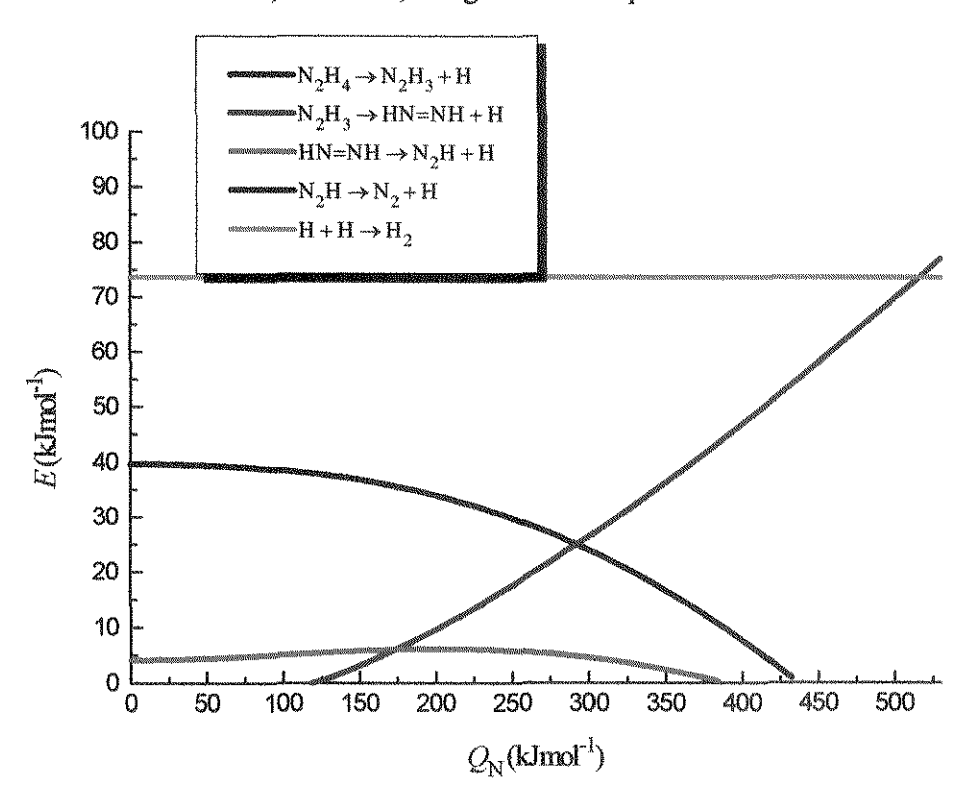


FIGURA 5.18 - Variação da energia como função de $Q_{\rm N}$ para a faixa onde ocorre preferencialmente a rota 1 (Tabela 5.20) ($Q_{\rm H}$ = 243 kJmol⁻¹).

Analisando-se apenas os valores de energia de ativação, constata-se que quando o valor da entalpia de quimissorção metal-nitrogênio (Q_N) encontra-se abaixo de um valor em torno de 293 kJmol⁻¹ (conforme Tabela 5.24) a etapa determinante deve ser:

$$N_2H_4 \rightarrow N_2H_3 + H$$
 (128)

Acima desse valor a etapa com maior energia de ativação passa a ser:

$$N_2H_3 \rightarrow HN=NH+H$$
 (129)

TABELA 5.24 - Valor da entalpia de quimissorção Q_N onde ocorre a interseção entre duas etapas.

	T. T
Q_{H}	$N_2H_4 \rightarrow N_2H_3 + H$
	$N_2H_3 \rightarrow N_2H_2 + H$
243	292,4
247	292,7
251	292,9
255	293,2
259	293,4
263	293,7
Média	293,1

Observa-se, ainda, que os menores valores de energia são atingidos com um valor de $Q_{\rm N}$ em torno de 293 kJmol⁻¹.

Ressalta-se que a etapa de recombinação do hidrogênio, como citado anteriormente, provavelmente encontra-se em equilíbrio.

De forma similar é realizada a análise das outras rotas reacionais possíveis.

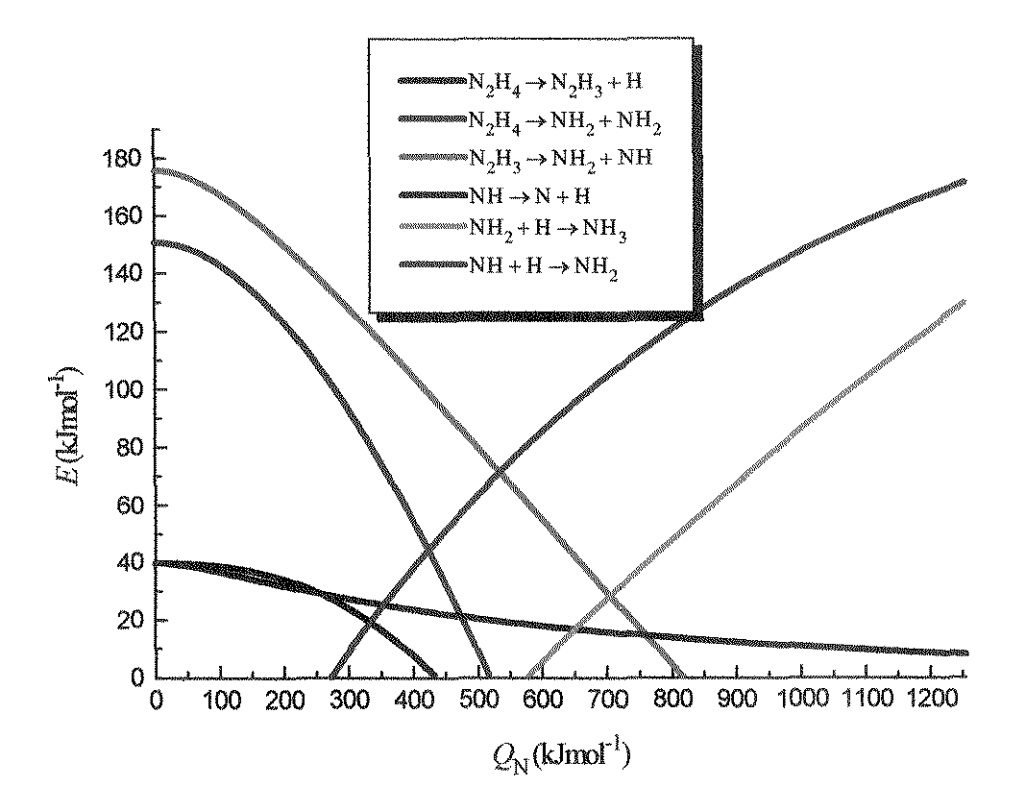


FIGURA 5.19 - Segunda rota de reações ($Q_H = 243 \text{ kJmol}^{-1}$).

Assim como na rota anterior, a faixa na qual a segunda rota ocorrerá corresponde a um valor de Q_N acima de 530 kJmol⁻¹, reescalando a Figura 5.19 chega-se a:

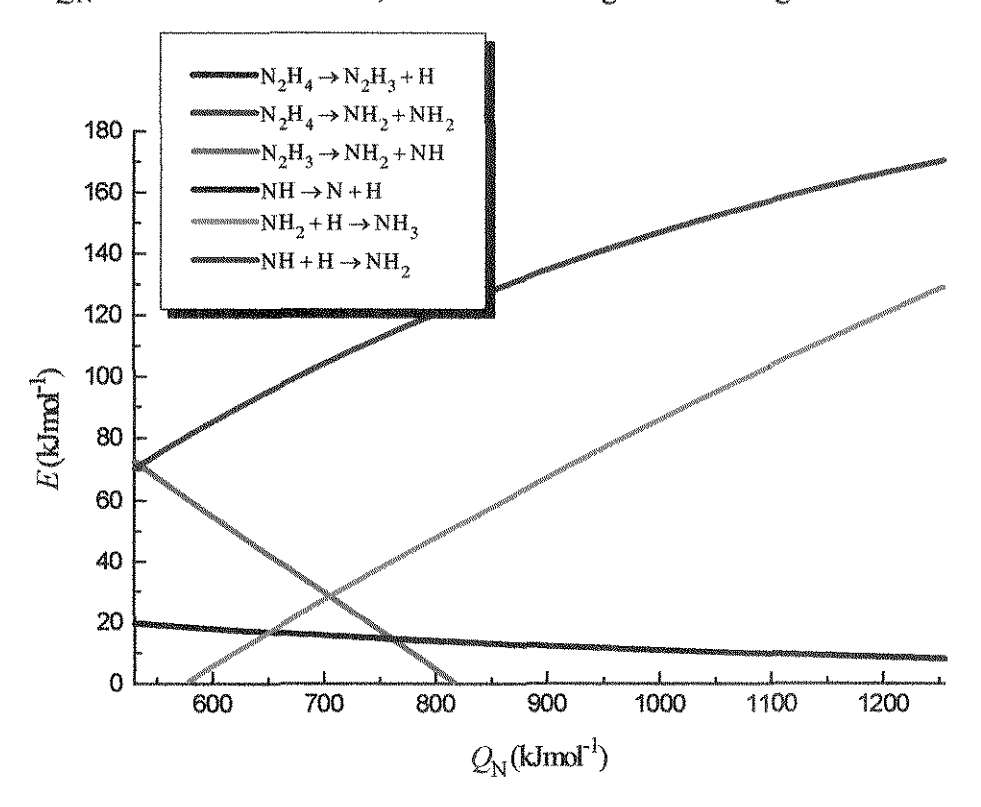


FIGURA 5.20 - Figura para a faixa correspondente a segunda rota de reações ($Q_{\rm H} = 243$ kJmol⁻¹).

Essa Figura mostra que das etapas de dissociação a que apresenta a maior energia é etapa de dissociação do N_2H_3 em NH_2 e NH até um valor em torno de 770 kJmol⁻¹, a partir desse ponto a etapa de decomposição do NH torna-se a determinante. Nota-se que a decomposição do NH possui uma baixa energia, quando comparado com as máximas energias das outras etapas e que essa etapa não apresenta um ponto onde a energia é zero na faixa em estudo. Verifica-se também, que a medida que há um crescimento no valor de Q_N ocorre uma redução na energia das etapas determinantes de forma que os catalisadores que apresentam os maiores valores de Q_N constituem os melhores catalisadores para a ocorrência dessa etapa.

TABELA 5.25 - Valores de $Q_{\rm N}$ no qual ocorre uma interseção entre as etapas determinantes.

$Q_{ m H}$	$N_2H_3 \rightarrow NH_2 + NH$
E-EXPLANACE FOR THE PARTY AND	$NH \rightarrow N + H$
243	760,6
247	764,4
251	768,2
255	772,1
259	775,9
263	779,8
Média	770,2

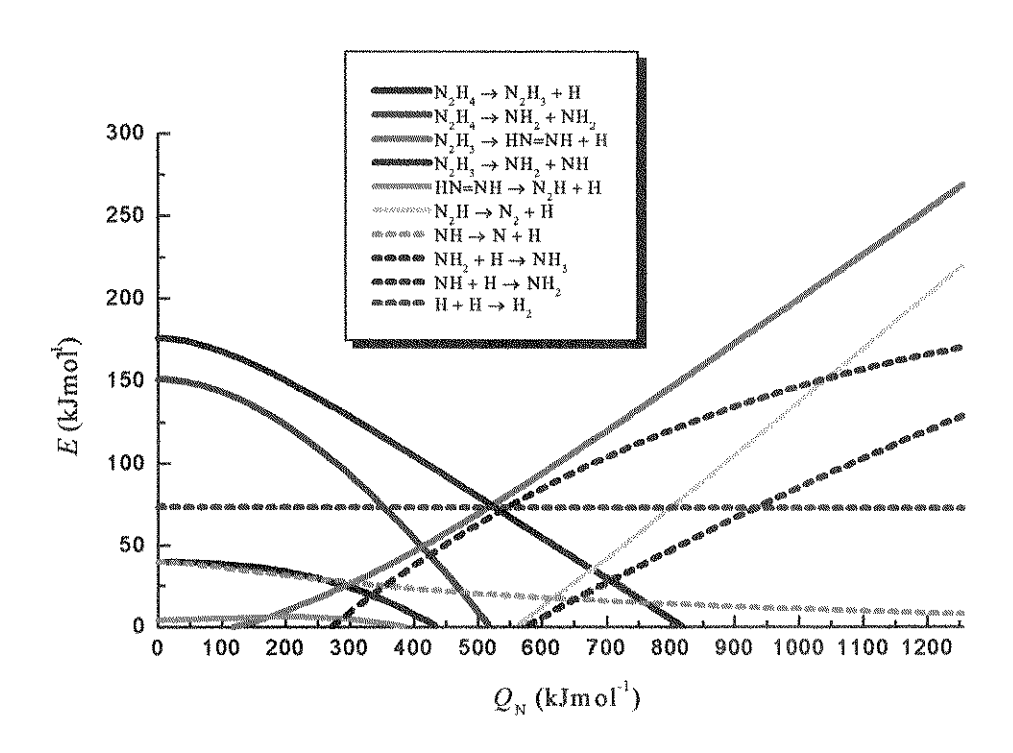


FIGURA 5.21 - Reações da terceira rota proposta ($Q_H = 243 \text{ kJmol}^{-1}$).

Ampliando-se a faixa em torno de 530 kJmol⁻¹ na Figura 5.21, que nos mostra a Rota 3, obtém-se:

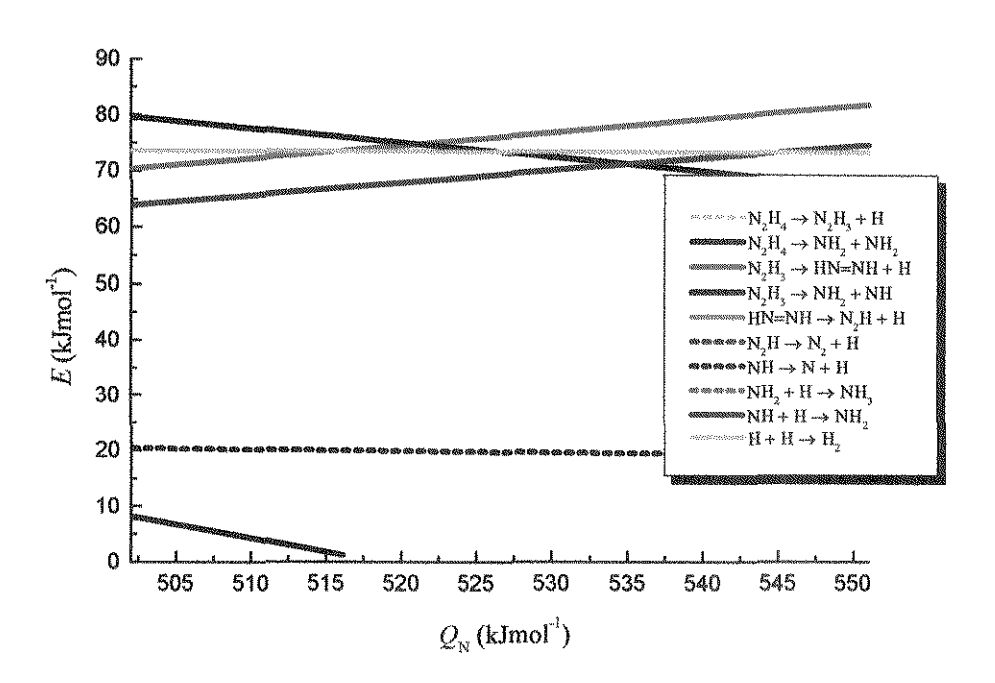


FIGURA 5.22 - Variação da energia para as etapas mostradas na rota 3 em uma faixa intermediária onde as reações (1) e (2) são concorrentes $(Q_{\rm H} = 243 \ {\rm kJmol}^{-1})$.

Como as etapas determinantes encontram-se concentradas em uma faixa para valores de energia entre 60 e 90 kJmol⁻¹ decidiu-se restringir a Figura, de forma a se visualizar melhor o que ocorre:

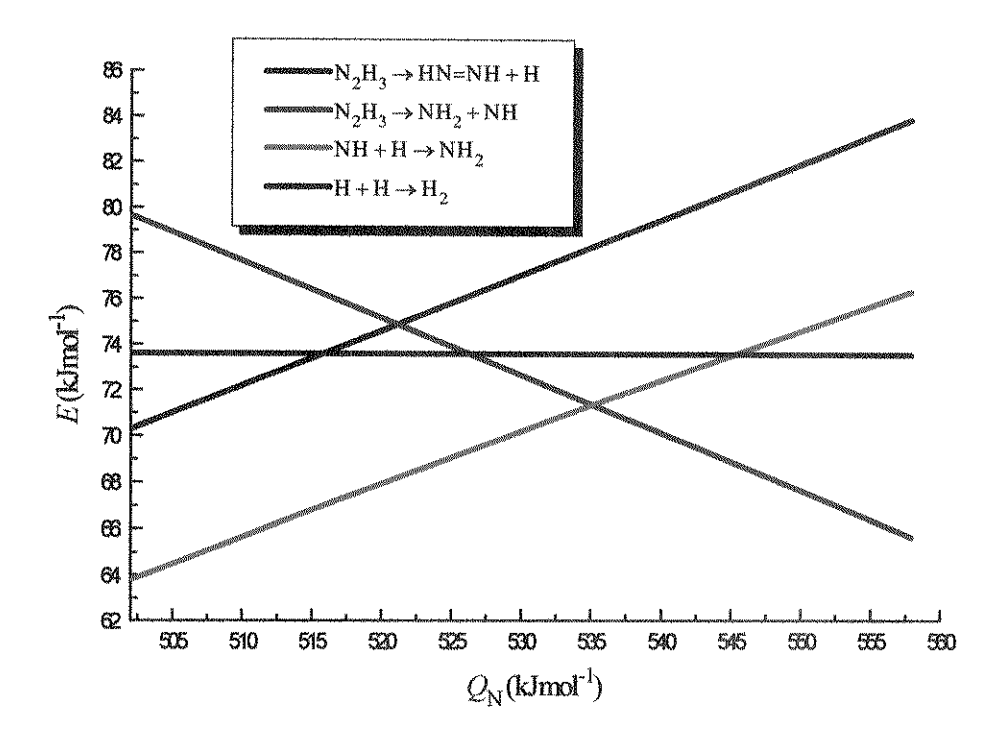


FIGURA 5.23 - Ampliação para a faixa específica das etapas determinantes da rota 3 $(Q_H = 243 \text{ kJmol}^{-1})$.

Analisando-se essa Figura, verifica-se que as etapas de dissociação do N₂H₃ constituem as etapas determinantes, o ponto de interseção entre elas encontra-se tabelado (Tabela 5.18), reproduzida abaixo. Como a energia de ativação mínima para o sistema consiste na energia na qual as etapas determinantes apresentam a menor energia de ativação possível, esse valor corresponde ao ponto de interseção das etapas determinantes que nesse caso fornece um valor médio de 531,3 kJmol⁻¹.

TABELA 5.18 - Valores de Q_N (kJmol⁻¹) onde ocorre interseção entre as etapas de dissociação do N_2H_3 .

######################################	ON THE REAL PROPERTY OF THE PARTY OF THE PAR
Q_{H}	Q_{N}
243	521,1
247	525,2
251	529,3
255	533,3
259	537,4
263	541,4
Média	531,3

Partindo-se para a análise da Figura 5.1, com o agrupamento de todas as etapas, verifica-se a existência de uma convergência em uma região em torno de 400 a 600 kJmol⁻¹. Esse ponto representa o catalisador ótimo onde as etapas exibem a mais baixa energia de ativação, essa convergência só não é percebida para a etapa de formação de N₂. Para uma melhor investigação dessa faixa a Figura 5.1 foi ampliada gerando-se a Figura 5.24.

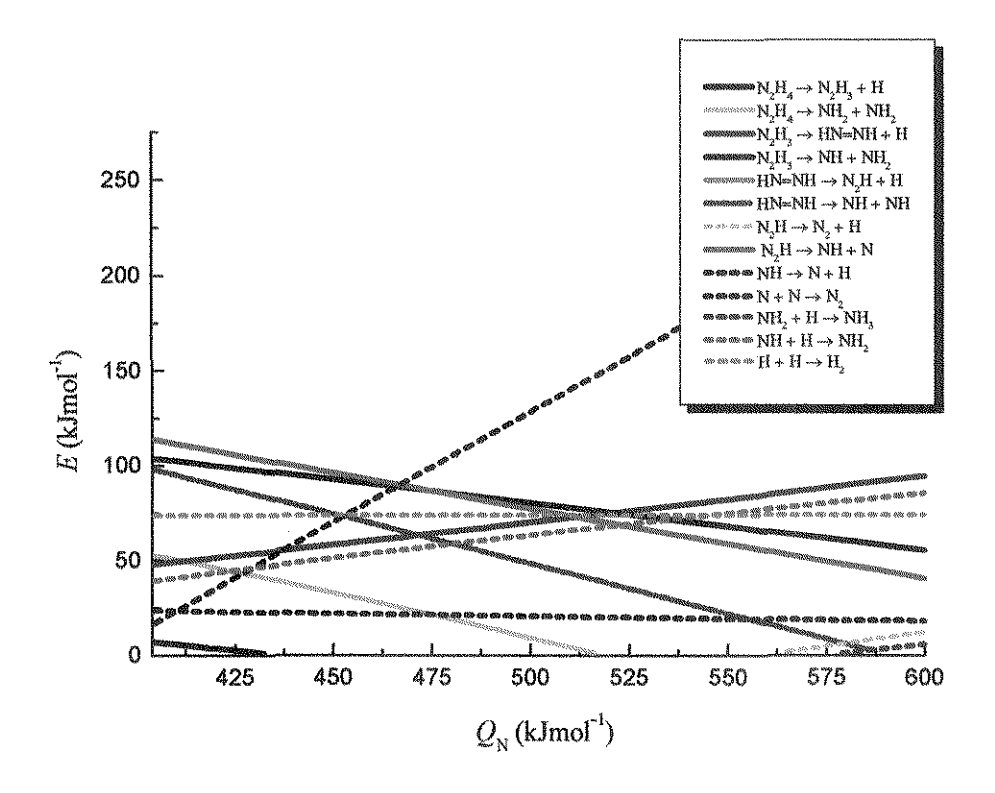


FIGURA 5.24 - Agrupamento das etapas em estudo, dentro de uma faixa de $Q_{\rm N}$ entre 400 a 600 kJmol⁻¹ ($Q_{\rm H}$ = 243 kJmol⁻¹).

Verifica-se que existem três etapas determinantes possíveis. A primeira delas é a etapa de dissociação do N₂H em NH e N, até uma entalpia de quimissorção metal-nitrogênio igual a 475,4 kJmol⁻¹, a partir desse ponto a etapa de dissociação do N₂H₃ em NH e NH₂ torna-se a etapa determinante até o ponto de interseção com a etapa de dissociação do N₂H₃ em HN=NH e H (Tabela 5.18), acima desse valor essa etapa passa a ser a etapa determinante.

Como as etapas determinantes são as etapas com maior energia de ativação, o ponto ótimo será aquele no qual essas etapas possuem os menores valores de energias. Graficamente verifica-se que a interseção das etapas de dissociação do N_2H_3 correspondem a esse ponto. Próximo a 531 kJmol⁻¹.

Capítulo 6: Conclusões Após a análise e discussão dos resultados, realizados no capítulo anterior, é permitida as seguintes conclusões:

- 1. É possível avaliar a influência do catalisador na energia de ativação de uma determinada etapa. Foi visto, que a relação de E com Q_N depende da força de adsorção dos compostos participantes da etapa.
- 2. Foram encontradas três faixas de entalpia de adsorção onde são encontrados uma combinação de produtos diferentes para a decomposição catalítica da hidrazina. A primeira faixa formada por catalisadores que possuem um valor de Q_N inferior a 520 kJmol⁻¹, para estes a decomposição da hidrazina produz hidrogênio e nitrogênio, conforme a reação (1).

$$N_2H_4 \rightarrow N_2 + 2H_2$$
 (1)

A sequência de etapas elementares desta rota constitui de desidrogenações sucessivas do N₂H₄ segundo o esquema mostrado abaixo:

$$\begin{array}{ccc} N_2H_4 & \rightarrow & N_2H_3 + H \\ N_2H_3 & \rightarrow & HN=NH+H \\ HN=NH & \rightarrow & N_2H+H \\ N_2H & \rightarrow & N_2+H \end{array}$$

Dentre essas etapas, a de dissociação da hidrazina é a determinante até um catalisador com Q_N de cerca de 293 kJmol⁻¹ (conforme Tabela 5.24), acima desse valor a etapa determinante passa a ser a dissociação do N_2H_3 . O catalisador ótimo para essa rota é o que possui uma entalpia metal-nitrogênio igual ao do ponto de interseção das etapas determinantes ou seja, em torno de 293 kJmol⁻¹.

Essas afirmações confirmam às citadas por ALBERAS *et al.* (1992) que esta esta é a reação preferencial na superfície de Pt, onde a reação ocorre por quebra da ligação de hidrogênio em preferência à quebra da ligação N–N.

O segundo grupo é constituído por catalisadores com entalpia metal-nitrogênio superior a 530 kJmol⁻¹, para estes a decomposição da hidrazina favorecerá a formação da amônia, segundo a reação (2), pois, as etapas preferenciais são:

$$\begin{array}{ccc} N_2H_4 & \rightarrow & N_2H_3 + H \\ N_2H_4 & \rightarrow & NH_2 + NH \\ N_2H_3 & \rightarrow & NH_2 + NH \end{array}$$

essas etapas juntamente com as apresentadas abaixo compõe a segunda rota

$$\begin{array}{ccc} NH & \rightarrow & N+H \\ NH+H & \rightarrow & NH_2 \\ NH_2+H & \rightarrow & NH_3 \\ N+N & \rightarrow & N_2 \end{array}$$

E a formação do intermediário NH₂ leva a formação a amônia pela hidrogenação do mesmo. Para essas etapas verifica-se que quanto maior a entalpia de quimissorção metal nitrogênio mais fortemente há um favorecimento a ocorrência das etapas de formação do NH e NH₂, em função da menor energia de ativação para essas. Com relação às etapas determinantes, verifica-se a ocorrência de duas, a primeira até um valor em torno de 770 kJmol⁻¹ (Tabela 5.25) que corresponde a dissociação do N₂H₃ em NH₂ e NH e a segundo a partir desse ponto que consiste na dissociação do NH.

O terceiro grupo é formado por catalisadores com Q_N dentro da faixa intermediária formada pelas duas anteriores, ou seja, entre 520 e 530 kJmol⁻¹. Neste caso as reações (1) e (2) são concorrentes, conforme reações abaixo:

N_2H_4	\rightarrow	N_2H_3+H
N_2H_4	\rightarrow	$NH_2 + NH$
N_2H_3	→	HN=NH+H
N_2H_3	→	$NH_2 + NH$
HN=NH	>	$N_2H + H$
N_2H	\rightarrow	$N_2 + H$
NH	>	N + H
NH + H	>	NH_2
$NH_2 + H$	→	NH_3
H + H	\rightarrow	H_2
N+N	\rightarrow	N ₂

Dentre essas etapas as determinantes são as de dissociação do N_2H_3 , onde há uma mudança em um valor de Q_N em torno de 531,3 kJmol⁻¹ (conforme Tabela 5.18), esse ponto constitui-se o ponto ótimo.

A partir da Figura 5.1 é possível uma análise geral, onde encontra-se três reações determinantes, conforme comentado no capítulo anterior, cujo ponto ótimo consiste no determinado para a rota intermediária de favorecimento as reações (1) e (2).

Assim, foi possível avaliar a eficiência da metodologia BOC-MP para a avaliação cinética de reações químicas sobre catalisadores metálicos.

Como sugestão para trabalhos futuros, aconselha-se o desenvolvimento de um programa computacional que torne viável a análise de sistemas com um número muito elevado de reações possíveis.



- ALBERAS, D. J.; KISS, J.; LIU, Z. M.; E WHITE, J. M. Surface Chemistry of Hydrazine on Pt(111), Surface Science, 278, 51-61, 1992.
- BERZELIUS apud WELLER, S. W Kinetics of Heterogeneous Catalyzed Reactions. Catalysis Reviews: Science and Engineering, 34, 3, 227-280, 1992.
- BLOCK, J.; SCHULZ-EKLOFF, G. The Catalytic Decomposition of Nitrogen-15-Labeled Hydrazine on MgO-Supported Iron. *Journal of Catalysis*, 30, 327-329, 1973.
- BOUDART, M. Initial Rate Approach to the Kinetics of Heterogeneous Catalytic Reactions, *Chemical Engineering Science*, 22, 1387, 1967 apud WELLER, S. W Kinetics of Heterogeneous Catalyzed Reactions. *Catalysis Reviews: Science and Engineering*, 34, 3, 227-280, 1992.
- BOUDART, M. Kinetics of Chemical Process, Nova Jersey, Prentice-Hall, Inc., 1968.
- BOUDART, M.; DJÉGA-MARIADASSOU, G. Kinetics of Heterogeneous Catalytic Reactions, Nova Jersey, Princeton University Press, 1984.
- BOUDART, M. Kinetics-Assisted Design of Catalytic Cycles. In: HEGEDUS, L. L.; BELL, A. T.; CHEN, N. Y.; HAAG, W. O.; WEI, J.; ARIS, R.; BOUDART, M.; GATES, B. C.; SOMORJAI, G. A.; Catalyst Design: Progress and Perspectives., Nova York, John Wiley & Sons, 1987. 141-162.
- BU, Y; SHINN, D. W.; LIN, M. C. Adsorption and Thermal Decomposition of N₂H₄ and CH₃N₂H₃ on Si(111) 7x7. Surface Science, 276, 184-199, 1992.
- CARDOSO, D. *Introdução à Catalise Heterogênea*, São Carlos, Gráfica da Universidade Federal de São Carlos, 1987.

- CIOLA, R. Fundamentos de Catálise, São Paulo, Ed. Moderna, 1981.
- CONTOUR, J. P.; PANNETIER, G. Hydrazine Decomposition over a Supported Iridium Catalyst. *Journal of Catalysis*, 24, 434-445, 1972.
- COULSON, C. A. The Electronic Structure of Some Polyenes and Aromatic Molecule. VII Bonds of Fractional Order by The Molecular Orbital Method, *Proceedings of the Royal Society of London*, A169, 413-428, 1939.
- DOPHEIDE, R.; SCHRÖTER, L.; ZACHARIAS, H. Adsorption and Decomposition of Hydrazine on Pd (100), Surface Science, 257, 86-96, 1991.
- DUMESIC, J. A.; MILLIGAN, B. A.; GREPPI, L. A.; BALSE, V. R.; SARNOWSKI, K. T.; BEALL, C. E.; KATAOKA, T.; RUDD, D. F. e TREVINO, A. A. A Kinetic Modeling Approach to the Design of Catalysts: Formulation of a Catalyst Design Advisory Program Industrial & Engineering Chemistry Research., 26, 7, 1399-1407, Jul 1987 apud WELLER, S. W Kinetics of Heterogeneous Catalyzed Reactions. Catalysis Reviews: Science and Engineering, 34, 3, 227-280, 1992.
- FALCONER, J. L.; WISE, H. Temperature Programmed Desorption Spectroscopy of N₂H₄ Decomposition on Al₂O₃ Supported Ir Catalyst, *Journal of Catalysis*, 43, 220-233, 1976.
- FATU, D.; SEGAL, E. Étude Cinetique de la Decomposition de l'Hydrazine sur des Filaments de Wolfran., s.n.t.
- GEORGE A.; PAPAPOLYMEROU, P.; BOTIS, A.G.; PAPARGYRIS, A. D.; SPILIOTS, X. D.; KASIDAKIS, D. Decomposition of Hydrazine on Ir. Reaction Kinetics and Catalysis Letters., 49 (2), 339-344, 1993.

- HARCOURT, A. V. e ESSON, W. *Process. Roy. Soc.*, 14, 470, 1865 apud WELLER, S. W Kinetics of Heterogeneous Catalyzed Reactions. *Catalysis Reviews: Science and Engineering*, 34, 3, 227-280, 1992.
- HARCOURT, A. V. e ESSON, W. *Phil. Trans.*, 156, 193, 1866; 157, 117, 1867. apud WELLER, S. W Kinetics of Heterogeneous Catalyzed Reactions. *Catalysis Reviews: Science and Engineering*, 34, 3, 227-280, 1992.
- HAWLEY, G. G. *The Condensed Chemical Dictionary*., Nova York, Van Nostrand Reinhold Company, 1971.
- HINSHELWOOD, C. N. The Kinetics of Chemical Change, Oxford, 3^a Edição, 1940 apud WELLER, S. W Kinetics of Heterogeneous Catalyzed Reactions. Catalysis Reviews: Science and Engineering, 34, 3, 227-280, 1992.
- HOUGEN, O. A.; WATSON, K. M. Solid Catalysts and Reaction Rates, *Industrial* and Engineering Chemistry, 35, 529-541, 1943.
- LANGMUIR, I. The Adsorption of Gases on Plane Surfaces of Glass, Mica and Platinum. *Journal of American Chemical Society*, 40, 1361-1403, 1918 apud WELLER, S. W Kinetics of Heterogeneous Catalyzed Reactions. *Catalysis Reviews: Science and Engineering*, 34, 3, 227-280, 1992.
- LENNARD-JONES, J. E. Processes de Adsorption and Diffusion on Solid Surfaces, 333-359, 1932. s.n.t.
- KANT, A.; McMAHON, W. J. Thermal Decomposition of Nitrogen-15 Labelled Hydrazine. *Journal of Inorganic and Nuclear Chemistry*, 15, 305-309, 1960.
- KEN-ICHI AIKA, T. O.; ATSUMU, O. Hydrogenolysis of Hydrazine over Metals Journal of Catalysis, 19, 140-143, 1970.

- KHOMENKO, A. A.; APEL'BAUM, L. O. Kinetics of the Catalytic Decomposition of Hydrazine Vapor on Palladium. *Kinetics and Catalysis*, 17, 600-607, 1976.
- LECLÉRE, C.; CONTOUR, J. P. The State of Supported Iridium in a Hydrazine Decomposition Catalyst. *Journal of Catalysis*, 29, 31-39, 1973.
- LECLÉRE, C.; CONTOUR, J. P.; PANNETIER, G. Étude des Interactions se Produisant entre l'Iridium et l'Alumine dans un Catalyseur de Décomposition de l'Hidrazine. *Annales de Chimie*, 9, 221-230, 1974.
- MAUREL, R.; MENEZO, J-C; BARRAULT, J. Décomposition de L'Hydrazine sur les Métaux du Groupe VIII et du Groupe I b. *Journal de Chimie Physique*, 9, 1221-1226, 1973.
- MORRISON, R.; BOYD, R. *Química Orgânica*, 9ª Edição, Lisboa, Fundação Calouste Gulbenkian, 1990.
- MORSE, P. M Diatomic Molecules According to The Wave Mechanics. II. Vibrational Levels, *Physical Review*, 34, 57-64, 1929.
- PAULING, L. Atomic Radii and Interatomic Distances in Metals., 69, 542-553, 1946, s. n. t.
- PAULING, L. Interatomic Distances and Their Relation to the Structure of Molecules and Crystals, s. n. t.
- RHODIN, T. N.; ERTL, G. The Nature of the Surface Chemical Bond, Amsterdã, North-Holland, 1979.

- SHUSTOROVICH, E. Activation Barrier for Adsorbate Surface Diffusion, Heat of Chemisorption, and Adsorbate Registry: Theoretical Interrelations. *Journal of American Chemical Society*, 106, 6479-6481, 1984 apud WELLER, S. W Kinetics of Heterogeneous Catalyzed Reactions. *Catalysis Reviews: Science and Engineering*, 34, 3, 227-280, 1992.
- SHUSTROROVICH, E Dissociation Activation Barrier an Heat of Chemisorption: A Morse-Type Analytical Approach., *Surface Science*, 150, L115-L121, 1985.
- SHUSTROROVICH, E Heat of Molecular Chemisorption From Bond-Order-Conservation Viewpoint: Why Morse Potentials are so Efficient., *Surface Science*, 181, L205-L213, 1987.
- SHUSTOROVICH, E. Chemisorption Theory: In Search of the Elephant., Accounts of Chemical Research, 21, (5), 183-189, 1988.
- SHUSTOROVICH, E. The Bond-Order Conservation Approach to Chemisorption and Heterogeneous Catalysis: Applications and Implications. *Advances in Catalysis*, 37, 101-163, 1990 apud WELLER, S. W Kinetics of Heterogeneous Catalyzed Reactions. *Catalysis Reviews: Science and Engineering*, 34, 3, 227-280, 1992.
- SHUSTROROVICH, E Synthesis and Decomposition of Ammonia on Transition Metal Surfaces Bond-Order Conservation- Morse-Potential Analysis Surface Science, 259, L791-L796, 1991.
- SMITH, O. I.; SOLOMON, W. C. Kinetics of Hydrazine Decomposition on Iridium Surfaces, *Industrial and Engineering Chemistry*, 21, 374-378, 1982.
- SOMORJAI, G. A. Chemistry in Two Dimensions: Surfaces, Nova York, Cornell Univ. Press, 1981.

- SUTTON, G. P.; ROSS, D. M. Rocket Propulsion Elements: An Introduction to the Engineering of Rockets. 4ª Edição, Nova York, John Wiley & Sons, 1976.
- TAYLOR, H. S. Procs. Roy. Soc. London, A108, 105, 1925 apud WELLER, S. W Kinetics of Heterogeneous Catalyzed Reactions. Catalysis Reviews: Science and Engineering, 34, 3, 227-280, 1992.
- VALENÇA, G. P. Decomposição Catalítica de Hidrazina: Teoria e Experiência. *Anais do 7º Seminário Brasileiro de Catálise.*, IBP, 1, Gramado/RS, 375, 1993.
- VAN VLACK, L. H. Princípios de Ciência dos Materiais., Ed. Edgard Blücher, São Paulo, 1970.
- WELLER, S. W Kinetics of Heterogeneous Catalyzed Reactions. *Catalysis Reviews:* Science and Engineering, 34, 3, 227-280, 1992.
- WILHELMY, F. Ann. Phys., 81, 413, 499, 1850 apud WELLER, S. W Kinetics of Heterogeneous Catalyzed Reactions. Catalysis Reviews: Science and Engineering, 34, 3, 227-280, 1992.
- WOLFRAN, S. Mathematica: A system for Doing Mathematics by Computer. 2^a Edição, Nova York, Addison-Wesley Publishing Company, Inc., 1991.
- YANG, K. H. e HOUGEN, O. A. Chem. Eng. Prog., 46, 146, 1950 apud WELLER, S. W Kinetics of Heterogeneous Catalyzed Reactions. Catalysis Reviews: Science and Engineering, 34, 3, 227-280, 1992.

99

AUTHOR: Jorge Eduardo de Medeiros

TITLE: Kinetics Analysis of Catalytics Decomposition of Hydrazine: Search for an

Optimum Catalyzer.

SUPERVISOR: Dr. Gustavo Paim Valença

ABSTRACT

This work presents a theoretical methodology based on the "bond order conservation

and an Morse potentials" to obtain an optimum catalyst, as developed by Evegeny

Shustorovich (1984). The method predicts the enthalpy of adsorption of molecules an

solid surfaces as well as the activation energy for elementary catalytic steps of

dissociation or recombination. The results obtained by the method present a good

correlation when compared to experimental results. The results presented here allow the

study of the reaction kinetics through the choice of an appropriate determining step and

consequently the choice for an optimum catalyst.

The method was used to investigate the catalytic decomposition of hydrazine, a reaction

used in satellite attitude control. However, the methodology used has a wide scope and

may be used for any catalytic reaction. In particular, in the search for an optimum

catalyst it is necessary to understand the steps of decomposition through the formation

of reversibly adsorbed compounds. The search for an optimum catalysts may represent

savings to the system as the catalyst used in the hydrazine is a 36% w/w of iridium

supported on alumina and the market price of Iridium can be as high as 10 times that of

gold.

The purpose of the present research is to obtain methodologies that will allow the

planning in the study of catalytic reactions together with experimental results and

analysis. This methodology must attend not only the case studied but also other catalytic

reactions, in particular those where experiments are difficult to carry out.